

**SKRIPSI**

**ANALISIS STRUKTUR RANGKA BAJA PADA PROYEK  
PEMBANGUNAN GEDUNG OLAHRAGA UNIMUDA SORONG**



**ZUL KIFLY**

**NIM. 142220121004**

**PROGRAM STUDI TEKNIK SIPIL**

**FAKULTAS TEKNIK**

**UNIVERSITAS PENDIDIKAN MUHAMMADIYAH (UNIMUDA)**

**SORONG**

**2025**

**HALAMAN PERSETUJUAN**

**ANALISIS STRUKTUR RANGKA BAJA PADA PROYEK**

**PEMBANGUNAN GEDUNG OLAHRAGA UNIMUDA SORONG**

**NAMA : Zul Kifly**

**NIM : 142220121004**

**Telah Diperiksa dan Disetujui Tim Pembimbing**

**Pada Kamis, 16 Oktober 2025**

**Pembimbing I**

**Andi Rahmat, S.T., M.Eng.**

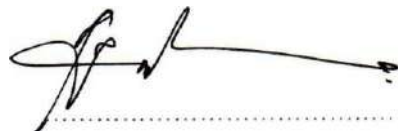
NIDN: 1415059002



**Pembimbing II**

**Intan Java Turis Repmi Tamsih, S.Pd., M.Mat.**

NIDN: 1410059401



**HALAMAN PENGESAHAN**

**ANALISIS STRUKTUR RANGKA BAJA PADA PROYEK  
PEMBANGUNAN GEDUNG OLAHRAGA UNIMUDA SORONG**

**NAMA : Zul Kifly**

**NIM : 142220121004**

Skripsi ini telah disahkan oleh Dekan Fakultas Teknik

Universitas Pendidikan Muhammadiyah Sorong.

Pada : 27 Desember 2025

  
Dekan Fakultas Teknik  
**Yusmita La Goa, M.T.**  
NIDN. 1429048101

Tim Penguji Skripsi

**1. Dr. Ir. Eko Tavip Maryanto, M.T., IPM.**

NIDN. 1225036501

  
.....

**2. Athiah Safari, S.T., M.T.**

NIDN. 1416098801

  
.....

**3. Elfiyusriningsi Syara, S.T., M.T.**

NIDN. 1428109701

  
.....

## HALAMAN PERNYATAAN

Dengan ini saya menyatakan bahwa dalam skripsi ini tidak terdapat karya yang pernah diajukan untuk memperoleh gelar kesarjanaan di suatu Perguruan Tinggi, dan sepanjang pengetahuan saya juga tidak terdapat karya atau pendapat yang pernah ditulis atau diterbitkan oleh orang lain, kecuali yang secara tertulis diacu dalam naskah ini dan disebutkan dalam daftar pustaka.

Sorong, 27 Desember 2025

Yang membuat pernyataan.



**Zul Kifly**

**NIM. 142220121004**

## MOTTO DAN PERSEMBAHAN

### MOTTO:

---

---

لَا يُكَلِّفُ اللَّهُ نَفْسًا إِلَّا وُسْعَهَا

“Allah tidak membebani seseorang, kecuali menurut kesanggupannya”

(Q.S. Al-Baqarah: 286)

لَا تَحْزَنْ إِنَّ اللَّهَ مَعَنَا

“Janganlah engkau bersedih, sesungguhnya Allah bersama kita.”

(Q.S. At-Taubah :40)

"Semua orang adalah jenius. Tetapi jika Anda menilai seekor ikan dari kemampuannya memanjat pohon, ikan itu akan menghabiskan seluruh hidupnya dengan meyakini bahwa ia bodoh."

- Albert Einstein -

---

---

### PERSEMBAHAN:

Dengan mengucapkan syukur “*Alhamdulillah*” skripsi ini saya persembahkan kepada:

- ❖ Kedua orang tua tercinta, Bapak Alimin dan Ibu Marlina.
- ❖ Keluarga tercinta dan terkasih.
- ❖ Seluruh dosen teknik sipil.
- ❖ Teman-teman seperjuangan angkatan 2021 (Etherious).
- ❖ HMTS Unimuda Sorong dan Almamater kebanggaan, Universitas Pendidikan Muhammadiyah Sorong.

## ABSTRAK (*ABSTRACT*)

Zul Kifly/142220121004. **ANALISIS STRUKTUR RANGKA BAJA PADA PROYEK PEMBANGUNAN GEDUNG OLAHRAGA UNIMUDA SORONG.** Skripsi. Fakultas Teknik. Universitas Pendidikan Muhammadiyah Sorong. Oktober, 2025.

Analisis struktur yang tepat dapat mencegah kegagalan struktural dan memperpanjang usia pakai suatu bangunan gedung. Oleh karena itu, analisis struktur dalam konteks proyek pembangunan gedung olahraga Unimuda Sorong menjadi sangat penting untuk dilakukan. Penelitian ini bertujuan untuk menghitung beban ultimate pada setiap elemen, menganalisis deformasi struktur, mengevaluasi tingkat keamanan struktur, dan mengevaluasi kekuatan sambungan baut. Struktur bangunan menggunakan material baja dengan dimensi 50 m x 24 m, tinggi kolom 6 m, dan bentang kuda-kuda 24 m. Analisis struktur menggunakan metode LRFD (*Load and Resistance Factor Design*) dengan bantuan *software* SAP2000 v.22. Analisis dan perhitungan mengacu pada SNI 1726:2019, SNI 1727:2020, SNI 1729:2020, dan PPURG 1987. Hasil analisis menunjukkan beban ultimate terbesar dipikul elemen kolom dengan  $P_u = -64,617$  kN,  $V_u = 32,126$  kN, dan  $M_u = 99,3886$  kN.m. Deformasi maksimum akibat kombinasi beban ultimate sebesar 0,259 m. 20 elemen struktur (rafter dan balok) mengalami kondisi *overstressed* dengan *PM Ratio*  $> 1,00$ . Perhitungan sambungan baut menunjukkan kekuatan memadai dengan nilai  $0,635 < 1$  (sambungan rafter-kolom) dan  $0,685 < 1$  (sambungan antar rafter), serta kuat tumpu pelat sebesar  $1.234,4$  kN  $> 662,4$  kN.

**Kata Kunci:** Struktur Baja, LRFD, SAP2000, Beban Ultimate, Sambungan Baut

## **ABSTRACT**

*Zul Kifly/142220121004. ANALYSIS OF STEEL FRAME STRUCTURES IN THE UNIMUDA SORONG SPORTS BUILDING CONSTRUCTION PROJECT. Thesis. Faculty of Engineering. Muhammadiyah University of Education Sorong. October, 2025.*

*Proper structural analysis can prevent structural failure and extend the service life of a building. Therefore, structural analysis in the context of the Unimuda Sorong sports building construction project is very important. This study aims to calculate the ultimate load on each element, analyze structural deformation, evaluate the level of structural safety, and evaluate the strength of bolted connections. The building structure uses steel material with dimensions of 50m x 24m, a column height of 6m, and a truss span of 24m. Structural analysis uses the LRFD (Load and Resistance Factor Design) method with the help of SAP2000 v.22 software. The analysis and calculations refer to SNI 1726:2019, SNI 1727:2020, SNI 1729:2020, and PPURG 1987. The analysis results show that largest ultimate load was borne by the column element with  $P_u = -64.617$  kN,  $V_u = 32.126$  kN, and  $M_u = 99.3886$  kN.m. The maximum deformation due to the ultimate load combination was 0.259 m. The 20 structural elements (rafters and beams) are overstressed with a PM Ratio  $> 1.00$ . The bolt connection calculations showed adequate strength with values of  $0.635 < 1$  (rafter-column connection) and  $0.685 < 1$  (inter-rafter connection), as well as a plate bearing strength of  $1,234.4$  kN  $> 662.4$  kN.*

**Keywords:** *Steel Structure, LRFD, SAP2000, Ultimate Load, Bolt Connection*

## KATA PENGANTAR

*Bismillahirrahmanirrahim,*

Puji syukur senantiasa dipanjatkan kepada Tuhan Yang Maha Esa karena atas nikmat dan karunia-Nya sehingga proposal usulan penelitian dengan judul **“Analisis Struktur Rangka Baja Pada Proyek Pembangunan Gedung Olahraga Unimuda Sorong”** dapat diselesaikan dengan baik. Diakui secara penuh bahwa keberhasilan ini tidak tercapai tanpa bantuan dari berbagai pihak. Oleh karena itu, kami menyampaikan ucapan terima kasih yang tulus kepada semua pihak yang telah berkontribusi, baik secara langsung maupun tidak langsung, dalam mendukung kelancaran penyelesaian skripsi ini, diantaranya yaitu:

1. Bapak Dr. Rustamadji, M.Si. selaku Rektor Universitas Pendidikan Muhammadiyah (UNIMUDA) Sorong.
2. Ibu Yusnita Lagoa, M.T. selaku Dekan Fakultas Teknik Universitas Pendidikan Muhammadiyah (UNIMUDA) Sorong.
3. Ibu Elfiyusriningsi Syara, S.T., M.T. selaku Ketua Program Studi Teknik Sipil Universitas Pendidikan Muhammadiyah (UNIMUDA) Sorong sekaligus Dewan Penguji II Sidang Skripsi.
4. Bapak Andi Rahmat S.T., M.Eng. selaku Dosen Pembimbing I.
5. Ibu Intan Java Turis Repmi Tamsih, S.Pd., M.Mat. selaku Dosen Pembimbing II.
6. Bapak Dr. Ir. Eko Tavip Maryanto, M.T., IPM. selaku Ketua Dewan Penguji Sidang Skripsi.
7. Bapak Athiah Safari, M.T. selaku Dewan Penguji I Sidang Skripsi.

8. Ibu Mellany Rahayu Ning Tyas, S.T. Selaku Staff Fakultas Teknik yang selalu memberikan arahan dan bantuan dalam penyusunan Skripsi ini.
9. Kepada Kedua Orang Tua yang selalu memberikan doa dan dukungan sehingga skripsi ini dapat diselesaikan dengan baik.
10. Teman – teman penulis yaitu Nur Ainul Yaqin, Wilson Pabidang, Hafid Rizaldy, Ananda Pratama, Aji Kumbara yang selalu memberikan dukungan kepada penulis.
11. Seluruh Pihak yang terlibat dalam penyusunan skripsi ini yang tidak dapat penulis sebutkan satu persatu.

Penulis berusaha semaksimal mungkin dalam menyusun maupun mengkaji skripsi ini, oleh sebab itu apabila terdapat kesalahan maupun kekurangan yang terdapat pada skripsi ini maka penulis mengharapkan kritik dan saran yang bersifat membangun guna penyempurnaan skripsi dimasa yang akan datang. Akhir kata dengan segala kerendahan hati, Semoga hasil skripsi ini dapat bermanfaat untuk kita semua.

Sorong, 01 Oktober 2025

Penulis,

**Zul Kifly**

**NIM. 142220121004**

## DAFTAR ISI

<b>HALAMAN PERSETUJUAN .....</b>	<b>ii</b>
<b>HALAMAN PENGESAHAN.....</b>	<b>iii</b>
<b>HALAMAN PERNYATAAN.....</b>	<b>iv</b>
<b>MOTTO DAN PERSEMBAHAN.....</b>	<b>v</b>
<b>ABSTRAK (ABSTRACT) .....</b>	<b>vi</b>
<b>KATA PENGANTAR.....</b>	<b>viii</b>
<b>DAFTAR ISI.....</b>	<b>x</b>
<b>DAFTAR GAMBAR.....</b>	<b>xiv</b>
<b>DAFTAR TABEL .....</b>	<b>xviii</b>
<b>DAFTAR LAMPIRAN .....</b>	<b>xx</b>
<b>BAB I PENDAHULUAN.....</b>	<b>1</b>
1.1 Latar Belakang .....	1
1.2 Rumusan Masalah .....	4
1.3 Tujuan Penelitian.....	4
1.4 Batasan Masalah.....	5
1.5 Manfaat Penelitian.....	5
1.5.1 Manfaat Teoritis.....	6
1.5.2 Manfaat Praktis .....	6
1.6 Sistematika Penulisan.....	7
<b>BAB II TINJAUAN PUSTAKA.....</b>	<b>9</b>
2.1 Material Baja .....	9
2.2 Sifat Mekanis Baja .....	10
2.3 Jenis – Jenis Profil Baja.....	12
2.3.1 <i>Wide Flange</i> (WF) .....	12

2.3.2 H-Beam (Honey Beam) .....	13
2.3.3 <i>Lipped Channel</i> /Kanal C (CNP).....	14
2.3.4 <i>Channel U</i> /Kanal U (UNP).....	14
2.4 Struktur Baja.....	15
2.5 Analisis Struktur Baja Metode LRFD .....	16
2.6 Pengertian Beban.....	18
2.6.1 Beban Hidup .....	18
2.6.2 Beban Mati.....	20
2.6.3 Beban Hujan .....	21
2.6.4 Beban Angin .....	22
2.6.5 Beban Gempa.....	23
2.7 Kombinasi Beban .....	23
2.7.1 Kombinasi Beban Terfaktor (Metode Ultimate) Berdasarkan SNI 1726:2019 .....	24
2.8 Sambungan Baut.....	26
2.8.1 Jenis Sambungan Baut.....	26
2.8.2 Tipe Sambungan Baut.....	27
2.8.3 Kekuatan Baut.....	28
2.9 Aplikasi SAP2000 .....	31
2.9.1 Langkah-langkah Analisa Struktur pada SAP2000 .....	32
2.10 Penelitian Terdahulu.....	34
<b>BAB III METODOLOGI PENELITIAN .....</b>	<b>40</b>
3.1 Jenis Penelitian .....	40
3.2 Waktu dan Lokasi Penelitian.....	40
3.2.1 Waktu Penelitian.....	40
3.2.2 Lokasi Penelitian.....	41

3.3	Subjek Penelitian .....	42
3.3.1	Data dan Sumber Data Penelitian .....	42
3.4	Teknik Pengumpulan Data .....	44
3.5	Tahapan Penelitian .....	44
<b>BAB IV HASIL DAN PEMBAHASAN .....</b>		<b>52</b>
4.1	Tinjauan Umum.....	52
4.2	Data Proyek .....	52
4.3	Pemodelan Struktur .....	53
4.3.1	Profil Struktur Baja.....	57
4.3.2	Spesifikasi material.....	59
4.4	Pembebanan Struktur.....	60
4.4.1	Analisis Beban Hidup (LL).....	60
4.4.2	Analisis Beban Mati (DL).....	60
4.4.3	Analisis Beban Hujan (R).....	61
4.4.4	Analisis Beban Angin (W).....	62
4.4.5	Analisis Beban Gempa (E) .....	68
4.4.6	Kombinasi Beban Terfaktor (LRFD).....	78
4.5	Input Pembebanan Pada Struktur .....	85
4.5.1	Input Beban Gravitasi .....	86
4.5.2	Input Beban Lateral .....	87
4.5.3	Input Kombinasi Beban .....	88
4.6	Hasil Analisis Struktur .....	89
4.6.1	Beban Ultimate Pada Struktur .....	89
4.6.2	Pengecekan Deformasi Struktur .....	94
4.6.3	<i>Check of Structure</i> .....	123
4.7	Analisis Sambungan Baut .....	135

4.7.1 Sambungan Rafter Ke Kolom.....	135
4.7.2 Sambungan Rafter Ke Rafter.....	140
<b>BAB V KESIMPULAN DAN SARAN.....</b>	<b>146</b>
5.1 Kesimpulan.....	146
5.2 Saran.....	148
<b>DAFTAR PUSTAKA.....</b>	<b>149</b>
<b>LAMPIRAN.....</b>	<b>152</b>

## DAFTAR GAMBAR

Gambar 2.1 Profil Baja WF .....	13
Gambar 2.2 Profil Baja H-Beam.....	13
Gambar 2.3 Profil Baja Kanal C .....	14
Gambar 2.4 Profil Baja Kanal U .....	14
Gambar 3.1 Peta Lokasi Gedung Olahraga UNIMUDA Sorong.....	41
Gambar 3.2 Diagram Alir Penelitian .....	45
Gambar 4.1 Pemodelan Struktur Tampak Perspektif Depan .....	53
Gambar 4.2 Pemodelan Struktur Tampak Perspektif Samping Kanan .....	54
Gambar 4.3 Pemodelan Struktur Tampak Perspektif Belakang.....	54
Gambar 4.4 Pemodelan Struktur Tampak Perspektif Samping Kiri .....	55
Gambar 4.5 Pemodelan Struktur Tampak Potongan Memanjang.....	55
Gambar 4.6 Pemodelan Struktur Tampak Potongan Melintang Grid A .....	56
Gambar 4.7 Pemodelan Struktur Tampak Potongan Melintang Grid I.....	56
Gambar 4.8 Detail Penampang Profil Baja Untuk Kolom.....	57
Gambar 4.9 Detail Penampang Profil Baja Untuk Balok .....	57
Gambar 4.10 Detail Penampang Profil Baja Untuk Rafter .....	58
Gambar 4.11 Detail Penampang Profil Baja Untuk Gording.....	58
Gambar 4.12 Detail Penampang Profil Baja Untuk Wind Brace.....	59
Gambar 4.13 Kasus Beban Dasar Diagram.....	66
Gambar 4.14 Penentuan nilai $S_1$ , $SS$ , dan $TL$ .....	73
Gambar 4.15 Pengecekan Struktur Baja Ditinjau Dalam 3D.....	125
Gambar 4.16 Bentuk Deformasi Struktur Akibat Beban Hidup .....	97

Gambar 4.17 Bentuk Deformasi Struktur Akibat Beban Hidup Atap Dilihat Dari Perspektif Tampak Depan.....	98
Gambar 4.18 Bentuk Deformasi Struktur Akibat Beban Hidup Atap Dilihat Dari Perspektif Tampak Samping Kiri .....	98
Gambar 4.19 Bentuk Deformasi Struktur Akibat Beban Hidup Atap Dilihat Dari Perspektif Tampak Samping Kanan .....	99
Gambar 4.20 Bentuk Deformasi Struktur Akibat Beban Hidup Atap Dilihat Dari Perspektif Tampak Belakang .....	99
Gambar 4.21 Bentuk Deformasi Struktur Akibat Beban Mati.....	101
Gambar 4.22 Bentuk Deformasi Struktur Akibat Beban Mati Tambahan Dilihat Dari Perspektif Tampak Depan.....	102
Gambar 4.23 Bentuk Deformasi Struktur Akibat Beban Mati Tambahan Dilihat Dari Perspektif Tampak Samping Kiri .....	102
Gambar 4.24 Bentuk Deformasi Struktur Akibat Beban Mati Tambahan Dilihat Dari Perspektif Tampak Samping Kanan .....	103
Gambar 4.25 Bentuk Deformasi Struktur Akibat Beban Mati Tambahan Dilihat Dari Perspektif Tampak Belakang.....	103
Gambar 4.26 Bentuk Deformasi Struktur Akibat Beban Hujan Dilihat Dari Perspektif Tampak Depan.....	105
Gambar 4.27 Bentuk Deformasi Struktur Akibat Beban Hujan Dilihat Dari Perspektif Tampak Belakang .....	105
Gambar 4.28 Bentuk Deformasi Struktur Akibat Beban Hujan Dilihat Dari Perspektif Tampak Samping Kanan .....	106
Gambar 4.29 Bentuk Deformasi Struktur Akibat Beban Hujan Dilihat Dari Perspektif Tampak Samping Kiri .....	106
Gambar 4.30 Bentuk Deformasi Struktur Akibat Beban Angin Arah X Dilihat Dari Perspektif Tampak Depan.....	108
Gambar 4.31 Bentuk Deformasi Struktur Akibat Beban Angin Arah X Dilihat Dari Perspektif Tampak Belakang.....	108

Gambar 4.32 Bentuk Deformasi Struktur Akibat Beban Angin Arah X Dilihat Dari Perspektif Tampak Samping Kiri .....	109
Gambar 4.33 Bentuk Deformasi Struktur Akibat Beban Angin Arah X Dilihat Dari Perspektif Tampak Samping Kanan .....	109
Gambar 4.34 Bentuk Deformasi Struktur Akibat Beban Angin Arah Y Dilihat Dari Perspektif Tampak Depan.....	111
Gambar 4.35 Bentuk Deformasi Struktur Akibat Beban Angin Arah Y Dilihat Dari Perspektif Tampak Belakang .....	111
Gambar 4.36 Bentuk Deformasi Struktur Akibat Beban Angin Arah Y Dilihat Dari Perspektif Tampak Samping Kanan .....	112
Gambar 4.37 Bentuk Deformasi Struktur Akibat Beban Angin Arah Y Dilihat Dari Perspektif Tampak Samping Kiri .....	112
Gambar 4.38 Bentuk Deformasi Struktur Akibat Beban Gempa Arah X Dilihat Dari Perspektif Tampak Depan.....	114
Gambar 4.39 Bentuk Deformasi Struktur Akibat Beban Gempa Arah X Dilihat Dari Perspektif Tampak Belakang .....	114
Gambar 4.40 Bentuk Deformasi Struktur Akibat Beban Gempa Arah X Dilihat Dari Perspektif Tampak Samping Kiri .....	115
Gambar 4.41 Bentuk Deformasi Struktur Akibat Beban Gempa Arah X Dilihat Dari Perspektif Tampak Samping Kanan .....	115
Gambar 4.42 Bentuk Deformasi Struktur Akibat Beban Gempa Arah Y Dilihat Dari Perspektif Tampak Depan.....	117
Gambar 4.43 Bentuk Deformasi Struktur Akibat Beban Gempa Arah Y Dilihat Dari Perspektif Tampak Belakang .....	117
Gambar 4.44 Bentuk Deformasi Struktur Akibat Beban Gempa Arah Y Dilihat Dari Perspektif Tampak Samping Kiri .....	118
Gambar 4.45 Bentuk Deformasi Struktur Akibat Beban Gempa Arah Y Dilihat Dari Perspektif Tampak Samping Kanan .....	118
Gambar 4.46 Bentuk Deformasi Struktur Akibat Beban Ultimate Dilihat Dari Perspektif Tampak Depan.....	120

Gambar 4.47 Bentuk Deformasi Struktur Akibat Beban Ultimate Dilihat Dari Perspektif Tampak Belakang .....	120
Gambar 4.48 Bentuk Deformasi Struktur Akibat Beban Ultimate Dilihat Dari Perspektif Tampak Samping Kanan .....	121
Gambar 4.49 Bentuk Deformasi Struktur Akibat Beban Ultimate Dilihat Dari Perspektif Tampak Samping Kiri .....	121
Gambar 4.50 Pengukuran Sambungan Baut Rafter ke Kolom .....	135
Gambar 4.51 Detail Sambungan Baut Rafter ke Kolom.....	136
Gambar 4.52 Sambungan Baut Rafter ke Rafter.....	140
Gambar 4.53 Detail Sambungan Baut Rafter ke Rafter.....	141

## DAFTAR TABEL

Tabel 2.1 Sifat Mekanis Baja Struktural .....	11
Tabel 2.2 Beban Hidup Terdistribusi Merata Minimum, Lo, dan Beban Hidup Terpusat Minimum .....	19
Tabel 2.3 Berat Sendiri Bahan Bangunan dan Komponen Gedung.....	20
Tabel 2.4 Kekuatan Nominal Pengencang dan Bagian Berulir, ksi (MPa).....	30
Tabel 2.5 Penelitian Terdahulu .....	34
Tabel 3.1 Jadwal Kegiatan Pelaksanaan Penelitian .....	41
Tabel 4.1 Faktor Arah Angin, Kd .....	65
Tabel 4.2 Kasus Beban A.....	67
Tabel 4.3 Kasus Beban B .....	67
Tabel 4.4 Kategori risiko bangunan gedung dan nongedung untuk beban gempa	69
Tabel 4.5 Faktor Keutamaan Gempa .....	72
Tabel 4.6 Koefisien Situs, Fa .....	73
Tabel 4.7 Koefisien Situs, Fv .....	74
Tabel 4.8 Kategori Desain Seismik Berdasarkan Parameter Respons Percepatan Pada Periode Pendek .....	75
Tabel 4.9 Kategori Desain Seismik Berdasarkan Parameter Respons Percepatan Pada Periode 1 Detik .....	76
Tabel 4.10 Kategori Desain Seismik dan Risiko Kegempaan .....	76
Tabel 4.11 Faktor R, Cd, dan $\Omega_0$ untuk Sistem Pemikul Gaya Seismik .....	76
Tabel 4.12 Kombinasi Beban Terfaktor.....	80
Tabel 4.13 Rangkuman Hasil Analisis Beban.....	83
Tabel 4.14 Hasil Analisis Beban Ultimate Pada Elemen Kolom.....	90
Tabel 4.15 Hasil Analisis Beban Ultimate Pada Elemen Balok .....	91

Tabel 4.16 Hasil Analisis Beban Ultimate Pada Elemen Rafter .....	91
Tabel 4.17 Hasil Analisis Beban Ultimate Pada Elemen Gording .....	92
Tabel 4.18 Hasil Analisis Beban Ultimate Pada Elemen Wind Brace.....	93
Tabel 4.19 Rangkuman Hasil Analisis Beban Ultimate Pada Elemen Struktur ...	93
Tabel 4.20 Hasil Evaluasi Deformasi Struktur .....	123
Tabel 4.21 Hasil Pengecakan Struktur Pada Frame Yang Overstressed.....	125
Tabel 4.22 Perbandingan Hasil SAP2000 dengan Perhitungan Manual.....	134

## DAFTAR LAMPIRAN

Lampiran 1. Kartu Bimbingan Penelitian .....	153
Lampiran 2. Dokumentasi Proyek Gedung Olahraga Unimuda Sorong.....	155
Lampiran 3. Denah Struktur Gedung Olahraga Unimuda Sorong.....	157
Lampiran 4. Potongan A-A.....	158
Lampiran 5. Potongan B-B .....	159

## **BAB I**

### **PENDAHULUAN**

#### **1.1 Latar Belakang**

Dewasa ini pembangunan infrastruktur di wilayah Papua terus berkembang dengan pesat, tak terkecuali pada bidang pendidikan, baik sekolah-sekolah maupun perguruan tinggi terus berupaya meningkatkan kualitas pendidikan di tanah Papua. Universitas Pendidikan Muhammadiyah (UNIMUDA) Sorong adalah salah satu perguruan tinggi swasta yang berada di Kabupaten Sorong, Provinsi Papua Barat Daya. Awalnya, institusi ini berbentuk Sekolah Tinggi Keguruan dan Ilmu Pendidikan (STKIP) Muhammadiyah Sorong, dan pada tahun 2018 resmi berubah menjadi Universitas Pendidikan Muhammadiyah Sorong. Menurut data dari laman *website* resmi PMB UNIMUDA Sorong, diakses pada bulan Mei tahun 2025 Universitas Pendidikan Muhammadiyah (UNIMUDA) Sorong memiliki lebih dari 26 program studi sarjana yang tergabung dalam 7 Fakultas, 6 Bidang Studi Pendidikan Profesi Guru (PPG), dan 6 Bidang Studi Rekognisi Pembelajaran Lampau (RPL).

Begitu pula dengan jumlah mahasiswa yang berkuliah di Universitas Pendidikan Muhammadiyah (UNIMUDA) Sorong yang terus meningkat dari tahun ke tahun. Oleh karena itu, UNIMUDA Sorong terus berupaya untuk mengembangkan dan meningkatkan kualitas Perguruan Tinggi. salah satunya dengan cara membangun dan meningkatkan infrastruktur Perguruan Tinggi. Salah satu infrastruktur yang sedang dalam proses pembangunan di

UNIMUDA Sorong adalah pembangunan Gedung Olahraga UNIMUDA Sorong. Proyek ini merupakan hibah yang diberikan oleh pemerintah daerah Provinsi Papua Barat Daya kepada UNIMUDA Sorong yang bertujuan untuk menyediakan fasilitas yang mendukung kegiatan olahraga dan akademik bagi mahasiswa maupun civitas akademika.

Pembangunan suatu gedung harus direncanakan dengan matang agar bangunan gedung dapat sesuai dengan standar keamanan yang berlaku. Struktur yang direncanakan harus mampu menahan beban yang terjadi agar bangunan gedung tersebut aman saat digunakan. Pemilihan bahan yang akan digunakan juga menjadi salah satu metode penting dalam merencanakan struktur bangunan. Gedung Olahraga UNIMUDA Sorong dibangun menggunakan konstruksi baja dengan tinggi bangunan 1 lantai dengan dimensi 50 m x 24 m dengan tinggi kolom baja 6 m, dan bentang kuda-kuda 24 m. Gedung olahraga ini direncanakan dapat memuat hingga 4 lapangan badminton, 2 lapangan futsal dan dilengkapi dengan 5 ruangan tambahan serta 2 kamar mandi untuk menunjang aktivitas perkuliahan maupun olahraga mahasiswa dan civitas akademika.

Pemilihan struktur baja sebagai material utama dalam pembangunan Gedung Olahraga UNIMUDA Sorong memiliki pertimbangan teknis yang kuat. Baja tidak hanya memiliki kekuatan tarik dan tekan yang luar biasa, tetapi juga memiliki banyak sifat positif lainnya, yang membuatnya menjadi salah satu bahan bangunan yang paling banyak digunakan saat ini [1]. Penggunaan material baja sebagai bahan konstruksi memiliki beberapa keunggulan dibandingkan dengan bahan konstruksi lainnya. Kekuatan tinggi baja

memungkinkan untuk mengurangi ukuran struktur dan beratnya sendiri, serta keawetannya yang tinggi. Selain itu, baja memiliki beberapa keuntungan tambahan, seperti kemudahan untuk menyambungkan bagian – bagian struktur satu sama lain dengan alat penyambungan seperti las ataupun baut [2].

Ketahanan struktur baja terhadap beban statis yang direncanakan dan potensi bencana seperti gempa bumi adalah komponen terpenting dari struktur. Perencanaan dan perhitungan yang tepat diperlukan untuk mengetahui hal tersebut. Akibatnya, analisis struktur yang tepat dan teliti diperlukan untuk memastikan bahwa rencana bangunan dapat memenuhi kekuatan (*strenght*), kenyamanan (*serviceability*), keselamatan (*safety*), dan umur (*durability*) [3]. Pemilihan struktur baja juga dihadapkan pada tantangan, termasuk perlunya analisis yang mendalam untuk memastikan bahwa struktur yang dirancang mampu menahan beban yang dihasilkan selama penggunaan. Analisis struktural yang tepat dapat mencegah kegagalan struktural dan memperpanjang usia pakai gedung. Oleh karena itu, analisis struktur baja dalam konteks proyek pembangunan gedung olahraga UNIMUDA Sorong menjadi sangat penting untuk dilakukan.

Oleh karenanya, penelitian ini dilakukan dengan tujuan untuk menghitung beban ultimate pada setiap elemen struktur, menganalisis deformasi struktur, mengevaluasi tingkat keamanan struktur, dan mengevaluasi kekuatan sambungan baut pada proyek pembangunan Gedung Olahraga UNIMUDA Sorong dengan mempertimbangkan berbagai aspek teknis dan regulasi yang berlaku. Hasil analisis ini diharapkan dapat memberikan rekomendasi untuk perbaikan dan optimalisasi desain yang ada,

serta menjadi referensi untuk pembangunan fasilitas olahraga serupa di masa mendatang.

## 1.2 Rumusan Masalah

Berdasarkan latar belakang yang sudah dijelaskan di atas, penulis menyusun permasalahan dalam penelitian ini sebagai berikut:

1. Berapa nilai beban ultimate yang bekerja pada setiap elemen struktur rangka baja gedung olahraga Unimuda Sorong?
2. Bagaimana bentuk deformasi struktur dan berapa nilai perpindahan total akibat deformasi maksimum yang terjadi pada struktur gedung olahraga Unimuda Sorong?
3. Bagaimana tingkat keamanan struktur gedung olahraga Unimuda Sorong terhadap beban gempa ditinjau dari rasio Partisipasi Massa (*PM Ratio*) struktur?
4. Apakah kekuatan sambungan baut pada struktur gedung olahraga Unimuda Sorong cukup untuk menahan beban yang bekerja pada struktur?

## 1.3 Tujuan Penelitian

Berdasarkan rumusan masalah tersebut, tujuan yang ingin di capai dalam penelitian ini yaitu:

1. Untuk mengetahui nilai beban ultimate yang bekerja pada setiap elemen struktur rangka baja gedung olahraga Unimuda Sorong.
2. Untuk mengetahui bentuk deformasi struktur dan nilai perpindahan total yang terjadi akibat deformasi maksimum pada struktur gedung olahraga Unimuda Sorong.

3. Untuk mengevaluasi tingkat keamanan struktur gedung olahraga Unimuda Sorong terhadap beban gempa ditinjau dari rasio Partisipasi Massa (*PM Ratio*) struktur.
4. Untuk mengevaluasi kekuatan sambungan baut pada struktur gedung olahraga Unimuda Sorong.

#### **1.4 Batasan Masalah**

Untuk membuat pembahasan lebih terfokus dan efisien tanpa melibatkan hal-hal yang terlalu luas dan memakan waktu, penulis menetapkan beberapa batasan dalam pelaksanaan penelitian ini yaitu sebagai berikut:

1. Analisis struktur baja pada bangunan gedung olahraga Unimuda Sorong meliputi analisis elemen struktur kolom, balok, rafter, gording dan wind brace, dan tidak menganalisis struktur bawah bangunan.
2. Analisis struktur baja pada bangunan gedung olahraga UNIMUDA Sorong menggunakan metode LRFD (*Load and Resistance Factor Design*).
3. Perhitungan kekuatan sambungan baut meliputi perhitungan sambungan rafter ke kolom dan sambungan antar rafter.
4. Analisis struktur dilakukan dengan menggunakan bantuan aplikasi SAP2000 v.22 dan aplikasi ms. Excel.

#### **1.5 Manfaat Penelitian**

Diharapkan penelitian ini akan memberikan pengetahuan tambahan tentang analisis struktur baja pada bangunan gedung. Selain itu, penelitian diharapkan dapat menjadi acuan bagi praktisi dibidang konstruksi, peneliti, dan mahasiswa untuk menambah wawasan tentang analisis struktur baja pada

bangunan gedung. Manfaat penelitian biasanya dibagi menjadi 2, yaitu sebagai berikut:

### **1.5.1 Manfaat Teoritis**

Penelitian ini diharapkan dapat memberikan manfaat teoritis meliputi perluasan dan pengembangan ilmu pengetahuan di bidang analisis struktur, terutama yang terkait dengan teknik evaluasi dan perencanaan desain struktur bangunan gedung. Studi ini bertujuan untuk memberikan kontribusi positif terhadap pemahaman umum tentang prinsip-prinsip kontrol dalam proyek yang melibatkan perencanaan dan analisis struktur baja pada bangunan gedung dengan mempertimbangkan secara rinci aspek teoritis desain. Pemahaman teoritis yang lebih mendalam akan membantu meningkatkan metode dan strategi pengendalian, memberikan landasan yang kuat untuk implementasi proyek yang efektif dan efisien.

### **1.5.2 Manfaat Praktis**

Manfaat praktis yang diharapkan dapat memberikan dampak positif pada bidang ilmu analisis struktur. Sebagai referensi, studi ini dapat memberikan wawasan dan pemahaman yang lebih mendalam tentang aspek – aspek tertentu dari perencanaan dan evaluasi desain dalam analisis struktur baja pada bangunan gedung. Selain itu, mahasiswa, peneliti, dan praktisi di bidang konstruksi diharapkan dapat menggunakan temuan dan kontribusi penelitian ini sebagai dasar untuk

mengembangkan pengetahuan dan implementasi pekerjaan analisis struktur baja pada bangunan gedung dilapangan.

## **1.6 Sistematika Penulisan**

Penyusunan penulisan skripsi ini terdiri dari beberapa bab, yang masing-masing memberikan ulasan yang berbeda. Dibawah ini merupakan sistematika penulisan pada skripsi ini adalah sebagai berikut:

### **BAB I : PENDAHULUAN**

Bab ini berisi tentang identifikasi masalah yang mencakup latar belakang, perumusan masalah, tujuan penelitian, batasan penelitian, manfaat penelitian, serta sistematika penulisan.

### **BAB II : TINJAUAN PUSTAKA**

Bab ini menjelaskan teori-teori yang menjadi dasar penelitian, sebagai acuan dalam memahami dan menganalisis permasalahan yang dibahas dalam penelitian ini.

### **BAB III : METODE PENELITIAN**

Bab ini menguraikan mengenai metodologi penelitian atau perencanaan. Bab ini menggambarkan secara umum dan menjelaskan langkah-langkah dalam melakukan penelitian, cara melaksanakan penelitian, metode pengumpulan data, jenis data yang dibutuhkan, cara mengambil data, serta cara menganalisis data.

**BAB IV : HASIL DAN PEMBAHASAN**

Bab ini menjelaskan cara mengolah data sesuai dengan metode yang digunakan, kemudian menganalisis dan menjelaskan hasil dari proses analisis tersebut.

**BAB V : PENUTUP**

Bab ini berisi kesimpulan dan saran yang merupakan ringkasan dari hasil penelitian.

## BAB II

### TINJAUAN PUSTAKA

#### 2.1 Material Baja

Baja adalah salah satu material konstruksi yang paling penting dan banyak digunakan di berbagai industri karena sifatnya yang kuat, tahan lama, dan serbaguna. Material ini merupakan campuran utama dari besi dan karbon, dengan tambahan elemen lain seperti krom, nikel, atau molibdenum untuk meningkatkan karakteristik tertentu seperti ketahanan terhadap korosi atau kekuatan tarik [1]. Baja memiliki kemampuan untuk menahan beban berat tanpa mengalami deformasi yang signifikan, sehingga sering digunakan dalam pembangunan gedung, jembatan, kendaraan, hingga peralatan mesin. Selain itu, baja juga mudah dibentuk dan dapat didaur ulang, menjadikannya pilihan yang ramah lingkungan dalam jangka panjang [2]. Dengan berbagai jenis seperti baja karbon, baja tahan karat (*stainless steel*), dan baja paduan, material ini mampu memenuhi kebutuhan spesifik di berbagai aplikasi teknik dan manufaktur. Menurut Setiawan (2008), klasifikasi baja yang sering digunakan dalam sebuah struktur adalah sebagai berikut.

##### a) Baja Karbon

Baja karbon dibagi menjadi tiga jenis berdasarkan jumlah karbon dalamnya. Yaitu baja karbon rendah dengan karbon 0,03-0,035%, baja karbon sedang dengan karbon 0,35-0,50%, dan baja karbon tinggi dengan karbon 0,55-1,70%. Baja karbon medium sering digunakan untuk membuat struktur bangunan, contohnya baja BJ 37. Kandungan karbon dalam baja

sedang biasanya berkisar antara 0,25-0,29%, tergantung pada ketebalan baja tersebut. Selain karbon, baja karbon juga mengandung unsur-unsur lain seperti mangan (0,25-1,50%), silikon (0,25-0,30%), fosfor (maksimal 0,04%), dan sulfur (maksimal 0,05%).

#### b) Baja Paduan Rendah Mutu Tinggi

Baja paduan rendah mutu tinggi memiliki tegangan leleh antara 290-550 Mpa dan tegangan putus ( $f_u$ ) antara 415-700 Mpa. Penambahan sedikit bahan paduan seperti kromium, kolombium, mangan, molibden, nikel, fosfor, vanadium, atau zirkonium dapat meningkatkan sifat mekanik baja. Dalam baja karbon, peningkatan kekuatan terjadi seiring peningkatan kadar karbon, tetapi bahan paduan ini mampu meningkatkan sifat mekanik baja dengan membentuk struktur mikro yang lebih halus di dalam baja.

#### c) Baja Paduan

Baja paduan rendah bisa dipanaskan dan ditempa untuk mendapatkan tegangan leleh antara 550 hingga 760 MPa. Tegangan leleh dari baja paduan biasanya ditentukan sebagai tegangan yang terjadi ketika muncul regangan permanen sebesar 0,2%, atau bisa juga ditentukan berdasarkan tegangan saat mencapai 0,5%.

## 2.2 Sifat Mekanis Baja

Menurut SNI 03-1729-2002 yang membahas cara merencanakan struktur baja untuk bangunan gedung, sifat mekanis baja struktural yang digunakan harus memenuhi syarat minimum. Tegangan leleh tidak boleh melebihi nilai yang ditentukan. Untuk tegangan putus dalam perencanaan ( $f_u$ ),

nilai yang dipakai tidak boleh melebihi angka dalam tabel. Dalam merancang struktur baja, SNI 03-1729-2002 mempertimbangkan beberapa sifat mekanik dari bahan baja yang sama, yaitu:

Modulus Elastisitas, $E$	= 200.000 Mpa
Modulus Geser, $G$	= 80.000 Mpa
Angka poisson	= 0.30 Mpa
Koefisien muai panjang, $\alpha$	= $12.10^{-6}/^{\circ}\text{C}$

Sedangkan berdasarkan tegangan leleh dan tegangan putusnya, SNI 03 1729-2002 mengklasifikasikan mutu dan material baja sebagai berikut:

**Tabel 2.1 Sifat Mekanis Baja Struktural**

Jenis Baja	Tegangan putus minimum, $f_u$ (MPa)	Tegangan leleh minimum, $f_y$ (MPa)	Peregangan minimum (%)
BJ 34	340	210	22
BJ 37	370	240	20
BJ 41	410	250	18
BJ 50	500	290	16
BJ 55	550	410	13

*Sumber: SNI 03-1729-2002*

Memahami sifat-sifat baja sangat penting jika seseorang ingin menggunakan baja sebagai bahan untuk bagian struktur. Sifat mekanis yang penting pada baja dapat diketahui melalui uji tarik. Pada uji ini, sampel baja diberi beban tarik, dan selama proses tersebut dilakukan pengukuran terhadap beban dan perpanjangan. Dari hasil pengukuran tersebut, dapat dihitung nilai tegangan dan regangan menggunakan rumus berikut:

$$\text{Tegangan } (\sigma) = \frac{P}{A} \dots\dots\dots(2.1)$$

$$\text{Regangan } (\epsilon) = \frac{\Delta L^0}{L^0} \dots\dots\dots(2.2)$$

Keterangan:

P = Beban

A = Luas penampang

$\Delta L^0$  = Perpanjangan atau perubahan panjang antara dua titik acuan pada spesimen tarik

$L^0$  = Panjang semula diantara dua titik acuan pada spesimen tarik sebelum dibebani

## 2.3 Jenis – Jenis Profil Baja

Setiap jenis profil baja memiliki karakteristik dan fungsi spesifik sesuai kebutuhan struktur dan desain bangunan. Beberapa jenis profil baja yang umum digunakan di Indonesia sering dijadikan bahan bangunan untuk berbagai jenis konstruksi, sesuai dengan kebutuhan konstruksi. Berikut adalah jenis – jenis profil baja.

### 2.3.1 *Wide Flange* (WF)

Profil WF (*Wide Flange*) merupakan profil struktural baja yang diaplikasikan untuk elemen struktur balok dan kolom. Profil ini memiliki sayap yang lebih lebar dari profil *I-beam* standar, profil baja *Wide Flange* ini lebih efektif dalam beban lateral dan memberikan kestabilan lebih baik.



**Gambar 2.1 Profil Baja WF (Sumber: Tampubolon, 2021)**

### **2.3.2 H-Beam (Honey Beam)**

Profil baja *H-Beam* adalah balok baja dengan bentuk penampang menyerupai huruf "H" yang sangat populer digunakan dalam dunia konstruksi. Karena desainnya yang kuat dan stabil, *H-Beam* mampu menahan beban berat dengan baik, sehingga sering dipakai sebagai balok utama pada bangunan bertingkat, jembatan, dan berbagai proyek besar lainnya. Bagian *flange* yang lebar dan *web* vertikalnya membuat beban bisa tersebar merata, mengurangi risiko kerusakan atau deformasi. Selain itu, baja *H-Beam* juga mudah dipasang dan tahan lama, sehingga menjadi pilihan yang praktis dan efisien untuk berbagai kebutuhan konstruksi.



**Gambar 2.2 Profil Baja H-Beam (Sumber: Google, 2025)**

### 2.3.3 *Lipped Channel/Kanal C (CNP)*

Baja *channel C* biasanya digunakan untuk berbagai keperluan seperti purlin, yaitu balok penopang penutup atap, serta girts yang berfungsi sebagai elemen penyangga penutup dinding seperti metal *sheet*. Selain itu, baja ini juga sering dipakai sebagai bagian dari rangka truss dan komponen arsitektural lainnya. Beberapa istilah lain untuk baja ini adalah balok purlin, kanal C, *C-channel*, atau profil C.



Gambar 2.3 Profil Baja Kanal C (Sumber: Tampubolon, 2021)

### 2.3.4 *Channel U/Kanal U (UNP)*

Penggunaan profil U normal sebenarnya mirip dengan profil WF, namun profil UNP atau baja kanal U jarang dipakai sebagai kolom. Hal ini karena struktur UNP cenderung lebih mudah mengalami tekukan di setiap sisinya, sehingga kurang cocok untuk fungsi kolom. Profil UNP ini juga dikenal dengan sebutan kanal U, *U channel*, atau profil U. Berikut adalah contoh gambar bentuk profil baja kanal U.



Gambar 2.4 Profil Baja Kanal U (Sumber: Tampubolon, 2021)

## 2.4 Struktur Baja

Struktur baja adalah serangkaian struktur dari bahan baja konstruksi yang dirancang untuk transportasi beban, memungkinkan untuk kekakuan penuh bangunan dan infrastruktur. Struktur baja terdiri dari berbagai elemen seperti balok, kolom, dan pelat yang terbuat dari baja dan disusun sedemikian rupa sehingga dapat menahan beban yang diterapkan pada struktur tersebut. Baja dipilih sebagai bahan utama karena memiliki kekuatan tarik dan kekuatan tekan, deformasi dan fleksibilitas yang memungkinkan desain kreatif dan efisien. Struktur baja biasanya digunakan dalam berbagai proyek, seperti bangunan bertingkat tinggi, jembatan, menara, dan pabrik industri. Ini karena sifat baja yang ringan tetapi kuat, mudah dibentuk dan dapat dengan cepat dirakit di lokasi konstruksi [5].

Menurut Arifi & Setyowulan (2020), Material baja memiliki keunggulan yang membuatnya menjadi pilihan utama dalam pembuatan struktur bangunan [6]. Keunggulan tersebut antara lain:

1. Baja memiliki kekuatan yang sangat tinggi, sehingga mampu mengurangi ukuran struktur. Hal ini berdampak pada penurunan berat keseluruhan struktur bangunan.
2. Baja memiliki tingkat elastisitas yang tinggi, dan sesuai dengan hukum Hooke. Sehingga momen inersia dari baja bisa dihitung dengan akurat.
3. Kekerasan (toughness) dari baja adalah kemampuannya untuk menyerap energi dalam jumlah besar
4. Baja mudah dipasang atau dihubungkan dengan struktur yang sudah ada, sehingga mampu mempercepat proses konstruksi.

5. Baja memiliki daktilitas yang cukup tinggi, yaitu kemampuannya untuk menahan deformasi besar tanpa terjadi keruntuhan, bahkan dalam kondisi tegangan tinggi.
6. Komposisi material baja lebih seragam dibandingkan dengan beton.

Meski memiliki keunggulan tersebut, baja juga memiliki beberapa kelemahan yang perlu diperhatikan agar kekuatan struktur tetap terjaga. Berdasarkan Arifi & Setyowulan (2020), kelemahan dari material baja antara lain sebagai berikut:

1. Baja mudah mengalami korosi jika terpapar udara dan air secara langsung. Untuk mengatasinya, diperlukan perlakuan khusus seperti pengecatan secara berkala.
2. Baja cenderung mudah melengkung, terutama pada batang tekan.
3. Diperlukan biaya tambahan untuk memberi lapisan tahan api, karena baja sangat mudah menyerap panas.
4. Kebutuhan akan sifat getas harus diwaspadai. Pada kondisi tertentu, sifat daktilitas baja bisa berkurang, sehingga terjadi kegagalan tiba-tiba (brittle failure) pada bagian yang menerima tegangan tinggi.
5. Sifat lelah (fatigue) harus dipertimbangkan dalam desain elemen struktur dan sambungan yang menahan beban perulangan.

## **2.5 Analisis Struktur Baja Metode LRFD**

Beberapa cara dalam menentukan gaya agar memenuhi syarat stabilitas, kekuatan, dan kekakuan yang diatur dalam persyaratan umum perencanaan perlu diperhatikan. Pengaruh gaya terhadap suatu struktur serta komponen dan sambungannya yang disebabkan oleh beban-beban yang bekerja harus

ditentukan melalui analisis struktur. Dalam perencanaan struktur bangunan dari baja, terdapat beberapa metode analisis struktur baja, salah satunya adalah metode *Load and Resistance Factor Design* (LRFD).

Metode LRFD adalah cara perencanaan yang menggunakan beban yang sudah diperhitungkan faktornya untuk memperkirakan kondisi batas, yaitu kondisi maksimal yang bisa ditahan oleh suatu penampang yang sudah melebihi batas elastis, serta memperhitungkan tegangan maksimal baja yang bisa dicapai ( $f_u$ ) [7]. Desain yang didasarkan pada faktor daya tahan dan beban, atau dikenal sebagai *Load Resistance Design Factor* (LRFD), merupakan metode yang dikembangkan melalui penelitian oleh *Advisory Task Force* yang dipimpin oleh *T.V. Galambos*. Dalam metode ini, struktur direncanakan memiliki kekuatan yang cukup besar untuk menahan beban yang sudah diperhitungkan secara faktor.

Kekuatan tersebut dianggap sama dengan kekuatan teoritis atau kekuatan nominal dari elemen struktur ( $R_n$ ), lalu dikalikan dengan suatu faktor resistansi atau faktor overcapacity ( $\phi$ ) yang biasanya lebih kecil dari 1. Faktor resistansi ini digunakan untuk memperhitungkan ketidakpastian terkait kekuatan bahan, ukuran, dan cara pemasangan.[5]. Konsep dasar perencanaan struktur baja metode LRFD ditulis dengan persamaan sebagai berikut:

$$\phi R_n \geq \sum \gamma_i \cdot Q_i \dots\dots\dots (2.3)$$

Dimana:

$R_n$  = Tahanan Nominal

$\phi$  = Faktor Tahanan

$\gamma_i$  = Faktor Beban

$Q_i$  = Beban Nominal

## 2.6 Pengertian Beban

Beban didefinisikan sebagai kekuatan atau gaya yang mempengaruhi pembangunan elemen struktural yang dapat menyebabkan tegangan, deformasi, atau pergeseran struktur. Beban ini harus direncanakan dengan cermat sehingga struktur dapat menahan kekuatan – kekuatan ini selama pelayanan tanpa mengalami kerusakan atau kegagalan. Menurut SNI 1729:2020, Beban struktur adalah aksi atau gaya yang muncul akibat berat seperti bahan bangunan, penghuni dan muatan, serta dampak lingkungan, adanya mobilitas, dan akibat deformasi pada dimensi [8]. Beban variabel mencakup berbagai jenis beban yang ada, seperti beban hidup dan mati, beban tanah, beban angin, beban salju, beban hujan dan banjir, serta beban gempa. Besarnya beban yang bekerja pada suatu struktur ditentukan oleh peraturan pembebanan yang berlaku, sedangkan cara mengkombinasikan berbagai beban tersebut telah diatur dalam SNI 03-1729-2002.

### 2.6.1 Beban Hidup

Beban Hidup adalah beban gravitasi yang bekerja pada struktur bangunan selama masa penggunaannya, dan timbul karena adanya penggunaan gedung tersebut. Beban ini mencakup berat badan manusia, perabotan yang bisa digeser, kendaraan, serta barang-barang lainnya. [6]. Beban hidup timbul karena adanya orang-orang yang menggunakan atau tinggal di bangunan, gedung, atau struktur lainnya.

Beban ini tidak termasuk beban konstruksi atau beban lingkungan seperti angin, hujan, gempa, banjir, atau beban mati. Karena beban hidup bisa berubah-ubah tergantung pada cara bangunan digunakan dan oleh siapa saja yang menghuni, maka untuk menentukan beban hidup secara pasti cukup sulit. Beban hidup ini adalah beban maksimum yang terjadi akibat penggunaan bangunan, dan nilainya tidak boleh kurang dari beban rerata minimum yang tercantum pada Tabel 4-1 SNI 1727:2013.

**Tabel 2.2 Beban Hidup Terdistribusi Merata Minimum,  $L_o$ , dan Beban Hidup Terpusat Minimum**

Hunian atau Penggunaan	Merata psf ( $kN/m^2$ )	Terpusat Ib (kN)
Apartemen (lihat rumah tinggal)		
Sistem lantai akses		
Ruang kantor	50 (2.4)	2000 (8.9)
Ruang komputer	100 (4.79)	2000 (8.9)
Gedung persenataan dan ruang latihan	150 (7.18)a	
Ruang pertemuan		
Kursi tetap (terikat di lantai)	100 (4.79)a	
Lobi Kursi dapat dipindahkan	100 (4.79)a	
Panggung pertemuan	100 (4.79)a	
Lantai podium	100 (4.79)a 150 (7.18)a	
Balkon dan dek	1.5 kali beban hidup untuk daerah yang dilayani. Tidak perlu melebihi 100 psf (4.79 $kN/m^2$ )	
Jalur akses pemeliharaan	40 (1.92)	300 (1.33)
Koridor		
Lantai pertama	100 (4.79)	
Lantai lain	Sama seperti Pelayanan hunian kecuali disebutkan lain	
Dst...		

Sumber: SNI 1727:2013

Untuk beberapa kondisi kecuali beban hidup merata pada atap, semua beban hidup terdistribusi merata minimum lainnya,  $L_o$  dapat dikurangi sesuai ketentuan yang ada di SNI 1727:2013 pasal 4.7.2 sampai dengan pasal 4.7.6 [10].

### 2.6.2 Beban Mati

Beban Mati adalah berat semua bagian dari suatu bangunan yang tetap selama masa layan struktur bangunan tersebut, termasuk semua unsur tambahan, finishing, mesin, serta peralatan tetap yang tidak dapat dipisahkan dari bangunan itu sendiri [6]. Yang termasuk dalam beban mati antara lain berat struktur, pipa – pipa, saluran listrik, sistem pendingin udara, lampu, penutup lantai, dan plafon serta berat material itu sendiri yang digunakan dalam konstruksi. Beberapa contoh berat dari komponen bangunan penting yang digunakan untuk menentukan besar beban mati gedung atau bangunan ditunjukkan dalam tabel 2.3 berikut ini.

**Tabel 2.3 Berat Sendiri Bahan Bangunan dan Komponen Gedung**

<b>Bahan Bangunan</b>	<b>Berat</b>
Baja	7850 kg/m <sup>3</sup>
Beton	2200 kg/m <sup>3</sup>
Beton bertulang	2400 kg/m <sup>3</sup>
Kayu (Kelas I)	1000 kg/m <sup>3</sup>
Pasir (Kering Udara)	1600 kg/m <sup>3</sup>
<b>Komponen Gedung</b>	
Spesi dari semen, per cm tebal	21 kg/m <sup>2</sup>

Dinding bata merah ½ batu	250 kg/m <sup>2</sup>
Penutup atap genting	50 kg/m <sup>2</sup>
Penutup lantai ubin semen per cm tebal	24 kg/m <sup>2</sup>

---

*Sumber: Setiawan, A (2008: 04)*

### 2.6.3 Beban Hujan

Beban hujan adalah beban yang akan digunakan dalam perencanaan atap yang mengacu pada berat akumulasi air hujan yang dapat terkumpul pada permukaan atap ketika sistem drainase mengalami hambatan atau ketidakmampuan untuk mengalirkan air secara optimal [11]. Berdasarkan Pedoman Perencanaan Pembebanan Untuk Rumah dan Gedung (PPURG) 1987 Pasal 2.1.2.2 untuk beban hujan terhadap atap miring dicari menggunakan rumus berikut [12].

$$R = 40 - 0,8 \times \alpha \text{ kg/m}^2$$

Keterangan:

$\alpha$  = Sudut kemiringan atap dalam serajat, tak perlu ditinjau bila  $\alpha > 50^\circ$

Berdasarkan SNI 1727-2013, beban hidup maksimum akibat air hujan adalah 20 Kg/m<sup>2</sup> atau 0,2 kN/m<sup>2</sup>.

$$R_{\max} = 20 \text{ Kg/m}^2$$

Meskipun umumnya tidak dominan dibandingkan beban mati dan beban hidup lainnya, beban hujan tetap penting diperhitungkan dalam analisis struktur, terutama untuk bangunan di daerah tropis dengan curah hujan tinggi. Pengabaian terhadap beban ini dapat menyebabkan

defleksi berlebihan, kerusakan struktur atap, atau bahkan kegagalan struktural pada kasus ekstrem.

#### 2.6.4 Beban Angin

Beban angin adalah beban yang bekerja pada suatu struktur karena tekanan dari angin yang bergerak. Besarnya beban angin ini tergantung pada lokasi dan ketinggian struktur tersebut. Besar tekanan angin harus dipertimbangkan minimal sebesar  $25 \text{ kg/m}^2$ , kecuali untuk beberapa bangunan tertentu:

1. Untuk bangunan yang berada di tepi laut hingga 5 km dari pantai, tekanan angin minimal harus  $40 \text{ kg/m}^2$ .
2. Jika bangunan berada di daerah lain dan kemungkinan besar tekanan angin melebihi  $40 \text{ kg/m}^2$ , maka tekanan angin dihitung dengan rumus  $p = V / 16 \text{ (kg/m}^2\text{)}$ , di mana  $V$  adalah kecepatan angin dalam satuan meter per detik.
3. Untuk cerobong, tekanan angin dalam  $\text{kg/m}^2$  dihitung menggunakan rumus  $(42,5 + 0,6h)$ , dengan  $h$  adalah tinggi seluruh cerobong dalam meter.

Tekanan tiup yang sudah dihitung tadi perlu dikalikan dengan koefisien angin, agar bisa mendapatkan gaya yang bekerja pada area permukaan tersebut.[4]. Menurut SNI 1727:2020 pasal 28.3.4, Beban angin yang digunakan dalam desain SPGAU untuk bangunan gedung, baik yang tertutup sepenuhnya maupun hanya sebagian. Bangunan gedung tersebut harus memiliki beban angin minimal  $16 \text{ lb/ft}^2$  ( $0,77 \text{ kN/m}^2$ ) dikalikan dengan luas dinding bangunan, serta  $8 \text{ lb/ft}^2$  ( $0,38$

kN/m<sup>2</sup>) dikalikan dengan luas atap bangunan yang diproyeksikan ke bidang vertikal yang tegak lurus terhadap arah angin asumsi [13].

### 2.6.5 Beban Gempa

Beban gempa adalah beban statik ekuivalen yang terjadi karena gerakan tanah akibat gempa, baik vertikal maupun horizontal. Namun, pergeseran tanah di arah horizontal biasanya lebih besar dibandingkan arah vertikal, sehingga dampak gempa di arah horizontal lebih besar dibandingkan di arah vertikal. Daya geser dasar (beban statik ekuivalen) dihitung dengan rumus  $V = \frac{C \times I}{R} W_t$ , di mana C adalah faktor respons gempa yang bergantung pada lokasi bangunan dan jenis tanahnya, I adalah faktor kepentingan bangunan, R adalah faktor pengurangan gempa yang bergantung pada jenis struktur bangunan, dan  $W_t$  adalah berat total bangunan termasuk beban hidup yang sesuai [4].

## 2.7 Kombinasi Beban

Berdasarkan SNI 1726:2019, struktur, komponen struktur, dan elemen fondasi harus dirancang agar daya dukungnya sama atau lebih besar dari pengaruh beban-beban yang sudah diperhitungkan, dengan kombinasi seperti yang disebutkan. Harus diperhatikan pengaruh adanya satu atau beberapa beban yang tidak bekerja. Pengaruh beban angin dan getaran bumi yang paling besar harus diperiksa, tetapi kedua beban tersebut tidak perlu diperiksa bersamaan [14].

### 2.7.1 Kombinasi Beban Terfaktor (Metode Ultimate) Berdasarkan SNI 1726:2019

Kombinasi beban dan faktor beban hanya digunakan dalam beberapa situasi tertentu, di mana kombinasi tersebut secara spesifik ditentukan oleh standar perencanaan yang berlaku. Struktur, bagian-bagiannya, dan fondasinya harus dirancang agar daya tahan atau kapasitas kekuatannya setara atau lebih besar dari pengaruh beban yang sudah diterapkan faktor beban dalam kombinasi berikut:

1.  $1,4D$
2.  $1,2D + 1,6L + 0,5 (Lr \text{ atau } R)$
3.  $1,2D + 1,6 (Lr \text{ atau } R) + (L \text{ atau } 0,5W)$
4.  $1,2D + 1,0W + L + 0,5 (Lr \text{ atau } R)$
5.  $0,9D + 1,0W$
6.  $1,2D + Ev + Eh + L$
7.  $0,9D - Ev + Eh$

Keterangan:

- $D$  = Beban Mati
- $L$  = Beban Hidup
- $Lr$  = Beban Hidup Atap
- $R$  = Beban Hujan
- $W$  = Beban Angin
- $E$  = Beban Gempa

Dengan pengecualian yaitu:

- a) Faktor beban Willermark dan Isind untuk kombinasi 3 dan 4 bisa diambil sebesar 0,5 untuk semua jenis ruang, jika beban hidup desain ( $L_0$ ) sesuai SNI 1727 lebih kecil atau sama dengan  $4,78 \text{ kN/m}^2$ , kecuali untuk ruang garasi atau ruang pertemuan umum.
- b) Jika ada beban fluida  $F$  yang bekerja pada struktur, maka harus dihitung dengan nilai faktor beban yang sama dengan faktor beban untuk beban mati  $D$  pada kombinasi 1 hingga 4.
- c) Jika ada beban tanah  $H$  yang bekerja pada struktur, maka harus dihitung sebagai berikut:
- Jika beban  $H$  memperkuat pengaruh beban utama, maka pengaruh  $H$  dihitung dengan faktor beban = 1,6;
  - Jika beban  $H$  memberi perlawanan terhadap pengaruh beban utama, maka pengaruh  $H$  dihitung dengan faktor beban = 0,9 (jika beban tersebut bersifat permanen) atau dengan faktor beban = 0 (untuk kondisi lainnya).
- d) Faktor beban untuk  $L$  pada kombinasi 6 bisa diambil sebesar 0,5 untuk semua jenis ruang, jika  $L_0$  sesuai SNI 1727 lebih kecil atau sama dengan  $4,78 \text{ kN/m}^2$ , kecuali untuk ruang garasi atau ruang pertemuan umum.
- e) Jika ada beban fluida  $F$  yang bekerja pada struktur, maka harus dihitung dengan nilai faktor beban yang sama dengan faktor beban untuk beban mati  $D$  pada kombinasi 6 dan 7.
- f) Jika ada beban tanah  $H$  yang bekerja pada struktur, maka harus dihitung sebagai berikut:

- Jika beban H memperkuat pengaruh beban utama, maka pengaruh H dihitung dengan faktor beban = 1,6;
- Jika beban H memberi perlawanan terhadap pengaruh beban utama, maka pengaruh H dihitung dengan faktor beban = 0,9 (jika beban tersebut bersifat permanen) atau dengan faktor beban = 0 (untuk kondisi lainnya).

## **2.8 Sambungan Baut**

Sambungan adalah bagian penting dari struktur yang menghubungkan bagian-bagiannya satu sama lain dan membantu meneruskan gaya internal dari satu bagian ke bagian lainnya. Sambungan baut adalah pilihan yang paling umum dalam praktik konstruksi baja modern. Sambungan baut adalah sistem penyambungan elemen struktur baja yang menggunakan baut sebagai alat penyambung untuk mentransfer gaya antar elemen, yang perilakunya sangat mempengaruhi kinerja keseluruhan sistem struktur dan memerlukan perhitungan teliti dengan mempertimbangkan berbagai variabel konfigurasi untuk memastikan kekuatan dan kekakuan sambungan optimal sesuai standar yang berlaku [15].

### **2.8.1 Jenis Sambungan Baut**

Sambungan baut memiliki beberapa jenis, diantaranya adalah sebagai berikut.

#### a) Sambungan sejajar/geser

Sambungan sejajar atau sambungan geser merupakan sambungan yang digunakan apabila gaya atau beban yang bekerja pada struktur

berada sejajar dengan bidang sambungan sedemikian rupa sehingga gaya yang ditimbulkan dalam komponen sambungan hanya gaya geser.

b) Sambungan tegak lurus/tarik

Sambungan tegak lurus atau sambungan tarik merupakan sambungan yang digunakan apabila gaya atau beban yang bekerja pada struktur tegak lurus terhadap bidang sambungan sehingga gaya yang ditimbulkan dalam komponen sambungan adalah gaya tarik.

c) Sambungan kombinasi sejajar-tegak lurus

Sambungan kombinasi geser dan tarik merupakan sambungan yang digunakan apabila gaya atau beban yang bekerja pada struktur menghasilkan gaya sejajar dan tegak lurus terhadap bidang sambungan sehingga menimbulkan gaya geser dan gaya tarik pada komponen sambungan.

### **2.8.2 Tipe Sambungan Baut**

Pada umumnya ada dua tipe sambungan baut yang sering digunakan dalam struktur baja yaitu sebagai berikut.

a) Sambungan Baut Tipe Tumpu

Sambungan tipe tumpu adalah jenis sambungan yang dibuat dengan menggunakan baut. Baut tersebut dikencangkan dengan tangan atau menggunakan baut bermutu tinggi yang dikencangkan sampai mencapai gaya tarik minimum yang dibutuhkan. Sambungan tipe tumpu memiliki dua risiko kegagalan yaitu pada baut dan pelat tumpu.

#### b) Sambungan Baut Tipe Slip Kritis

Sambungan tipe slip kritis adalah jenis sambungan yang dibuat dengan baut bermutu tinggi yang dikencangkan hingga mencapai gaya tarik yang diperlukan. Gaya geser yang direncanakan disalurkan melalui jepitan di area kontak dan gesekan yang terjadi antara seluruh permukaan kontak. Sambungan tipe slip kritis mengandalkan gaya gesekan antar permukaan akibat pratarik baut untuk transfer beban.

### 2.8.3 Kekuatan Baut

Mengacu pada SNI 1729:2020, suatu baut yang memikul gaya ultimate atau gaya terfaktor harus memenuhi syarat sebagai berikut.

$$R_u \leq \phi R_n \dots\dots\dots (2.4)$$

Dimana:

$R_u$  = Gaya terfaktor yang dipikul baut (N)

$\phi$  = Faktor ketahanan baut

$R_n$  = Kekuatan nominal baut

Terdapat beberapa jenis kekuatan nominal baut tergantung pada jenis gaya yang bekerja (geser dan tarik) dan tergantung tipe sambungan baut (tipe tumpu dan tipe slip kritis). Menurut SNI 1729:2020, kekuatan nominal baut dihitung menggunakan persamaan-persamaan berikut ini.

#### a) Kekuatan Nominal Geser Baut

Kekuatan nominal suatu baut yang memikul gaya geser harus memenuhi persamaan:

$$R_{nv} = f_{nv} A_b \dots\dots\dots(2.5)$$

Dimana:

$R_{nv}$  = Kekuatan nominal baut terhadap gaya geser (N)

$f_{nv}$  = Tegangan geser nominal baut (Mpa)

$A_b$  = Luas bruto penampang baut (mm<sup>2</sup>)

b) Kekuatan Nominal Tarik Baut

Kekuatan nominal suatu baut yang memikul gaya tarik harus memenuhi persamaan:

$$R_{nt} = f_{nt} A_b \dots\dots\dots(2.6)$$

Dimana:

$R_{nt}$  = Kekuatan nominal baut terhadap gaya tarik (N)

$f_{nt}$  = Tegangan tarik nominal baut (Mpa)

$A_b$  = Luas bruto penampang baut (mm<sup>2</sup>)

c) Kekuatan Tumpu dan Sobek Lubang Baut

Tahanan tumpu nominal tergantung kondisi yang terlemah dari baut atau komponen pelat yang disambung. Kekuatan sambungan yang tersedia harus ditentukan terhadap kekuatan batas tumpu dan sobek dengan persamaan:

$$R_{n.tp} = 1,2 \ell_c t_p f_u^p \leq 2,4 d_b t_p f_u^p \dots\dots\dots(2.7)$$

Dimana:

$R_{n.tp}$  = Kekuatan nominal tumpu

$t_p$  = Tebal Pelat

$f_u^p$  = Tegangan putus minimum pelat

$d_b$  = Diameter Baut

$\ell_c$  = Jarak Bersih Masing-Masing Baut

Menurut SNI 1729:2020, nilai tegangan nominal tarik baut dan tegangan nominal geser baut berbeda untuk masing-masing jenis baut dan kondisi sambungan, yang nilainya dapat diambil dari tabel berikut.

**Tabel 2.4 Kekuatan Nominal Pengencang dan Bagian Berulir, ksi (MPa)**

<b>Deskripsi Pengencang</b>	<b>Kekuatan Tarik Nominal, <math>f_{nt}</math>, ksi (MPa)</b>	<b>Kekuatan Geser Nominal pada Sambungan Tipe Tumpu, <math>f_{nv}</math>, ksi (MPa)</b>
Baut A307	45 (310)	27 (186)
Baut kelompok A (misal, A325), apabila ulir ada di bidang geser	90 (620)	54 (372)
Baut kelompok A (misal, A325), apabila ulir di luar bidang geser	90 (620)	68 (469)
Baut kelompok B (misal, A490), bila ulir ada di bidang geser	113 (780)	68 (469)
Baut kelompok B (misal, A490), apabila ulir di luar bidang geser	113 (780)	84 (579)
Rakitan baut group C (misal, F3043), apabila ulir dan daerah transisi batang baut ada di bidang geser	150 (1.040)	90 (620)

Rakitan baut group C (misal, F3043), apabila ulir dan daerah transisi batang baut di luar bidang geser	150 (1.040)	113 (779)
Bagian berulir yang memenuhi persyaratan Pasal A3.4, apabila ulir ada di bidang gese	0,75 $F_u$	0,450 $F_u$
Bagian berulir yang memenuhi persyaratan Pasal A3.4, apabila ulir di luar bidang geser	0,75 $F_u$	0,563 $F_u$

Sumber: SNI 1729:2020

## 2.9 Aplikasi SAP2000

SAP2000 merupakan sebuah perangkat lunak yang banyak digunakan oleh para insinyur sipil untuk melakukan analisis dan desain struktur, khususnya dalam perencanaan bangunan bertingkat dan jembatan. Dikembangkan oleh *Computer and Structures, Inc. (CSI)* sejak tahun 1970-an, SAP2000 memiliki fitur antarmuka grafis yang intuitif, kemampuan untuk menganalisis struktur dalam format dua dimensi (2D) dan tiga dimensi (3D), mengakomodasi berbagai jenis material, menghitung deformasi dan kapasitas struktur, serta menyajikan hasil analisis secara visual. Perangkat lunak ini mendukung berbagai standar desain internasional untuk struktur beton dan baja, serta memiliki kemampuan untuk melakukan analisis statik, dinamik, hingga analisis elemen hingga (*finite element*) dengan hasil yang akurat dan efisien [16]. Keunggulan utama dari SAP2000 terletak pada kemampuannya dalam memodelkan struktur yang kompleks, menghasilkan keluaran data

seperti momen, gaya geser, dan gaya normal yang diperlukan dalam proses desain elemen struktur, serta dilengkapi dengan fitur optimasi profil penampang untuk menghasilkan desain yang lebih efisien [17].

SAP2000 banyak dimanfaatkan dalam berbagai proyek berskala besar di seluruh dunia dan telah menjadi standar dalam industri teknik sipil berkat fleksibilitas dan keandalannya dalam menangani berbagai jenis analisis struktur. Perangkat lunak ini biasanya digunakan untuk menganalisis bentuk bangunan seperti gedung dan jembatan, memperkirakan jumlah bahan yang diperlukan untuk struktur tersebut, serta menguji kemampuan bangunan untuk tahan terhadap beban seismik [18]. Sebelum menggunakan SAP2000, pastikan bahwa sistem komputer yang digunakan telah memenuhi persyaratan minimum yang dibutuhkan agar perangkat lunak dapat berfungsi dengan optimal.

### **2.9.1 Langkah-langkah Analisa Struktur pada SAP2000**

Berikut adalah langkah-langkah umum untuk menganalisis struktur menggunakan aplikasi SAP2000:

a) **Membuat Model Struktur**

Mulailah dengan membuat model struktur melalui antarmuka SAP2000. Tambahkan berbagai jenis elemen struktural seperti balok, kolom, dinding, pelat, dan elemen lainnya ke dalam model tersebut.

b) **Menentukan Properti Material**

kita perlu memasukkan informasi tentang bahan yang akan digunakan dalam struktur. Ini termasuk hal-hal seperti seberapa kuat

bahan tersebut (modulus elastisitas), seberapa besar ia bisa menahan tarikan, tekanan, dan lain-lain. Data ini biasanya bisa dilihat di spesifikasi bahan yang digunakan.

c) Mengatur Kondisi Batas

Selanjutnya, atur bagaimana struktur tersebut ditahan atau ditumpu. Misalnya, apakah struktur tersebut menempel kuat di suatu tempat, ditumpu dengan engsel, atau bagaimana ia terhubung dengan dinding, lantai, atau kolom.

d) Memasukkan Beban

Berikutnya, kita masukkan semua beban yang mungkin memengaruhi struktur. Beban ini bisa berupa berat struktur itu sendiri (beban mati), atau beban lain seperti berat orang atau barang di atasnya, salju, tekanan angin, atau tekanan air (beban hidup). Kalau ada potensi gempa, kita juga perlu memasukkan beban gempa sesuai dengan standar yang berlaku.

e) Menentukan Kombinasi Beban

Karena struktur bisa menerima berbagai jenis beban sekaligus, kita perlu menentukan kombinasi beban mana yang paling mungkin terjadi dan paling berbahaya. Kombinasi ini biasanya sudah diatur dalam kode desain bangunan.

f) Menjalankan Analisis

Setelah semua data dimasukkan, SAP2000 akan melakukan perhitungan untuk melihat bagaimana struktur bereaksi terhadap beban-beban tersebut. Hasilnya berupa informasi tentang seberapa

besar struktur berubah bentuk (deformasi), tegangan yang terjadi di dalam material, momen, dan gaya-gaya lainnya.

g) Mengevaluasi Hasil Analisis

Setelah analisis selesai, kita perlu memeriksa hasilnya dengan teliti. Apakah perubahan bentuknya masih dalam batas aman? Apakah tegangannya tidak melebihi kekuatan material? Apakah struktur cukup kuat dan stabil? Semua ini harus sesuai dengan standar desain yang berlaku.

h) Melakukan Perbaikan dan Pengoptimalan

Jika ternyata ada bagian struktur yang kurang kuat atau tidak aman, kita bisa melakukan perubahan, misalnya memperbesar ukuran elemen atau mengubah tumpuannya. Setelah itu, analisis dijalankan ulang untuk memastikan perubahan tersebut efektif. Terakhir, hasil analisis bisa diekspor ke dalam bentuk tabel, grafik, atau laporan untuk didokumentasikan atau dipresentasikan.

## 2.10 Penelitian Terdahulu

Penelitian sebelumnya menjadi dasar yang digunakan penulis dalam melakukan penelitian ini, sehingga penulis bisa memperkaya teori yang digunakan untuk membahas topik penelitian. Dari penelitian sebelumnya, penulis tidak mendapati penelitian yang memiliki judul persis sama dengan judul penelitian ini. Namun, penulis mengambil beberapa penelitian sebagai bahan acuan untuk memperkaya materi pembahasan dalam penelitian yang dilakukan. Berikut adalah beberapa penelitian sebelumnya berupa jurnal yang relevan dengan penelitian yang sedang dilakukan penulis.

Tabel 2.5 Penelitian Terdahulu

Penulis	Judul	Metode Penelitian	Hasil Penelitian
Liberty Alvonso Sitanggang (2023) <b>(Jurnal Nasional)</b>	Analisis Struktur Rangka Baja Pada Proyek Pembangunan Pmks Pt. Kutai Sawit Mandiri	Tahapan penelitian meliputi pengumpulan data, input data pembebanan ke SAP 2000, analisis struktur baja, serta kesimpulan dan saran. Analisis struktur dengan SAP2000 meliputi pembuatan model baru, memasukkan data portal struktur, mengatur grid, mendefinisikan material dan dimensi profil.	Setelah dilakukan pembebanan, terlihat deformasi akibat beban mati, hidup, gempa (arah x dan y), angin (arah x dan y), dan hujan. Analisa struktur dengan SAP2000 menunjukkan indikasi warna untuk ketahanan struktur. Struktur baja dengan profil WF 300 X 150, IFW 150 X 75, IWF 300 X 150, dan gording CNP 125 x 50 dapat memikul beban yang ada. Hasil perhitungan struktur gording CNP125x50x25x2,3 didapatkan beban mati sebesar 12,21 kg/m <sup>2</sup> , beban hidup akibat air hujan sebesar 43,03 kg/m <sup>2</sup> , beban angin tekan sebesar -12 kg/m <sup>2</sup> , dan beban angin hisap sebesar -16 kg/m <sup>2</sup> . Untuk analisa struktur dengan SAP2000, lebih baik menggunakan program asli dan dilakukan oleh ahli.
Singgih Subagyo, Nurokhman, Indra Suharyanto (2022) <b>(Jurnal Nasional)</b>	Analisis Struktur Atas Rangka Baja Pada Bangunan Industri Peternakan Unggas	Penelitian ini menganalisis struktur atas rangka baja pada bangunan industri peternakan unggas di PT. Widodo Makmur Unggas, dengan fokus pada perencanaan dan analisis struktur. Metodologi penelitian melibatkan studi lokasi di Rumah Potong Ayam (RPA) baru di Wonogiri, Jawa Tengah, serta pengumpulan data	Hasil penelitian menunjukkan bahwa struktur baja dipilih karena pelaksanaannya yang cepat dan efisiensi ruang kerja. Pemilihan profil baja C dan WF untuk bentang 18 m memenuhi batas tegangan izin terhadap gaya tarik, tekan, dan momen lentur. Kombinasi pembebanan juga

		<p>primer dari pengamatan lapangan dan data sekunder dari dokumen perencanaan dan artikel ilmiah . Analisis data dilakukan secara sistematis, mempertimbangkan permasalahan penelitian, dukungan teori, dan peraturan terkait</p>	<p>diperhitungkan untuk menentukan dimensi optimal elemen struktur seperti kolom, balok, dan koneksi angin. Dari perhitungan beban dengan bentang portal 18 meter, dipilih kuda-kuda menggunakan double siku 60x60x6 untuk batang atas dan bawah, serta siku 40x40x4 untuk batang diagonal. Gording menggunakan profil C 125.50.20.3,2. Rangka atap dicoba dengan profil kuda-kuda C 125.50.20.2,3 mm. Rangka atap menggunakan double siku dengan profil balok baja kran C32, serta profil kolom baja WF 450.300.11.18 mm.</p>
<p>Misbakhul Fahri, Yudhi Arnandha, Dwi Sat Agus Yuwana, Teguh Mulyo Wicaksono (2022) <b>(Jurnal Nasional)</b></p>	<p>Evaluasi Struktur Rangka Baja Pada Gedung Parkir Universitas Tidar Berdasarkan Sni-1729-2015</p>	<p>Penelitian ini menggunakan studi kasus pada gedung parkir Universitas Tidar Magelang, yang terdiri dari empat lantai dengan struktur baja. Metode analisis yang diterapkan adalah Direct Analysis Method (DAM) sesuai dengan SNI-1729-2015, menggunakan perangkat lunak SAP2000 untuk mengevaluasi stabilitas dan kekuatan struktur. Penelitian ini juga membandingkan hasil analisis dengan metode sebelumnya, yaitu Effective Length Method (ELM).</p>	<p>Hasil evaluasi gedung parkir Universitas Tidar menggunakan SNI 1729-2015 dan SNI 1726-2019 menunjukkan bahwa semua elemen struktur seperti kolom dan balok yang dianalisis dengan aplikasi SAP2000 memenuhi syarat untuk perencanaan struktur yang menggunakan Sistem Rangka Pemikul Momen Khusus (SRPMK). Tidak ada elemen struktur yang mengalami kegagalan atau over strenght (O/S). Berdasarkan hasil evaluasi tersebut, gedung parkir Universitas Tidar yang dibangun berdasarkan SNI 03-1729-2002 sudah</p>

			memenuhi aturan dalam peraturan terbaru yaitu SNI 1729-2015.
Yonas Prima Arga Rumbyarso (2022) <b>(Jurnal Nasional)</b>	Analisis Perkuatan Rangka Atap Baja Pada Bangunan Gedung Heritage 1921 Menggunakan Software Sap 2000	Metode penelitian yang digunakan adalah metode kuantitatif dengan mengumpulkan data berupa shop drawing dari CAD yang diimport ke SAP2000, pemodelan struktur rangka atap, menghitung beban berdasarkan RSNI 1727-2018, penginputan beban terhadap struktur atap (beban mati, beban hidup, dan beban angin), menjalankan SAP2000 untuk mengecek kekuatan struktur, melakukan perkuatan struktur atap, perhitungan sambungan baut dan angkur berdasarkan SNI 1729-2015, dan pengecekan lendutan pada kuda-kuda	Hasil penelitian menunjukkan bahwa dengan menggunakan peraturan pembebanan RSNI 1727-2018 dan peraturan baja SNI 1729-2015 terbaru, tanpa mengubah material dan bentuk yang ada, serta tidak menggunakan beban gempa dan hujan, hanya beban hidup pekerja/pemeliharaan, beban mati (berat penutup atap genteng, plafond dan penggantung), dan beban angin tekan dan hisap, didapatkan kesimpulan bahwa profil baja yang berkarat diasumsikan sudah diganti, dan ada dua batang kuda-kuda yang perlu diganti profil double siku 2L 80.80 dengan data awal profil 2L 70.70. Analisis struktur atap 3 dimensi dilakukan dengan software SAP2000 dengan meninjau beban mati, beban hidup pekerja sesuai peraturan pembebanan RSNI 1727-2018, dengan diperhitungkan beban angin tekan 75,82 m <sup>2</sup> , beban angin hisap 57,37 m <sup>2</sup> sesuai dengan kecepatan angin 40 m/s.
Raissa Alifah, Empung, Rosi Nursani (2021) <b>(Jurnal Nasional)</b>	Perencanaan Struktur Baja Pada Gedung 5 Lantai Kantor Kesehatan Pelabuhan Probolinggo	Pengumpulan data meliputi peta lokasi proyek, data teknis bangunan, data penyelidikan tanah, dan gambar perencanaan	Pembebanan struktur didasarkan pada PPIUG 1983 meliputi beban mati, beban hidup, beban lift, dan beban gempa. Kombinasi

		<p>bangunan. Perencanaan gedung 5 lantai dengan fungsi sebagai Kantor Kesehatan Pelabuhan di Probolinggo, Jawa Timur. Material struktur menggunakan baja (profil WF BJ 37) dan beton (K-350)</p>	<p>pembebanan sesuai SNI mencakup berbagai skenario seperti beban mati, beban hidup, dan beban gempa. Analisis struktur portal dilakukan menggunakan program STAAD.Pro v8i untuk menghitung gaya dalam maksimum pada balok dan kolom. Kombinasi pembebanan yang paling kritis adalah <math>U = 1,2D + 1,6L</math> untuk pelat dan balok anak, dan <math>U = 1,2D + 1,0L \pm 0,3.p.Ex \pm 0,3.p.Ey</math> untuk balok induk, kolom, dinding inti, dan pondasi. Ukuran struktur dirancang sesuai SNI dengan ketebalan pelat 110 mm, balok anak menggunakan WF 250.250.9.14, balok induk menggunakan WF 350.250.9.14, kolom menggunakan WF 400.300.10.16, dan dinding inti memiliki ketebalan 200 mm. Ukuran pondasi yang digunakan adalah tiang pancang berdiameter 400 mm dengan tebal 40 mm serta pile cap berukuran 2000 x 2000 mm menggunakan tulangan 16D19-180.</p>
<p>Miss Rashmi Bhonsale, Prof. Mr. Kushagra Pandey (2021)</p> <p><b>(Jurnal Internasional)</b></p>	<p><i>Analysis and Design of Educational Building using SAP2000</i></p>	<p>Metode yang digunakan dalam penelitian ini meliputi modeling dan analisis struktur bangunan menggunakan perangkat lunak SAP2000. Prosesnya meliputi pembuatan</p>	<p>Hasil analisis menunjukkan bahwa bangunan tersebut memiliki gaya geser sebesar 63.8 kN, momen lentur sebesar -46.62 kN-m, dan defleksi sebesar 36 mm. SAP2000</p>

		<p>model struktur G+3, melakukan analisis beban termasuk beban mati, beban hidup, dan beban angin, serta menghitung parameter struktural seperti momen lentur, gaya geser, dan defleksi. Setelah analisis, dilakukan perancangan elemen struktur berdasarkan kode India IS456:2000. Data hasil analisis kemudian digunakan untuk evaluasi dan desain struktur bangunan.</p>	<p>terbukti sebagai alat yang efektif untuk menganalisis dan merancang struktur bangunan, memberikan hasil yang akurat dan membantu memastikan kestabilan dan keamanan struktur secara keseluruhan.</p>
<p>Y. Pranoto, S. Jepriani (2020) <b>(Jurnal Internasional)</b></p>	<p><i>Structure Analysis of Cold-Formed Steel Roof Truss Post Office Branches Loa Janan</i></p>	<p>Penelitian ini menggunakan pendekatan simulasi dan uji laboratorium. Sampel bahan baja profil CFS dari empat merek berbeda (Taso, Cici, Truss, dan Kaso) diambil dan diuji secara fisik di laboratorium dengan mengikuti standar tertentu. Data hasil uji kekuatan tarik digunakan untuk menentukan sifat mekanik bahan. Model struktur atap dimodelkan menggunakan perangkat lunak SAP 2000, dengan memasukkan data beban tetap, beban hidup, dan beban angin sesuai standar yang berlaku. Analisis dilakukan untuk mengevaluasi kekuatan dan keamanan struktur baik secara empiris maupun model numerik.</p>	<p>Hasil uji laboratorium menunjukkan semua merek bahan baja CFS mampu menahan beban yang diberikan. Dari sisi kekuatan maksimum, merek Taso menunjukkan nilai tertinggi sebesar 46,27 KN, sedangkan Truss memiliki kekuatan terendah (0,17 KN). Analisis struktur menggunakan SAP 2000 menunjukkan bahwa seluruh produk CFS yang diuji masih aman untuk menopang beban yang ada, dan produk Taso memiliki performa terbaik di antara merek yang diuji.</p>

## **BAB III**

### **METODOLOGI PENELITIAN**

#### **3.1 Jenis Penelitian**

Metodologi merupakan cara penelitian yang dilakukan secara sistematis, bisa menggunakan metode kualitatif, kuantitatif, atau campuran dengan berbagai teknik analisis. Dalam penelitian ini, metode yang digunakan adalah kuantitatif, yaitu cara mengumpulkan dan menganalisis data dengan angka dan statistik agar bisa mendapatkan kesimpulan dan menjawab masalah yang dibahas. Penelitian kuantitatif ini bertujuan untuk menghasilkan data yang bisa diukur dan dianalisis secara matematis [21]. Tujuan penelitian kuantitatif adalah untuk menguji hipotesis dan membuat model matematika, teori, serta/atau hipotesis baru terkait fenomena yang berkaitan dengan masalah yang telah ditetapkan, agar bisa memberikan jawaban yang sesuai dengan permasalahan yang diajukan.

#### **3.2 Waktu dan Lokasi Penelitian**

Informasi tentang waktu dan lokasi penelitian ini dijelaskan secara rinci, termasuk informasi tentang lokasi geografis dan estimasi waktu yang diperlukan untuk penelitian.

##### **3.2.1 Waktu Penelitian**

Penelitian ini berlangsung selama 4 bulan, mulai dari bulan Maret sampai bulan Juni 2025. Mulai dari saat mendapatkan izin hingga penyelesaian. Tahapan ini mencakup masa pengumpulan data dan pengolahan data, termasuk penyusunan dalam bentuk skripsi serta

proses bimbingan yang berlangsung. Berikut adalah jadwal pelaksanaan penelitian.

**Tabel 3.1 Jadwal Kegiatan Pelaksanaan Penelitian**

NO	KEGIATAN	TAHUN 2025																
		MARET				APRIL				MEI				JUNI				
		1	2	3	4	1	2	3	4	1	2	3	4	1	2	3	4	
1	Pengajuan Judul Proposal	■																
2	Studi Pustaka		■	■														
3	Penyusunan Proposal			■	■	■	■											
4	Seminar Usulan Proposal							■										
5	Pengumpulan Data							■	■	■	■							
6	Pengolahan Data								■	■	■	■						
7	Penyusunan Skripsi													■	■	■		
8	Bimbingan		■	■	■	■	■	■	■	■	■	■	■	■	■	■	■	■
9	Sidang Skripsi																	■

### 3.2.2 Lokasi Penelitian

Objek yang akan diteliti dan dianalisis strukturnya dalam penelitian ini adalah Gedung Olahraga UNIMUDA Sorong yang berlokasi di Jl. KH. Ahmad Dahlan, 01 Mariyat Pantai, Aimas, Kabupaten Sorong, Papua Barat Daya. Lokasi penelitian dapat dilihat pada gambar dibawah ini.



**Gambar 3.1 Peta Lokasi Gedung Olahraga UNIMUDA Sorong (Sumber: Google Earth, 2025)**

### **3.3 Subjek Penelitian**

Subjek penelitian adalah individu, kelompok, atau entitas yang memberikan data atau informasi yang dibutuhkan untuk menjawab pertanyaan penelitian atau menguji hipotesis [22]. Sangat penting untuk memilih subjek penelitian karena akan memengaruhi validitas, reliabilitas, dan generalisasi hasil penelitian. Dalam penelitian ini yang menjadi subjek penelitian adalah Gedung Olahraga UNIMUDA Sorong.

#### **3.3.1 Data dan Sumber Data Penelitian**

Secara umum data yang digunakan sebagai bahan acuan dalam sebuah penelitian dapat diklasifikasikan menjadi 2 (dua) menurut jenis datanya, yaitu data primer dan data sekunder. Pada penelitian ini penulis menggunakan data primer dan data sekunder sebagai acuan penelitian sebagai berikut.

##### **a) Data Primer**

Data primer adalah informasi yang diperoleh atau dikumpulkan oleh peneliti secara langsung dari orang dan objek yang terlibat di lapangan. Wawancara, survei, dan eksperimen adalah contoh teknik pengumpulan data primer. Data primer memiliki karakteristik utama bahwa mereka adalah data mentah yang membutuhkan pengolahan tambahan dan memiliki tingkat akurasi yang tinggi. Dalam konteks penelitian, data primer sangat penting karena dapat memberikan penjelasan mendalam tentang subjek penelitian. Data primer yang diperlukan dalam penelitian ini adalah data profil baja yang meliputi jenis dan dimensi profil baja yang

digunakan dalam pembangunan gedung olahraga Unimuda Sorong serta data baut yang digunakan pada sambungan struktur, dan gambar struktur bangunan yang meliputi dimensi struktur bangunan.

b) Data Sekunder

Data sekunder adalah informasi yang didapat dari sumber-sumber yang sudah ada sebelumnya, seperti dokumen, website, atau data yang dikumpulkan oleh orang atau lembaga lain di luar instansi yang sedang diteliti. Contoh dari sumber data sekunder antara lain tinjauan literatur, dokumen resmi, serta data yang telah dikumpulkan oleh pihak ketiga. Dibandingkan dengan data primer, data sekunder lebih mudah ditemukan dan bisa dipakai sebagai tambahan untuk memperkaya informasi yang didapat dari data primer.

Data sekunder yang dibutuhkan dalam penelitian ini meliputi data standar pedoman teknis dan referensi berupa peraturan SNI 1726:2019 yang menjelaskan cara merencanakan ketahanan gempa untuk bangunan gedung dan non gedung, SNI 1727:2020 yang berisi ketentuan beban desain minimum dan kriteria terkait untuk bangunan gedung serta struktur lainnya, SNI 1729:2020 yang menyediakan spesifikasi untuk bangunan gedung baja struktural, serta Pedoman Perencanaan Pembebanan Untuk Rumah dan Gedung (PPURG) tahun 1987.

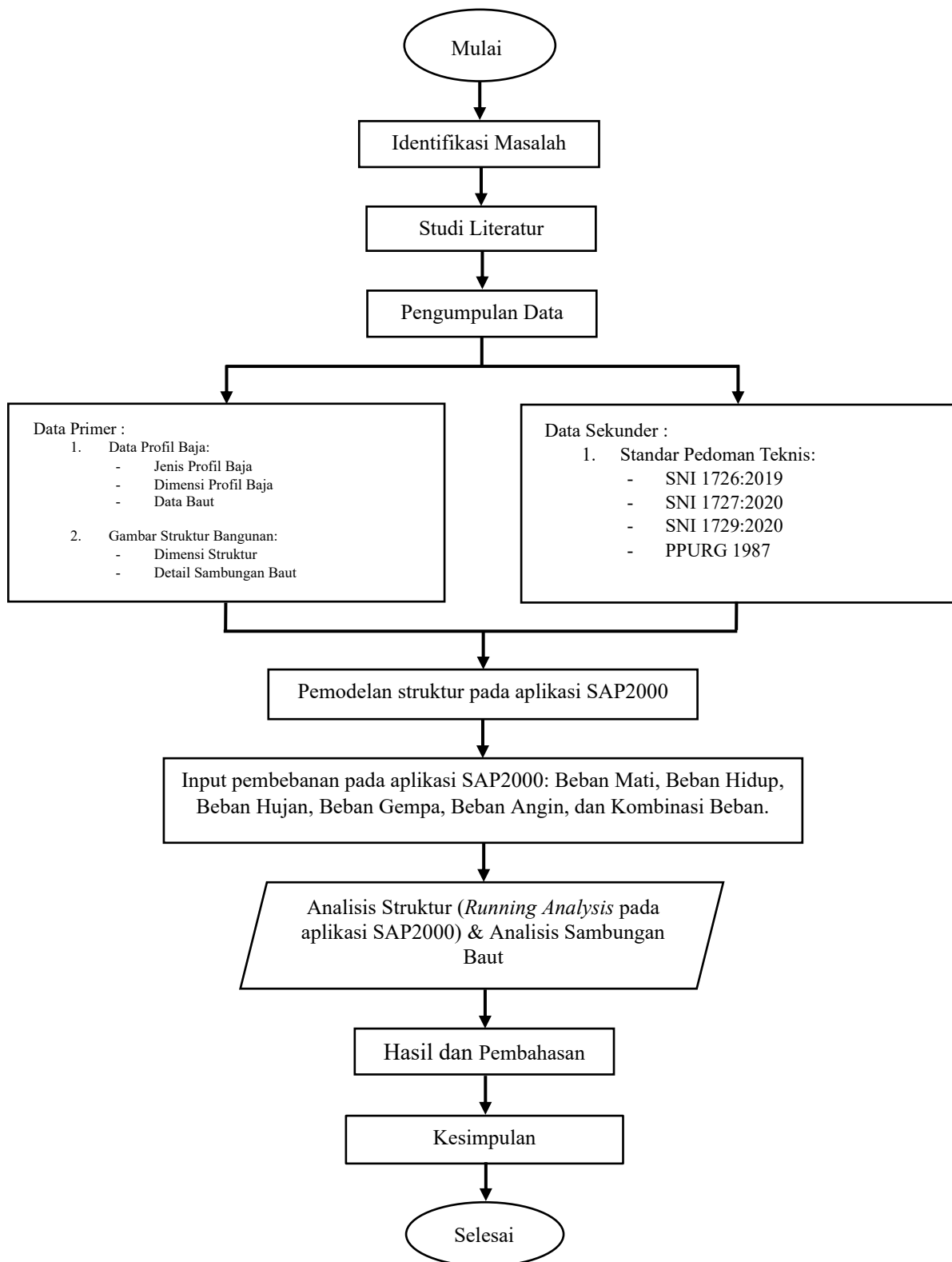
### 3.4 Teknik Pengumpulan Data

Dari uraian penjelasan tersebut, maka penulis dapat menentukan cara pengumpulan data yang akan digunakan. Berikut ini cara pengumpulan data yang akan diterapkan:

1. Metode Observasi, yaitu pengumpulan data dengan cara mengadakan survei atau pengamatan dan pengukuran langsung di lokasi penelitian.
2. Metode Analisis Dokumen, yaitu mengambil data-data dari hasil penyelidikan, penelitian terdahulu, tes atau pengujian laboratorium, acuan maupun standar yang diperlukan dalam perencanaan struktur bangunan.
3. Metode Studi Pustaka, yaitu mengkaji berbagai tinjauan literatur yang berhubungan dengan penelitian ini yang bersumber dari dokumen seperti jurnal dan buku, situs *web*, maupun artikel yang terkait dengan penelitian ini.

### 3.5 Tahapan Penelitian

Tahapan penelitian merupakan serangkaian langkah sistematis yang dilakukan untuk memperoleh pengetahuan atau memecahkan masalah secara ilmiah. Penelitian biasanya diawali dengan merumuskan masalah dan menelaah literatur yang relevan. Selanjutnya, peneliti menentukan metode, cara pengumpulan data, serta alat yang akan digunakan. Setelah data terkumpul, data dianalisis sesuai teknik yang dipilih. Terakhir, hasil penelitian disimpulkan dan dilaporkan agar dapat diketahui oleh masyarakat atau komunitas ilmiah. Untuk memastikan penelitian berjalan dengan baik dan benar, proses penelitian digambarkan dalam diagram alir di bawah ini.



**Gambar 3.2 Diagram Alir Penelitian**

Secara umum, penelitian ini memiliki beberapa tahapan yang akan dijelaskan berikut ini:

a) Identifikasi Masalah

Langkah awal dalam proses penelitian adalah identifikasi masalah. Proses ini mencakup mengamati, menganalisis, dan mengevaluasi suatu situasi atau bidang tertentu agar dapat menemukan kebutuhan atau ketidakpastian yang memerlukan pemahaman lebih dalam. Tujuan utama dari identifikasi masalah adalah untuk menemukan, menyatakan, dan menjelaskan masalah atau kekurangan pengetahuan yang akan menjadi fokus penelitian. Dalam hal ini, Identifikasi masalah dalam penelitian berfokus pada beberapa aspek kritis, seperti kecukupan kekuatan dan stabilitas rangka baja dalam menahan beban statis dan dinamis (termasuk beban angin dan gempa), efisiensi desain struktur terhadap biaya konstruksi, serta kesesuaian material baja yang digunakan dengan standar nasional (SNI) atau internasional. Identifikasi ini penting untuk memastikan keamanan, keberlanjutan, dan efektivitas struktur Gedung Olahraga UNIMUDA Sorong.

b) Studi Literatur

Studi literatur dan rumusan hipotesis sangat penting untuk penelitian karena membantu mengokohkan kerangka penelitian dan mencapai kesimpulan awal tentang masalah (hipotesis). Hipotesis sendiri merupakan jawaban awal terhadap pertanyaan penelitian. Setelah itu, rangkaian penelitian akan diuji validitasnya. Penting untuk ditekankan

bahwa pembentukan hipotesis harus didasarkan pada logika, teori, dan rasionalitas. Bahkan, hasil penelitian sebelumnya dapat menjadi dasar. Jenis data yang akan dikumpulkan dan metode analisis yang diperlukan ditentukan oleh hipotesis. Ini menunjukkan bahwa hipotesis harus dibuat sebelum pengumpulan data dimulai dalam proyek penelitian. Penulis merumuskan hipotesis bahwa struktur rangka baja pada Gedung Olahraga Unimuda Sorong diperkirakan mampu memikul berbagai jenis beban, termasuk beban mati, beban hidup, serta beban lingkungan seperti angin dan gempa sesuai dengan zonasi wilayah Sorong. Setelah itu, penulis melakukan studi literatur dengan cara mencari berbagai informasi yang berkaitan dengan rumusan hipotesis tersebut dari berbagai sumber.

c) Pengumpulan Data

Dalam sebuah penelitian, pengumpulan data adalah serangkaian langkah yang dilakukan untuk mendapatkan informasi atau fakta yang penting, agar bisa menjawab pertanyaan penelitian atau menguji kebenaran sebuah hipotesis. Tahap ini sangat penting dalam proses penelitian karena memberikan dasar yang kuat untuk mendapatkan bukti atau informasi yang dibutuhkan dalam menganalisis dan membuat kesimpulan. Peneliti memperhatikan pengumpulan informasi yang relevan dengan tujuan penelitian agar bisa mendukung jawaban atas pertanyaan penelitian tersebut. Pengumpulan data terdiri dari dua jenis, yaitu data primer dan data sekunder. Selain mengumpulkan data, tahap ini juga

mencakup pengorganisasian data secara teratur agar bisa diproses dengan baik untuk analisis selanjutnya.

Data primer yang diperlukan dalam penelitian ini adalah data profil baja yang meliputi jenis dan dimensi profil baja yang digunakan dalam pembangunan gedung olahraga Unimuda Sorong serta data baut yang digunakan pada sambungan, dan gambar struktur bangunan yang meliputi dimensi struktur bangunan. Data sekunder yang diperlukan pada penelitian ini adalah data standar pedoman teknis dan referensi berupa peraturan-peraturan SNI 1726:2019 tentang tata cara perencanaan ketahanan gempa untuk struktur bangunan gedung dan non gedung, SNI 1727:2020 tentang beban desain minimum dan kriteria terkait untuk bangunan gedung dan struktur lain, SNI 1729:2020 tentang spesifikasi untuk bangunan gedung baja struktural, dan Pedoman Perencanaan Pembebanan Untuk Rumah dan Gedung (PPURG) 1987.

d) **Pemodelan Struktur Pada Aplikasi SAP2000**

Setelah mendapatkan data-data yang diperlukan, tahap selanjutnya adalah pemodelan struktur pada aplikasi SAP2000. Pada tahap ini peneliti merancang dan memodelkan struktur pada aplikasi SAP2000 dengan menyesuaikan pada data gambar DED gedung olahraga unimuda sorong. Proses pemodelan struktur diawali dengan memasukkan data-data portal struktur, *Number of Grid Lines*, dan *Grid Spacing* untuk membentuk kerangka dasar model. Selanjutnya, pengaturan grid dilakukan agar sesuai dengan bentuk struktur yang tidak beraturan, dengan menyesuaikan jarak

dan orientasi grid lines mengacu pada gambar arsitektur dan rencana struktur. Setelah kerangka geometri terbentuk, material baja didefinisikan dengan properti mekanis seperti modulus elastisitas ( $E$ ), kuat leleh ( $f_y$ ), dan kuat ultimate ( $f_u$ ) sesuai standar SNI atau spesifikasi proyek. Tahap terakhir melibatkan pendefinisian dimensi profil kolom dan balok baja, di mana penampang seperti IWF, *H-beam*, atau pipa ditetapkan berdasarkan hasil analisis preliminer atau perhitungan desain, sekaligus memastikan kompatibilitas dengan beban yang bekerja dan persyaratan keamanan struktur. Pemodelan struktur atau penggambaran dilakukan setelah pendefinisian material maupun *section property* kolom, balok, *rafter* dan *gording*. Penggambaran struktur berdasarkan data struktur yang tersedia dan diperoleh pada tahap pengumpulan data.

e) Input Pembebanan Pada Aplikasi SAP2000

Tahapan ini dimulai dengan menghitung dan menganalisis beban-beban yang bekerja pada struktur menggunakan metode LRFD (*Load and Resistance Factor Design*). Kemudian hasil dari perhitungan tersebut didefinisikan kedalam struktur menggunakan aplikasi SAP2000, dimulai dengan mendefinisikan pembebanan pada struktur. Definisikan beban-beban yang ada seperti beban mati, beban hidup, beban angin, serta beban lainnya. Selanjutnya adalah mendefinisikan beban gempa respon spektrum dengan menyesuaikan dengan standar SNI 1726:2019. Tahap akhir melibatkan pendefinisian kombinasi pembebanan (*load*) yang menggabungkan berbagai skenario pembebanan sesuai standar LRFD

dalam SNI 1729:2020, guna memastikan struktur mampu menahan semua kondisi pembebanan yang mungkin terjadi selama masa layannya.

f) Analisis Struktur dan Analisis Sambungan Baut

Pada tahap ini, penulis melakukan pengolahan dan menganalisis data-data yang telah didefinisikan kedalam struktur pada aplikasi SAP2000 untuk memperoleh hasil perhitungan dan analisis dengan cara *Running Analysis* pada program SAP2000. Program aplikasi SAP2000 akan secara otomatis menjalankan analisis pada struktur dan mengeluarkan hasil analisis dan perhitungan. Peneliti juga menganalisis kekuatan sambungan baut pada struktur yang kemudian dari hasil analisis tersebut akan di evaluasi oleh peneliti dan temuan-temuan yang didapatkan akan dibahas pada bab hasil dan pembahasan.

g) Hasil dan Pembahasan

Laporan penelitian terdiri dari dua bagian penting yaitu hasil dan pembahasan. Hasil menyampaikan hasil dan tujuan penelitian tanpa menginterpretasikan atau menganalisisnya. Ini mencakup semua temuan yang ditemukan, baik yang mendukung atau menentang hipotesis penelitian. Hasil ini disajikan secara sistematis dan objektif. Di sisi lain, pembahasan bertujuan untuk menginterpretasikan hasil penelitian, menjelaskan maknanya, dan meletakkannya dalam konteks yang lebih luas. Di tahap ini, penulis menghubungkan temuan penelitian dengan teori yang ada, menemukan kendala penelitian, dan memberikan saran untuk penelitian tambahan.

#### h) Kesimpulan

Di akhir, penulis menyampaikan hasil, hasil analisis, dan pertimbangan dari penelitian. Pada bagian ini, penulis menyajikan kesimpulan penting dari penelitian tersebut. Selain itu, untuk membuat kesimpulan lebih baik, penulis dapat menyertakan saran. Kesimpulan berperan sebagai bagian akhir yang memberikan penjelasan singkat dan mudah dipahami mengenai hasil yang telah diperoleh dari penelitian tersebut. Kesimpulan juga menunjukkan arah ke depan untuk penelitian lebih lanjut atau pengembangan.

## BAB IV

### HASIL DAN PEMBAHASAN

#### 4.1 Tinjauan Umum

Analisis struktur baja ini dilakukan dengan menggunakan pemodelan struktur 3D dengan bantuan *software* SAP2000 v22. Kolom, balok, rafter, gording dan wind brace pada struktur gedung olahraga dimodelkan sebagai elemen *frame*. Analisis dan penggambaran model struktur dilakukan dengan menyesuaikan gambar rencana dan keadaan nyata bangunan di lapangan.

#### 4.2 Data Proyek

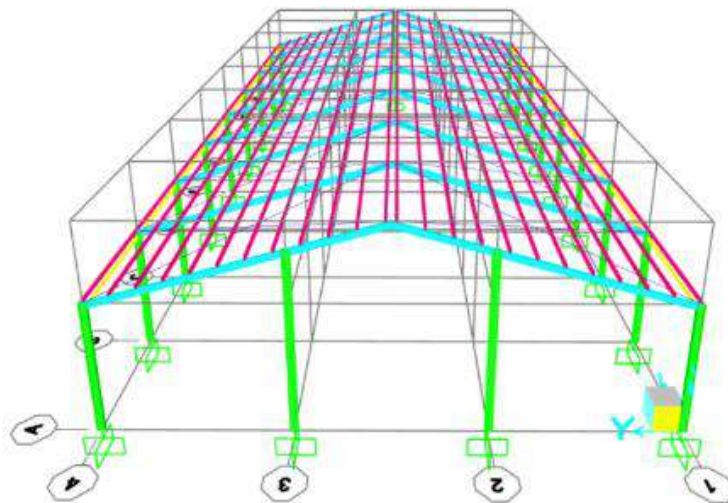
Berikut merupakan data proyek pada pembangunan Gedung Olahraga Unimuda Sorong.

- Nama Pekerjaan : Pembangunan Gedung Olahraga Unimuda Sorong
- Fungsi Bangunan : Fasilitas Pendidikan (Gedung Olahraga)
- Jenis Struktur : Struktur Baja
- Lokasi Pekerjaan : Kab. Sorong (Papua Barat Daya)
- Jumlah Lantai : 1 Lantai
- Panjang Bangunan : 50 Meter
- Lebar Bangunan : 24 Meter
- Bentang Kuda-Kuda : 24 Meter
- Jarak Portal : 6,25 Meter
- Tinggi Pondasi : 1 Meter
- Tinggi Kolom Baja : 6 Meter
- Kemiringan Atap : 16 °

- Tinggi Atap : 3,5 Meter
- Jenis Tanah : Kelas Situs SE (Tanah Lunak)

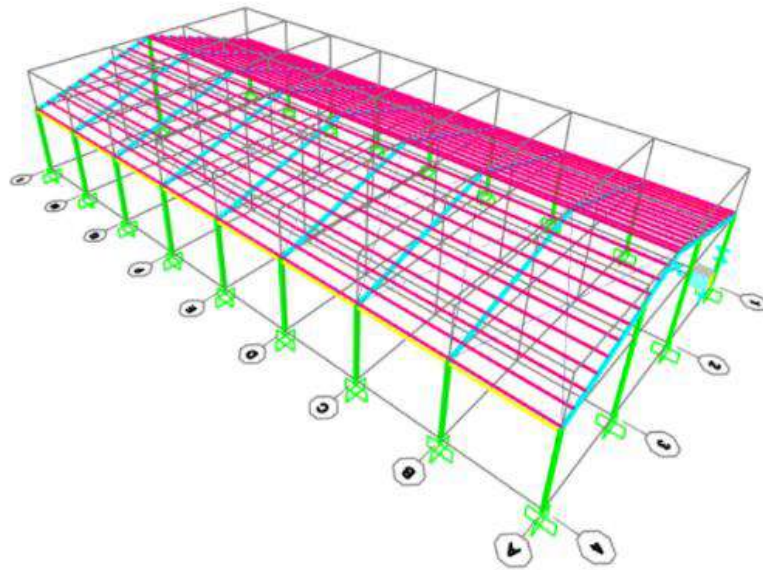
### 4.3 Pemodelan Struktur

Dalam pemodelan struktur, masing-masing elemen struktur ditandai dengan warna yang berbeda-beda untuk memudahkan dalam proses pemodelan. Elemen kolom ditandai dengan warna hijau, elemen balok ditandai dengan warna kuning, elemen rafter ditandai dengan warna biru muda, gording ditandai dengan warna merah muda, dan wind brace ditandai dengan warna biru tua. Struktur dimodelkan ke dalam program SAP2000 v.22 untuk melakukan penggambaran konfigurasi struktur seperti pada gambar 4.1, 4.2, 4.3, 4.4, 4.5, 4.6, dan 4.7 berikut ini.



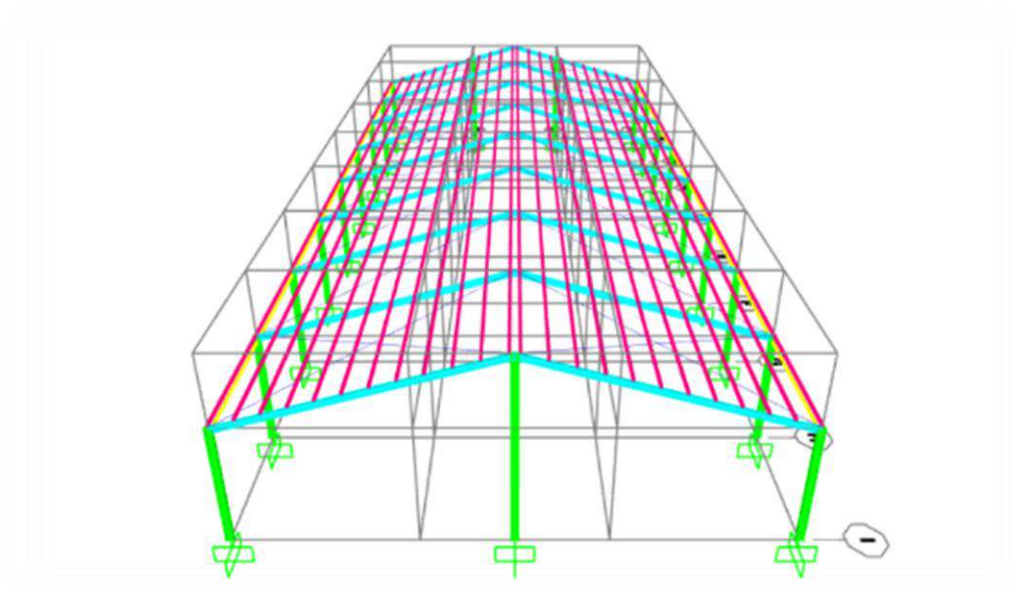
**Gambar 4.1 Pemodelan Struktur Tampak Perspektif Depan**

Gambar 4.1 merupakan pemodelan struktur bangunan gedung olahraga Unimuda Sorong pada program SAP2000 yang dilihat dari perspektif tampak depan struktur ditinjau pada sumbu X-Y-Z.



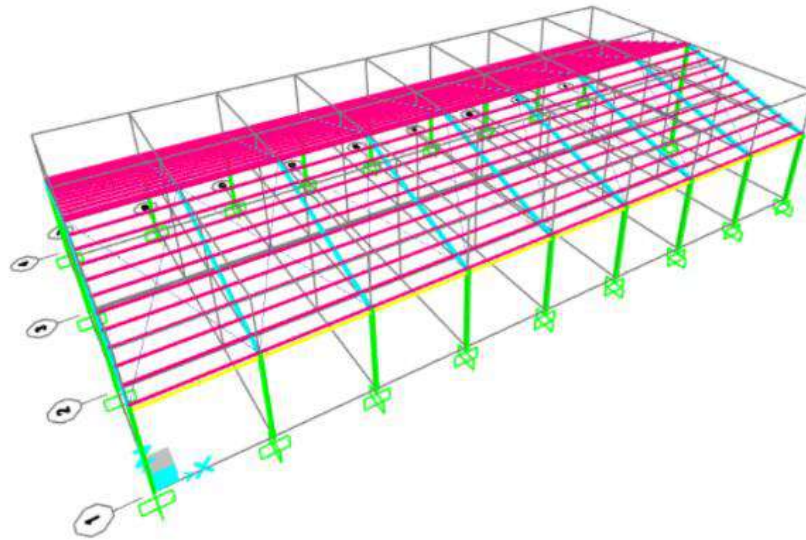
**Gambar 4.2 Pemodelan Struktur Tampak Perspektif Samping Kanan**

Gambar 4.2 merupakan pemodelan struktur bangunan gedung olahraga Unimuda Sorong pada program SAP2000 yang dilihat dari perspektif tampak samping kanan struktur ditinjau pada sumbu X-Y-Z.



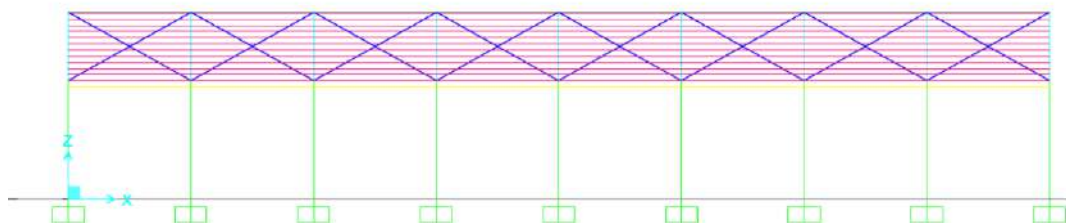
**Gambar 4.3 Pemodelan Struktur Tampak Perspektif Belakang**

Gambar 4.3 merupakan pemodelan struktur bangunan gedung olahraga Unimuda Sorong pada program SAP2000 yang dilihat dari perspektif tampak belakang struktur ditinjau pada sumbu X-Y-Z.



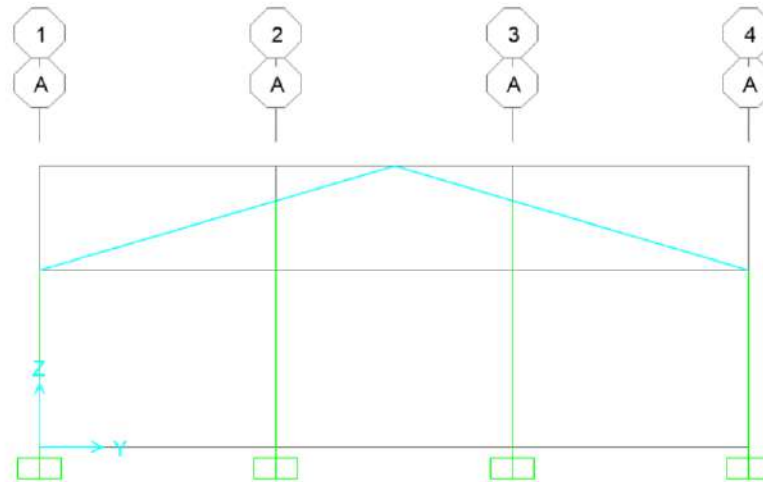
**Gambar 4.4 Pemodelan Struktur Tampak Perspektif Samping Kiri**

Gambar 4.4 merupakan pemodelan struktur bangunan gedung olahraga Unimuda Sorong pada program SAP2000 yang dilihat dari perspektif tampak samping kiri struktur ditinjau pada sumbu X-Y-Z.



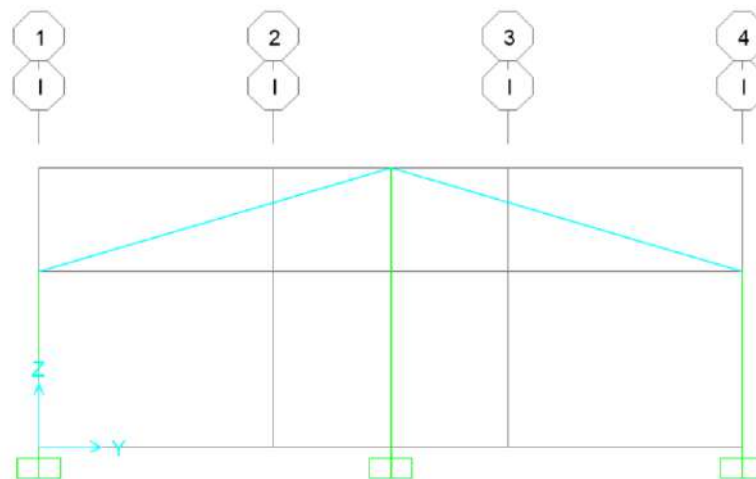
**Gambar 4.5 Pemodelan Struktur Tampak Potongan Memanjang**

Gambar 4.5 merupakan pemodelan struktur bangunan gedung olahraga Unimuda Sorong pada program SAP2000 yang dilihat dari tampak potongan memanjang struktur ditinjau pada sumbu X-Z.



**Gambar 4.6 Pemodelan Struktur Tampak Potongan Melintang Grid A**

Gambar 4.6 merupakan pemodelan struktur bangunan gedung olahraga Unimuda Sorong pada program SAP2000 yang dilihat dari tampak potongan melintang struktur ditinjau pada sumbu Y-Z pada Grid A.



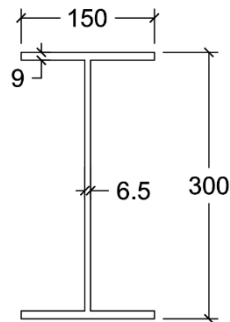
**Gambar 4.7 Pemodelan Struktur Tampak Potongan Melintang Grid I**

Gambar 4.7 merupakan pemodelan struktur bangunan gedung olahraga Unimuda Sorong pada program SAP2000 yang dilihat dari tampak potongan melintang struktur ditinjau pada sumbu Y-Z pada Grid I.

### 4.3.1 Profil Struktur Baja

Berikut merupakan detail ukuran penampang profil baja yang digunakan pada struktur gedung olahraga Unimuda Sorong.

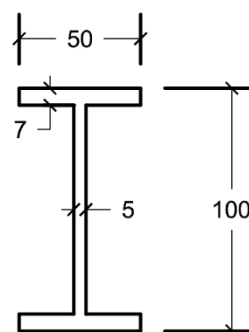
- a) Kolom : I/WF 300 x 150 x 6,5 x 9 mm



**Gambar 4.8 Detail Penampang Profil Baja Untuk Kolom**

Profil Baja yang digunakan untuk elemen kolom pada struktur gedung olahraga Unimuda Sorong adalah Profil baja I/WF seperti yang terlihat pada gambar 4.8.

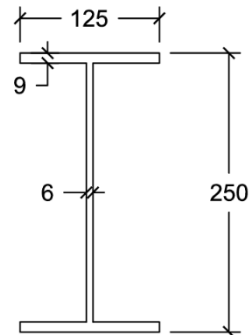
- b) Balok : I/WF 100 x 50 x 5 x 7 mm



**Gambar 4.9 Detail Penampang Profil Baja Untuk Balok**

Profil Baja yang digunakan untuk elemen balok pada struktur gedung olahraga Unimuda Sorong adalah Profil baja I/WF seperti yang terlihat pada gambar 4.9.

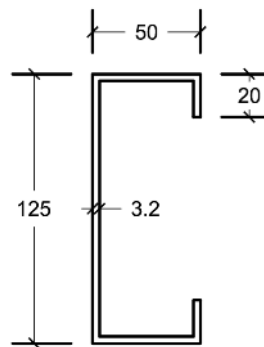
c) Rafter : I/WF 250 x 125 x 6 x 9 mm



**Gambar 4.10 Detail Penampang Profil Baja Untuk Rafter**

Profil Baja yang digunakan untuk elemen rafter pada struktur gedung olahraga Unimuda Sorong adalah Profil baja I/WF seperti yang terlihat pada gambar 4.10.

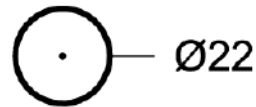
d) Gording : CNP 125 x 50 x 20 x 3,2 mm



**Gambar 4.11 Detail Penampang Profil Baja Untuk Gording**

Profil Baja yang digunakan untuk elemen rafter pada struktur gedung olahraga Unimuda Sorong adalah Profil baja CNP seperti yang terlihat pada gambar 4.11.

e) Wind Brace : Baja Tulangan Polos 22 mm



**Gambar 4.12 Detail Penampang Profil Baja Untuk Wind Brace**

Profil Baja yang digunakan untuk wind brace pada struktur gedung olahraga Unimuda Sorong adalah Baja Tulangan Polos dengan diameter 22 mm seperti yang terlihat pada gambar 4.12.

#### 4.3.2 Spesifikasi material

Berikut merupakan spesifikasi material dari bahan baja yang digunakan pada struktur gedung olahraga Unimuda Sorong.

Baja Profil (SS 400)

- Tegangan leleh minimum,  $f_y$  : 245 N/mm<sup>2</sup>
- Tegangan tarik minimum,  $f_u$  : 400 N/mm<sup>2</sup>
- Berat Jenis,  $B_j$  : 7850 kg/m<sup>3</sup>
- Modulus Elastisitas,  $E$  : 200000 Mpa

Baja Tulangan Polos (BJTP 280)

- Tegangan leleh minimum,  $f_y$  : 280 N/mm<sup>2</sup>
- Tegangan tarik minimum,  $f_u$  : 350 N/mm<sup>2</sup>
- Berat Jenis,  $B_j$  : 7850 kg/m<sup>3</sup>
- Modulus Elastisitas,  $E$  : 200000 Mpa

#### 4.4 Pembebanan Struktur

Penting untuk memahami bahwa setiap struktur bangunan harus dirancang untuk dapat menahan berbagai jenis beban yang bekerja selama masa pakainya. Analisis beban bertujuan untuk memastikan bahwa struktur mampu menahan gaya-gaya tersebut tanpa mengalami kerusakan atau kegagalan, sehingga keselamatan penghuni dan fungsi bangunan tetap terjaga. Dengan demikian, proses perhitungan dan evaluasi beban merupakan tahap krusial dalam perancangan struktur yang harus dilakukan secara cermat dan sesuai standar teknis yang berlaku. Berikut analisis beban pada struktur bangunan gedung olahraga Unimuda Sorong yang meliputi beban hidup, beban mati, beban hujan, beban angin, beban gempa, dan kombinasi beban.

##### 4.4.1 Analisis Beban Hidup (LL)

Beban Hidup atap (Lr)

Semua permukaan atap dengan beban pekerja pemeliharaan diambil sebesar 1,33 kN (300 lb) berdasarkan tabel Tabel 4.3-1 - Beban hidup terdistribusi merata minimum, Lo dan beban hidup terpusat minimum pada SNI 1727:2020.

##### 4.4.2 Analisis Beban Mati (DL)

Beban Mati Tambahan (SIDL)

Pembebanan penutup atap

$$\text{Jarak rafter} = 6,25 \text{ m}$$

$$\text{Jarak antar gording} = \text{Panjang rafter} / \text{Jumlah gording}$$

$$\begin{aligned}
 &= 12,2 / 11 \\
 &= 1,11 \text{ m} \\
 \text{Luas area beban} &= \text{Jarak rafter x Jarak antar gording} \\
 &= 6,25 \times 1,11 \\
 &= 6,93 \text{ m}^2 \\
 \text{Berat penutup atap} &= 3,75 \text{ kg/m}^2 = 0,0375 \text{ kN/m}^2 \\
 \text{Beban atap} &= \text{Berat penutup atap x Luas area} \\
 &\quad \text{beban / Jarak rafter} \\
 &= 0,0375 \times 6,93 / 6,25 \\
 &= \mathbf{0,042 \text{ kN/m}}
 \end{aligned}$$

#### 4.4.3 Analisis Beban Hujan (R)

Analisa beban hujan mengacu pada Pedoman Perencanaan Pembebanan Untuk Rumah dan Gedung (PPURG) 1987 untuk beban hujan terhadap atap miring sebagai berikut.

Diketahui:

$$\begin{aligned}
 \text{Jarak antar kuda-kuda} &= 6,25 \text{ m} \\
 \text{Jarak antar gording} &= 1,11 \text{ m} \\
 \text{Sudut kemiringan atap } (\alpha) &= 16^\circ
 \end{aligned}$$

Maka beban hujan,

$$\begin{aligned}
 R &= 40 - 0,8 \times \alpha \\
 &= 40 - 0,8 \times 16^\circ \\
 &= 27,2 \text{ Kg/m}^2
 \end{aligned}$$

Beban hujan tidak perlu diambil lebih besar dari 20 Kg/m<sup>2</sup> jika tidak menyebabkan genangan yang signifikan pada permukaan atap.

$$R_{\max} = 20 \text{ Kg/m}^2$$

Maka beban hujan merata pada gording adalah sebagai berikut,

$$\begin{aligned} q_R &= R_{\max} \times \text{Jarak antar gording} \\ &= 20 \times 1,11 \\ &= 22,182 \text{ Kg/m} \\ &= \mathbf{0,218 \text{ kN/m}} \end{aligned}$$

#### 4.4.4 Analisis Beban Angin (W)

Analisis struktur terhadap beban angin mengacu pada standar SNI 1727:2020, tentang beban desain minimum dan kriteria terkait untuk bangunan gedung serta struktur lainnya. Bangunan gedung dan struktur lainnya, termasuk Sistem Penahan Gaya Angin Utama (SPGAU) serta seluruh Komponen dan Klading (K&K) gedung, harus dirancang dan dibangun agar mampu menahan beban angin sesuai dengan ketentuan dalam Pasal 26 sampai Pasal 31. Pasal ini menjelaskan parameter angin dasar yang digunakan bersama dengan ketentuan lain dalam standar tersebut. Langkah-langkah yang dilakukan untuk menentukan parameter beban angin yang diperlukan adalah sebagai berikut.

##### a) **Beban Angin Minimum ( $W_{\min}$ ), Beban Angin Rencana ( $W_r$ ), & Kecepatan Angin Rencana (V)**

Berdasarkan SNI 1727:2020 pasal 28.3.4, beban angin yang digunakan dalam desain SPGAU untuk bangunan gedung tertutup atau setengah tertutup tidak boleh kurang dari 16 lb/ft<sup>2</sup> (0,77 kN/m<sup>2</sup>) dikalikan dengan luas dinding bangunan, serta 8 lb/ft<sup>2</sup> (0,38 kN/m<sup>2</sup>) dikalikan dengan luas atap bangunan yang diukur sebagai luas

proyeksi ke bidang vertikal yang tegak lurus terhadap arah angin yang diasumsikan..

$$\begin{aligned}
 \text{Beban Angin Minimum, } W_{\min} &= 0,77 \text{ kN/m}^2 \\
 \text{Beban Angin Rencana, } W_r &= 0,8 \text{ kN/m}^2 \\
 &= 81,58 \text{ Kg/ m}^2 \\
 \text{Kecepatan Angin Rencana, } V &= \sqrt{16 \cdot W_r} \\
 &= \sqrt{16 \cdot 81,58} \\
 &= 36,13 \text{ m/detik} \\
 &= 80,82 \text{ mph}
 \end{aligned}$$

#### b) Kategori Kekasaran Permukaan & Kategori Eksposur

Mengacu pada SNI 1727:2020 pasal 26.7.2, Kekasaran permukaan tanah dalam setiap sektor  $45^\circ$  harus ditentukan untuk suatu jarak lawan angin dari situs sebagaimana ditentukan dalam pasal 26.7.3 dari kategori yang didefinisikan dalam teks berikut, untuk tujuan menetapkan suatu kategori eksposur seperti yang didefinisikan dalam pasal 26.7.3.

**Kekasaran permukaan B:** Daerah perkotaan dan pinggiran kota, daerah berhutan, atau daerah lain dengan penghalang berjarak dekat seukuran tempat tinggal keluarga-tunggal atau lebih besar dalam jumlah banyak.

**Eksposur B:** Untuk bangunan gedung atau struktur lain dengan tinggi atap rata-rata kurang dari atau sama dengan 30 ft (9,1m), Eksposur B berlaku bilamana kekasaran permukaan tanah,

sebagaimana ditentukan oleh Kekerasan Permukaan B, berlaku di arah melawan angin untuk jarak yang lebih besar dari 1.500 ft (475 m). Untuk bangunan gedung atau struktur lain dengan tinggi atap rata-rata lebih besar dari 30 ft (9,1 m), Eksposur B berlaku bilamana Kekasaran Permukaan B berada dalam arah melawan angin untuk jarak lebih besar dari 2.600 ft (792 m) atau 20 kali tinggi bangunan atau struktur, pilih yang terbesar.

**c) Faktor Topografi ( $K_{zt}$ ), Faktor Efek Hembusan Angin, & Faktor Arah Angin ( $K_d$ )**

Mengacu pada SNI 1727:2020 pasal 26.8.2, faktor peningkatan kecepatan angin harus dimasukkan dalam perhitungan beban angin desain dengan menggunakan faktor  $K_{zt}$ .

$$K_{zt} = (1 + K_1K_2K_3)^2$$

Dengan  $K_1$ ,  $K_2$ , dan  $K_3$  diberikan dalam Gambar 26.8-1 pada SNI 1727:2020. Jika kondisi situs dan lokasi bangunan gedung dan struktur lain tidak memenuhi semua kondisi yang disyaratkan dalam pasal 26.8.1, maka  **$K_{zt} = 1,0$** .

Selanjutnya adalah menentukan faktor efek hembusan angin yang dapat dilihat pada pasal 26.11.1 dalam SNI 1727:2020, dimana faktor efek hembusan angin untuk satu gedung dan struktur lain yang kaku boleh diambil sebesar **0,85**.

Kemudian untuk menentukan nilai Faktor Arah Angin ( $K_d$ ) dapat dilihat pada tabel berikut ini.

Tabel 4.1 Faktor Arah Angin,  $K_d$ 

Tipe Struktur	Faktor Arah Angin, $K_d$
<b>Bangunan Gedung</b>	
Sistem Penahan Gaya Angin Utama (SPGAU)	0,85
Komponen dan Klading (K&K)	0,85
<b>Atap lengkung</b>	0,85
<b>Kubah berbentuk bundar</b>	1,0
<b>Cerobong, tangki dan struktur serupa</b>	
Persegi	0,90
Segi enam	0,95
Segi delapan	1,0
Bundar	1,0
<b>Dinding solid yang berdiri bebas, peralatan bagian atap, dan panel petunjuk solid yang berdiri bebas serta panel petunjuk terikat</b>	0,85
<b>Panel petunjuk terbuka dan rangka terbuka bidang tunggal</b>	0,85
<b>Rangka batang menara</b>	
Segitiga, persegi, atau persegi panjang	0,85
Semua penampang lainnya	0,95

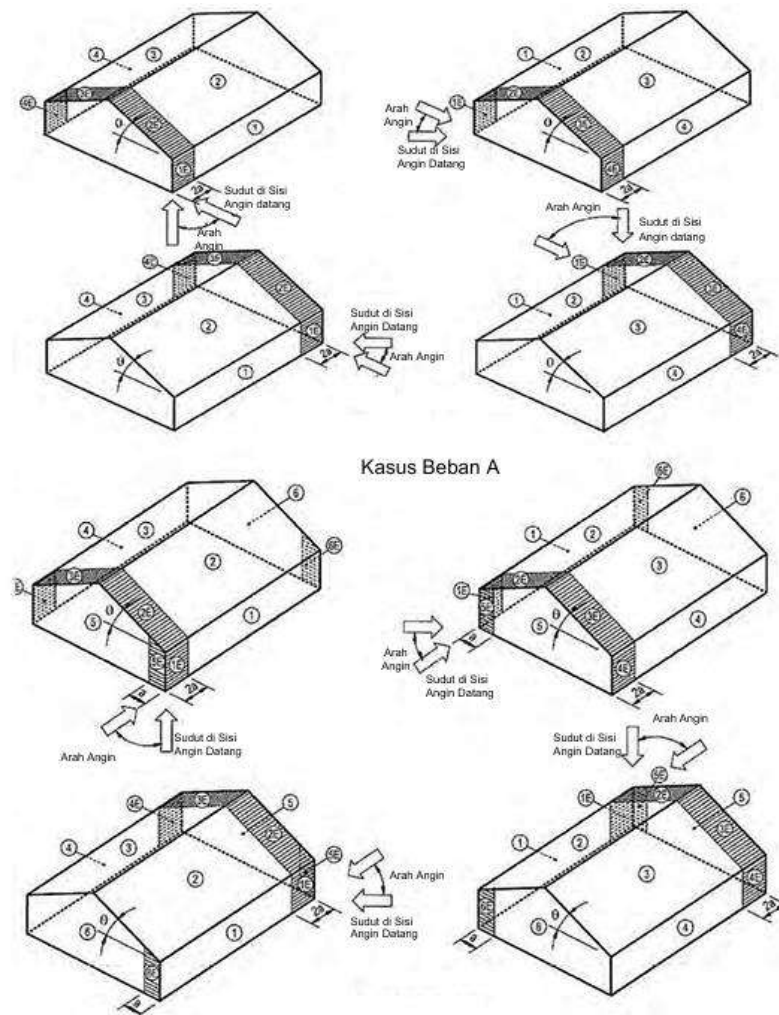
Sumber: SNI 1727:2020

Dari tabel diatas didapatkan nilai Faktor Arah Angin,  $K_d = 0,85$ .

Nilai dari paramater-parameter tersebut kemudian akan diinput kedalam program SAP2000 v.22 untuk di analisis lebih lanjut.

Untuk beban angin yang akan diinput dalam program SAP2000, mengacu pada SNI 1727:2020 pasal 28.3.1, Tekanan angin desain untuk

bangunan gedung bertingkat rendah dengan menggunakan kasus beban A dan kasus beban B.



**Gambar 4 13 Kasus Beban Dasar Diagram (Sumber: SNI 1727:2020)**

**Notasi:**

- **a** : 10 persen dari dimensi horizontal terkecil atau  $0,4h$ , dipilih yang terkecil, tetapi tidak kurang dari 4 % dari dimensi horizontal terkecil atau 3 ft (0,9 m). **PENGECEUALIAN** Untuk bangunan gedung dengan Kasus Beban B= 0 o sampai 7o dan dimensi horizontal terkecil lebih besar dari 300 ft (90 m), dimensi a harus dibatasi sampai maksimum  $0,8h$ .

- $h$  : Tinggi atap rata-rata, dalam feet (meter) kecuali untuk 100 digunakan tinggi bagian terbawah atap.
- $\theta$  : Sudut bidang atap terhadap horizontal, dalam satuan derajat.

Nilai tekanan angin desain untuk kasus beban A dapat dilihat pada tabel 4.2 dibawah ini.

**Tabel 4.2 Kasus Beban A**

Sudut Atap $\theta$ (derajat)	Permukaan Bangunan Gedung							
	1	2	3	4	1E	2E	3E	4E
0-5	0,40	-0,69	-0,29	-0,29	0,61	-1,07	-0,53	-0,43
20	0,53	-0,69	-0,48	-0,43	0,80	-1,07	-0,69	-0,64
30-45	0,56	0,21	-0,43	-0,37	0,69	0,27	-0,53	-0,48
90	0,56	0,56	-0,37	-0,37	0,69	0,69	-0,48	-0,48

Sumber: SNI 1727:2020

Nilai tekanan angin desain untuk kasus beban B dapat dilihat pada tabel 4.3 dibawah ini.

**Tabel 4.3 Kasus Beban B**

Sudut atap $\theta$	Permukaan Bangunan Gedung											
	1	2	3	4	5	6	1E	2E	3E	4E	5E	6E
0-90	-0,45	-0,69	-0,37	-0,45	0,40	-0,29	-0,48	-1,07	-0,53	-0,48	0,61	-0,43

Sumber: SNI 1727:2020

**Catatan:**

1. Tanda positif dan negatif menunjukkan tekanan yang bekerja mendekati dan menjauhi permukaan.
2. Jika nilai-nilai tersebut tidak terlihat, boleh menggunakan cara interpolasi linier.
3. Bangunan gedung harus dirancang untuk semua arah angin dengan menggunakan 8 pola beban yang ditunjukkan. Pola-pola beban

tersebut diterapkan pada setiap sudut bangunan gedung sebagai sudut acuan.

4. Tekanan dari luar dan dalam harus dievaluasi bersama-sama ketika diperlukan, agar bisa mengetahui beban yang memiliki pengaruh paling besar.
5. Dalam merancang bangunan gedung SPGAU, gaya geser horizontal total harus cukup besar, tidak boleh kurang dari nilai yang ditentukan, dengan mengabaikan beban angin pada atap.  
PENGECUALIAN: Aturan ini tidak berlaku untuk bangunan gedung yang menggunakan rangka momen untuk SPGAU.
6. Koefisien tekanan atap ( $GC_{pf}$ ), jika bernilai negatif pada Zona 2 dan 2E, harus diterapkan di Zona 2/2E pada jarak dari tepi atap sejauh 0,5 kali ukuran horizontal bangunan gedung yang sejajar dengan arah SPGAU yang sedang dirancang, atau 2,5 kali tinggi bagian bawah atap di dinding sisi angin datang, pilih yang lebih kecil; bagian Zona 2/2E yang tersisa sampai garis bubungan harus menggunakan koefisien ( $GC_{pf}$ ) untuk Zona 3/3E.

#### **4.4.5 Analisis Beban Gempa (E)**

Analisis struktur terhadap beban gempa mengacu pada standar SNI 1726:2019 yang berisi cara merencanakan ketahanan gempa untuk bangunan gedung dan non gedung. Analisis tersebut dilakukan dengan metode dinamik respon spektrum. Berikut langkah-langkah yang dilakukan.

**a) Kategori Risiko Bangunan Terhadap Beban Gempa**

Untuk menentukan kategori risiko bangunan terhadap beban gempa dapat dilihat pada tabel 4.4 berikut.

**Tabel 4.4 Kategori risiko bangunan gedung dan nongedung untuk beban gempa**

Jenis Pemanfaatan	Kategori Risiko
<p>Gedung dan nongedung yang memiliki risiko rendah terhadap jiwa manusia pada saat terjadi kegagalan, termasuk, tapi tidak dibatasi untuk, antara lain:</p> <ul style="list-style-type: none"> <li>- Fasilitas pertanian, perkebunan, perternakan, dan perikanan</li> <li>- Fasilitas sementara</li> <li>- Gudang penyimpanan</li> <li>- Rumah jaga dan struktur kecil lainnya</li> </ul>	I
<p>Semua gedung dan struktur lain, kecuali yang termasuk dalam kategori risiko I,III,IV, termasuk, tapi tidak dibatasi untuk:</p> <ul style="list-style-type: none"> <li>- Perumahan</li> <li>- Rumah toko dan rumah kantor</li> <li>- Pasar</li> <li>- Gedung perkantoran</li> <li>- Gedung apartemen/ rumah susun</li> <li>- Pusat perbelanjaan/ mall</li> <li>- Bangunan industri</li> <li>- Fasilitas manufaktur</li> <li>- Pabrik</li> </ul>	II

<p>Gedung dan nongedung yang memiliki risiko tinggi terhadap jiwa manusia pada saat terjadi kegagalan, termasuk, tapi tidak dibatasi untuk:</p> <ul style="list-style-type: none"> <li>- Bioskop</li> <li>- Gedung pertemuan</li> <li>- Stadion</li> <li>- Fasilitas kesehatan yang tidak memiliki unit bedah dan unit gawat darurat</li> <li>- Fasilitas penitipan anak</li> <li>- Penjara</li> <li>- Bangunan untuk orang jompo</li> </ul>	
<p>Gedung dan nongedung, tidak termasuk kedalam kategori risiko IV, yang memiliki potensi untuk menyebabkan dampak ekonomi yang besar dan/atau gangguan massal terhadap kehidupan masyarakat sehari-hari bila terjadi kegagalan, termasuk, tapi tidak dibatasi untuk:</p> <ul style="list-style-type: none"> <li>- Pusat pembangkit listrik biasa</li> <li>- Fasilitas penanganan air</li> <li>- Fasilitas penanganan limbah</li> <li>- Pusat telekomunikasi</li> </ul>	III
<p>Gedung dan nongedung yang tidak termasuk dalam kategori risiko IV, (termasuk, tetapi tidak dibatasi untuk fasilitas manufaktur, proses, penanganan, penyimpanan, penggunaan atau tempat pembuangan bahan bakar berbahaya, bahan kimia berbahaya, limbah berbahaya, atau bahan yang mudah meledak) yang mengandung bahan beracun atau peledak di mana jumlah kandungan bahannya melebihi nilai batas yang disyaratkan oleh</p>	

<p>instansi yang berwenang dan cukup menimbulkan bahaya bagi masyarakat jika terjadi kebocoran.</p>	
<p>Gedung dan nongedung yang dikategorikan sebagai fasilitas yang penting, termasuk, tetapi tidak dibatasi untuk:</p> <ul style="list-style-type: none"> <li>- Bangunan-bangunan monumental</li> <li>- Gedung sekolah dan fasilitas pendidikan</li> <li>- Rumah ibadah</li> <li>- Rumah sakit dan fasilitas kesehatan lainnya yang memiliki fasilitas bedah dan unit gawat darurat</li> <li>- Fasilitas pemadam kebakaran, ambulans, dan kantor polisi, serta garasi kendaraan darurat</li> <li>- Tempat perlindungan terhadap gempa bumi, tsunami, angin badai, dan tempat perlindungan darurat lainnya</li> <li>- Fasilitas kesiapan darurat, komunikasi, pusat operasi dan fasilitas lainnya untuk tanggap darurat</li> <li>- Pusat pembangkit energi dan fasilitas publik lainnya yang dibutuhkan pada saat keadaan darurat</li> <li>- Struktur tambahan (termasuk menara telekomunikasi, tangki penyimpanan bahan bakar, menara pendingin, struktur stasiun listrik, tangki air pemadam kebakaran atau struktur rumah atau struktur pendukung air atau material atau peralatan pemadam kebakaran) yang disyaratkan untuk beroperasi pada saat keadaan darurat</li> </ul> <p>Gedung dan nongedung yang dibutuhkan untuk mempertahankan fungsi struktur bangunan lain yang masuk ke dalam kategori risiko IV.</p>	<p>IV</p>

Sumber: SNI 1726:2019

Dari tabel diatas maka diperoleh kategori risiko III untuk bangunan gedung olahraga Unimuda Sorong.

**b) Faktor Keutamaan Gempa ( $I_e$ )**

Setelah mengetahui kategori risiko bangunan terhadap beban gempa selanjutnya ditentukan faktor keutamaan gempa yang dapat dilihat pada tabel 4.5 berikut ini.

**Tabel 4.5 Faktor Keutamaan Gempa**

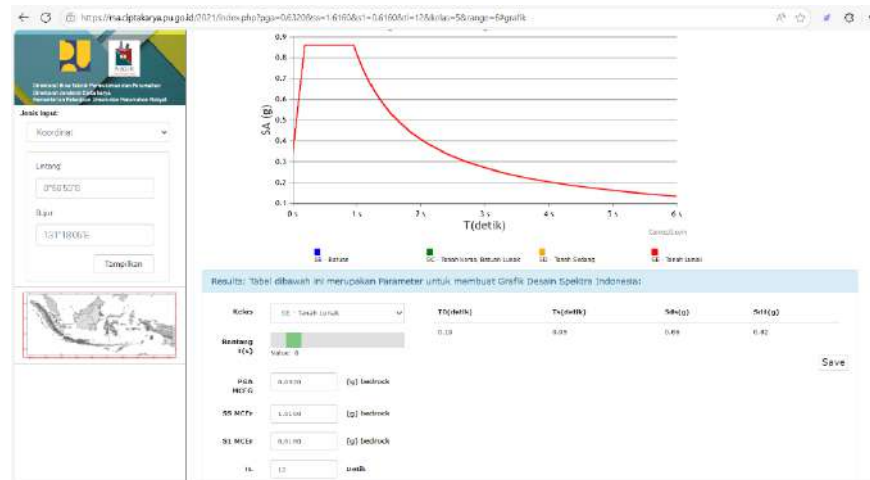
Kategori Risiko	Faktor Keutamaan Gempa, $I_e$
I atau II	1,0
III	1,25
IV	1,50

*Sumber: SNI 1726:2019*

Dari tabel diatas maka diperoleh faktor keutamaan gempa,  $I_e = 1,25$ .

**c) Parameter Percepatan Respon Spektra**

Penentuan nilai-nilai parameter percepatan respon spektra dilakukan dengan menggunakan bantuan aplikasi online dan dekstop RSA Ciptakarya yang dikembangkan oleh Direktorat Jenderal Cipta Karya, Kementerian PUPR Indonesia, untuk menentukan nilai parameter respons spektral percepatan gempa MCER terpetakan untuk periode pendek ( $S_s$ ), parameter respons spektral percepatan gempa MCER terpetakan untuk periode 1,0 detik ( $S_1$ ), dan Periode Transisi Panjang (*Long-period Transition Period*) ( $T_L$ ).



Gambar 4.14 Penentuan nilai  $S_I$ ,  $S_s$ , dan  $T_L$  (Sumber: RSA Ciptakarya 2021)

Setelah didapatkan nilai  $S_I$  dan  $S_s$ , selanjutnya adalah menentukan nilai Koefisien Situs  $F_a$  berdasarkan nilai  $S_s$  yang dapat dilihat pada tabel 4.6 dibawah ini.

Tabel 4.6 Koefisien Situs,  $F_a$

Kelas Situs	Parameter respons spektral percepatan gempa maksimum yang dipertimbangkan risiko-tertarget (MCEER) terpetakan pada periode pendek, $T = 0,2$ detik, $S_s$					
	$S_s \leq 0,25$	$S_s = 0,5$	$S_s = 0,75$	$S_s = 1,0$	$S_s = 1,25$	$S_s \geq 1,5$
SA	0,8	0,8	0,8	0,8	0,8	0,8
SB	0,9	0,9	0,9	0,9	0,9	0,9
SC	1,3	1,3	1,2	1,2	1,2	1,2
SD	1,6	1,4	1,2	1,1	1,0	1,0
SE	2,4	1,7	1,3	1,1	0,9	0,8
SF				SS		

Sumber: SNI 1726:2019

Selanjutnya adalah menentukan nilai Koefisien Situs  $F_v$  berdasarkan nilai  $S_I$  yang dapat dilihat pada tabel 4.7 dibawah ini.

Tabel 4.7 Koefisien Situs,  $F_v$ 

Kelas Situs	Parameter respons spektral percepatan gempa maksimum yang dipertimbangkan risiko-tertarget (MCER) terpetakan pada periode 1 detik, $S_I$					
	$S_I \leq 0,1$	$S_I = 0,2$	$S_I = 0,3$	$S_I = 0,4$	$S_I = 0,5$	$S_I \geq 0,6$
SA	0,8	0,8	0,8	0,8	0,8	0,8
SB	0,8	0,8	0,8	0,8	0,8	0,8
SC	1,5	1,5	1,5	1,5	1,5	1,4
SD	2,4	2,2	2,0	1,9	1,8	1,7
SE	4,2	3,3	2,8	2,4	2,2	2,0
SF	SS					

Sumber: SNI 1726:2019

Berdasarkan penentuan parameter-parameter diatas maka didapatkan nilai-nilai berikut ini:

- Kategori Risiko Bangunan Terhadap Beban Gempa

### Kategori Risiko III

- Faktor Keutamaan Gempa ( $I_e$ )

$$I_e = 1,25$$

- Parameter respons spektral percepatan gempa MCER terpetakan untuk periode pendek ( $S_s$ )

$$S_s = 1,6160 \text{ g}$$

- parameter respons spektral percepatan gempa MCER terpetakan untuk periode 1 detik ( $S_I$ )

$$S_I = 0,6160 \text{ g}$$

- Periode Transisi Panjang (*Long-period Transition Period*) ( $T_L$ )

$$T_L = 12 \text{ detik}$$

- Faktor Amplifikasi terkait percepatan pada Periode pendek ( $F_a$ )

$$F_a = 0,8$$

- Faktor Amplifikasi terkait percepatan pada Periode 1 detik ( $F_v$ )

$$F_v = 2,0$$

- Parameter respon spektral percepatan desain periode pendek

$$(S_{ds})$$

$$S_{ds} = \frac{2}{3} \times F_a \times S_s = 0,86 \text{ g}$$

- Parameter respon spektral percepatan desain periode 1 detik

$$(S_{d1})$$

$$S_{d1} = \frac{2}{3} \times F_v \times S_1 = 0,82 \text{ g}$$

**d) Koefisien Modifikasi Respons ( $R$ ), Faktor Kuat Lebih Sistem ( $\Omega_0$ ), & Faktor Pembesaran Defleksi ( $C_d$ )**

Sebelum memutuskan nilai  $R$ ,  $\Omega_0$ , dan  $C_d$ , diperlukan informasi tentang kategori desain seismik dan jenis sistem penahan gempa terlebih dahulu. Untuk menentukan kategori desain seismik pada bangunan, bisa dilakukan dengan melihat nilai parameter respon spektral percepatan desain untuk periode pendek ( $S_{ds}$ ) dan parameter respon spektral percepatan desain untuk periode 1 detik ( $S_{d1}$ ), seperti yang tercantum dalam tabel 4.8 dan 4.9 di bawah ini.

**Tabel 4.8 Kategori Desain Seismik Berdasarkan Parameter Respons Percepatan Pada Periode Pendek**

Nilai $S_{ds}$	Kategori Risiko	
	I atau II atau III	IV
$S_{ds} < 0,167$	A	A
$0,167 \leq S_{ds} < 0,33$	B	C
$0,33 \leq S_{ds} < 0,50$	C	D
$0,50 \leq S_{ds}$	D	D

Sumber: SNI 1726:2019

**Tabel 4.9 Kategori Desain Seismik Berdasarkan Parameter Respons Percepatan Pada Periode 1 Detik**

Nilai $S_d1$	Kategori Risiko	
	I atau II atau III	IV
$S_d1 < 0,067$	A	A
$0,067 \leq S_d1 < 0,133$	B	C
$0,133 \leq S_d1 < 0,20$	C	D
$0,20 \leq S_d1$	D	D

Sumber: SNI 1726:2019

Dari tabel 4.8 dan tabel 4.9 diperoleh kategori desain seismik D. Selanjutnya menentukan jenis sistem penahan gempa yang dapat dilihat pada tabel 4.10 berikut.

**Tabel 4.10 Kategori Desain Seismik dan Risiko Kegempaan**

Tinggi Risiko Kegempaan		
Rendah	Menengah	Tinggi
KDS : A, B	KDS : C	KDS : D, E, F
SRPMB/M/K	SRPMM/K	SRPMK

Sumber: SNI 1726:2019

Keterangan:

- SRPMB: Sistem Rangka Pemikul Momen Biasa
- SRPMM: Sistem Rangka Pemikul Momen Menengah
- SRPMK: Sistem Rangka Pemikul Momen Khusus

Selanjutnya menentukan nilai Koefisien Modifikasi Respons ( $R$ ), Faktor Kuat Lebih Sistem ( $\Omega_0$ ), & Faktor Pembesaran Defleksi ( $C_d$ ) yang dapat dilihat pada tabel 4.11 berikut ini.

**Tabel 4.11 Faktor  $R$ ,  $C_d$ , dan  $\Omega_0$  untuk Sistem Pemikul Gaya Seismik**

Sistem Pemikul Gaya Seismik	$R$	$\Omega_0$	$C_d$	Batasan Sistem Struktur & Batasan Tinggi Struktur, $h_n$ (m)				
				Kategori Desain Seismik				
				B	C	D	E	F

<b>C. Sistem rangka bangunan</b>								
1. Rangka baja pemikul momen khusus	8	3	5½	TB	TB	TB	TB	TB
2. Rangka batang baja pemikul momen khusus	7	3	5½	TB	TB	48	30	TI
3. Rangka baja pemikul momen menengah	4½	3	4	TB	TB	10	TI	TI
4. Rangka baja pemikul momen biasa	3½	3	3	TB	TB	TI	TI	TI
5. Rangka beton bertulang pemikul momen khusus	8	3	5½	TB	TB	TB	TB	TB
6. Rangka beton bertulang pemikul momen menengah	5	3	4½	TB	TB	TI	TI	TI
7. Rangka beton bertulang pemikul momen biasa	3	3	2½	TB	TI	TI	TI	TI
8. Rangka baja dan beton komposit pemikul momen khusus	8	3	5½	TB	TB	TB	TB	TB
9. Rangka baja dan beton komposit pemikul momen menengah	5	3	4½	TB	TB	TI	TI	TI
10. Rangka baja dan beton komposit terkekang parsial pemikul momen	6	3	5½	48	48	30	TI	TI
11. Rangka baja dan beton komposit pemikul momen biasa	3	3	2½	TB	TI	TI	TI	TI
12. Rangka baja canai dingin pemikul momen khusus dengan pembautan	3½	3	3½	10	10	10	10	10

Sumber: SNI 1726:2019

Keterangan:

- TB: Tidak Dibatasi
- TI: Tidak Diizinkan

Dari tabel tersebut maka didapatkan Nilai Koefisien Modifikasi Respons ( $R$ ), Faktor Kuat Lebih Sistem ( $\Omega_0$ ), & Faktor Pembesaran Defleksi ( $Cd$ ) untuk arah x dan arah y.

$$R = 8$$

$$\Omega_0 = 3$$

$$Cd = 5,5$$

Kemudian didapatkan Scale Factor ( $SF$ ) sebagai berikut:

$SF = \text{Percepatan gravitasi (g)} \times \text{Faktor Keutamaan} : \text{Koefisien Modifikasi respon (R)}$

$$SF = 9,81 \times 1,5 : 8 = 1,84 \text{ (arah x dan arah y)}$$

Data-data tersebut selanjutnya akan diinput ke dalam program SAP2000 v.22 untuk dianalisis lebih lanjut.

#### 4.4.6 Kombinasi Beban Terfaktor (LRFD)

Berdasarkan SNI 1726:2019, Struktur atau komponen-elemen struktur, dan elemen-elemen fondasi harus didesain sedemikian rupa hingga kuat rencananya sama atau melebihi pengaruh beban-beban terfaktor dengan kombinasi dasar sebagai berikut.

1.  $1,4D$
2.  $1,2D + 1,6L + 0,5 (Lr \text{ atau } R)$
3.  $1,2D + 1,6 (Lr \text{ atau } R) + (L \text{ atau } 0,5W)$
4.  $1,2D + 1,0W + L + 0,5 (Lr \text{ atau } R)$
5.  $0,9D + 1,0W$
6.  $1,2D + Ev + Eh + L$
7.  $0,9D - Ev + Eh$

Keterangan:

$D$  = Beban Mati

$L$  = Beban Hidup

$Lr$  = Beban Hidup Atap

$R$  = Beban Hujan

$W$  = Beban Angin

$E$  = Beban Gempa

Dengan pengecualian yaitu:

- a) Faktor beban untuk  $L$  pada kombinasi 3 dan 4 diizinkan diambil sama dengan 0,5 untuk semua fungsi ruang apabila beban hidup desain tak tereduksi ( $L_0$ ) dalam SNI 1727, lebih kecil atau sama dengan 4,78 kN/m<sup>2</sup>, kecuali garasi atau ruang pertemuan publik.
- b) Bila beban fluida  $F$  bekerja pada struktur, maka keberadaannya harus diperhitungkan dengan nilai faktor beban yang sama dengan faktor beban untuk beban mati  $D$  pada kombinasi 1 hingga 4.
- c) Bila beban tanah  $H$  bekerja pada struktur, maka keberadaannya harus diperhitungkan sebagai berikut:
  - Bila adanya beban  $H$  memperkuat pengaruh variabel beban utama, maka perhitungkan pengaruh  $H$  dengan faktor beban = 1,6;
  - Bila adanya beban  $H$  memberi perlawanan terhadap pengaruh variabel beban utama, maka perhitungkan pengaruh  $H$  dengan faktor beban = 0,9 (jika bebannya bersifat permanen) .
- d) Faktor beban untuk  $L$  pada kombinasi 6 diizinkan diambil sama dengan 0,5 untuk semua fungsi ruang apabila  $L_0$  dalam SNI 1727, lebih kecil atau sama dengan 4,78 kN/m<sup>2</sup>.

Untuk detail kombinasi beban yang diinput kedalam aplikasi SAP2000 dapat dilihat pada tabel berikut.

**Tabel 4.12 Kombinasi Beban Terfaktor**

<b>ComboName</b>	<b>CaseName</b>	<b>ScaleFactor</b>
LRFD 1-1	DL	1,4
LRFD 1-1	SIDL	1,4
LRFD 2-1	DL	1,2
LRFD 2-1	SIDL	1,2
LRFD 2-1	LL	1,6
LRFD 2-1	Lr	0,5
LRFD 2-2	DL	1,2
LRFD 2-2	SIDL	1,2
LRFD 2-2	LL	1,6
LRFD 2-2	R	0,5
LRFD 3-1	DL	1,2
LRFD 3-1	SIDL	1,2
LRFD 3-1	LL	1
LRFD 3-1	Lr	1,6
LRFD 3-2	DL	1,2
LRFD 3-2	SIDL	1,2
LRFD 3-2	Lr	1,6
LRFD 3-2	Wx	0,5
LRFD 3-3	DL	1,2
LRFD 3-3	SIDL	1,2
LRFD 3-3	Lr	1,6
LRFD 3-3	Wy	0,5
LRFD 3-4	DL	1,2
LRFD 3-4	SIDL	1,2
LRFD 3-4	Lr	1,6
LRFD 3-4	Wx	0,375
LRFD 3-4	Wy	0,375
LRFD 3-5	DL	1,2
LRFD 3-5	SIDL	1,2
LRFD 3-5	LL	1
LRFD 3-5	R	1,6
LRFD 3-6	DL	1,2
LRFD 3-6	SIDL	1,2
LRFD 3-6	R	1,6
LRFD 3-6	Wx	0,5
LRFD 3-7	DL	1,2
LRFD 3-7	SIDL	1,2
LRFD 3-7	R	1,6
LRFD 3-7	Wy	0,5
LRFD 3-8	DL	1,2

LRFD 3-8	SIDL	1,2
LRFD 3-8	R	1,6
LRFD 3-8	Wx	0,375
LRFD 3-8	Wy	0,375
LRFD 4-1	DL	1,2
LRFD 4-1	SIDL	1,2
LRFD 4-1	LL	1
LRFD 4-1	Lr	0,5
LRFD 4-1	Wx	1
LRFD 4-2	DL	1,2
LRFD 4-2	SIDL	1,2
LRFD 4-2	LL	1
LRFD 4-2	Lr	0,5
LRFD 4-2	Wy	1
LRFD 4-3	DL	1,2
LRFD 4-3	SIDL	1,2
LRFD 4-3	LL	1
LRFD 4-3	Lr	0,5
LRFD 4-3	Wx	0,75
LRFD 4-3	Wy	0,75
LRFD 4-4	DL	1,2
LRFD 4-4	SIDL	1,2
LRFD 4-4	LL	1
LRFD 4-4	R	0,5
LRFD 4-4	Wx	1
LRFD 4-5	DL	1,2
LRFD 4-5	SIDL	1,2
LRFD 4-5	LL	1
LRFD 4-5	R	0,5
LRFD 4-5	Wy	1
LRFD 4-6	DL	1,2
LRFD 4-6	SIDL	1,2
LRFD 4-6	LL	1
LRFD 4-6	R	0,5
LRFD 4-6	Wx	0,75
LRFD 4-6	Wy	0,75
LRFD 5-1	DL	0,9
LRFD 5-1	SIDL	0,9
LRFD 5-1	Wx	1
LRFD 5-2	DL	0,9
LRFD 5-2	SIDL	0,9
LRFD 5-2	Wy	1
LRFD 5-3	DL	0,9
LRFD 5-3	SIDL	0,9
LRFD 5-3	Wx	0,75
LRFD 5-3	Wy	0,75
LRFD 6-1	DL	1,3724

LRFD 6-1	SIDL	1,3724
LRFD 6-1	LL	1
LRFD 6-1	Ex	1,3
LRFD 6-1	Ey	0,39
LRFD 6-2	DL	1,3724
LRFD 6-2	SIDL	1,3724
LRFD 6-2	LL	1
LRFD 6-2	Ex	1,3
LRFD 6-2	Ey	-0,39
LRFD 6-3	DL	1,3724
LRFD 6-3	SIDL	1,3724
LRFD 6-3	LL	1
LRFD 6-3	Ex	-1,3
LRFD 6-3	Ey	0,39
LRFD 6-4	DL	1,3724
LRFD 6-4	SIDL	1,3724
LRFD 6-4	LL	1
LRFD 6-4	Ex	-1,3
LRFD 6-4	Ey	-0,39
LRFD 6-5	DL	1,3724
LRFD 6-5	SIDL	1,3724
LRFD 6-5	LL	1
LRFD 6-5	Ex	0,39
LRFD 6-5	Ey	1,3
LRFD 6-6	DL	1,3724
LRFD 6-6	SIDL	1,3724
LRFD 6-6	LL	1
LRFD 6-6	Ex	-0,39
LRFD 6-6	Ey	1,3
LRFD 6-7	DL	1,3724
LRFD 6-7	SIDL	1,3724
LRFD 6-7	LL	1
LRFD 6-7	Ex	0,39
LRFD 6-7	Ey	-1,3
LRFD 6-8	DL	1,3724
LRFD 6-8	SIDL	1,3724
LRFD 6-8	LL	1
LRFD 6-8	Ex	-0,39
LRFD 6-8	Ey	-1,3
LRFD 7-1	DL	0,7276
LRFD 7-1	SIDL	0,7276
LRFD 7-1	Ex	1,3
LRFD 7-1	Ey	0,39
LRFD 7-2	DL	0,7276
LRFD 7-2	SIDL	0,7276
LRFD 7-2	Ex	1,3
LRFD 7-2	Ey	-0,39

LRFD 7-3	DL	0,7276
LRFD 7-3	SIDL	0,7276
LRFD 7-3	Ex	-1,3
LRFD 7-3	Ey	0,39
LRFD 7-4	DL	0,7276
LRFD 7-4	SIDL	0,7276
LRFD 7-4	Ex	-1,3
LRFD 7-4	Ey	-0,39
LRFD 7-5	DL	0,7276
LRFD 7-5	SIDL	0,7276
LRFD 7-5	Ex	0,39
LRFD 7-5	Ey	1,3
LRFD 7-6	DL	0,7276
LRFD 7-6	SIDL	0,7276
LRFD 7-6	Ex	-0,39
LRFD 7-6	Ey	1,3
LRFD 7-7	DL	0,7276
LRFD 7-7	SIDL	0,7276
LRFD 7-7	Ex	0,39
LRFD 7-7	Ey	-1,3
LRFD 7-8	DL	0,7276
LRFD 7-8	SIDL	0,7276
LRFD 7-8	Ex	-0,39
LRFD 7-8	Ey	-1,3

Berikut adalah tabel rangkuman dari hasil analisis beban yang bekerja pada struktur yang akan diinput pada aplikasi SAP2000.

**Tabel 4.13 Rangkuman Hasil Analisis Beban**

Jenis Beban	Hasil Perhitungan
<b>Beban Hidup (LL)</b> - Beban Hidup Atap (Lr)	1,33 kN
<b>Beban Mati (DL)</b> - Beban Mati Tambahan (SIDL)	0,042 kN/m
<b>Beban Hujan (R)</b>	0,218 kN/m

<b>Beban Angin (W)</b>	
- Beban Angin Minimum, $W_{min}$	0,77 kN/m <sup>2</sup>
- Beban Angin Rencana, $W_r$	0,8 kN/m <sup>2</sup>
- Kecepatan Angin Rencana, $V$	80,82 mph
- Kekasaran Permukaan	B
- Kategori Eksposur	B
- Faktor Topografi, $K_{zt}$	1,0
- Faktor Efek Hembusan Angin	0,85
- Faktor Arah Angin, $K_d$	0,85
- Nilai tekanan angin desain	
Permukaan Bangunan Gedung, 1	0,53
Permukaan Bangunan Gedung, 2	-0,69
Permukaan Bangunan Gedung, 3	-0,48
Permukaan Bangunan Gedung, 4	-0,43
Permukaan Bangunan Gedung, 5	0,40
Permukaan Bangunan Gedung, 6	-0,29
<b>Beban Gempa (E)</b>	
- Kategori Risiko Bangunan	III
- Faktor Keutamaan Gempa, $I_e$	1,25
- Parameter respons spektral percepatan gempa MCER terpetakan untuk periode pendek, $S_s$	1,6160 g
- Parameter respons spektral percepatan gempa MCER terpetakan untuk periode 1 detik, $S_l$	0,6160 g
- Faktor Amplifikasi terkait percepatan pada Periode pendek, $F_a$	0,8
- Faktor Amplifikasi terkait percepatan pada Periode 1 detik, $F_v$	2,0

- Parameter respon spektral percepatan desain periode pendek, $Sds$	0,86 g
- Parameter respon spektral percepatan desain periode pendek, $SdI$	0,52 g
- Periode Transisi Panjang (Long-period Transition Period), $TL$	12 Detik
- Kategori Desain Seismik	D
- Sistem Penahan Gempa	Sistem Rangka Pemikul Momen Khusus (SRPMK)
- Koefisien Modifikasi Respons, $R$ (Arah x & Arah y)	8
- Faktor Kuat Lebih Sistem, $\Omega_0$ (Arah x & Arah y)	3
- Faktor Pembesaran Defleksi, $Cd$ (Arah x & Arah y)	5,5
- Scale Factor, $SF$ (Arah x & Arah y)	1,84

#### 4.5 Input Pembebanan Pada Struktur

Setelah melakukan analisis beban dan telah didapatkan nilai dari parameter setiap beban dan kombinasi beban, selanjutnya adalah melakukan penginputan pembebanan pada struktur menggunakan aplikasi SAP2000. Proses input pembebanan ini merupakan tahap krusial dalam analisis struktur karena keakuratan input data akan menentukan validitas hasil analisis yang diperoleh. Pembebanan yang diinput meliputi beban gravitasi (beban mati, beban hidup, dan beban hujan), beban lateral (beban angin dan beban gempa), serta kombinasi pembebanan sesuai dengan ketentuan SNI 1726:2019.

#### 4.5.1 Input Beban Gravitasi

Input beban gravitasi pada struktur dilakukan dengan mendefinisikan jenis beban dan nilai beban yang bekerja pada setiap elemen struktur sesuai hasil analisis pembebanan pada sub bab 4.4.

a) Beban Hidup Atap (Lr)

Beban hidup atap diinput sebagai beban terpusat (point load) pada setiap joint elemen rafter dan gording dengan nilai 1,33 kN sesuai ketentuan SNI 1727:2020 untuk beban pekerja pemeliharaan pada permukaan atap. Input beban hidup atap dilakukan melalui menu Define > Load Patterns dengan tipe beban "Live" dan self weight multiplier = 0.

b) Beban Mati Tambahan (SIDL)

Beban mati tambahan berupa beban penutup atap diinput sebagai beban terdistribusi merata (uniform load) pada elemen gording dengan nilai 0,042 kN/m dalam arah gravitasi. Input dilakukan dengan memilih elemen gording kemudian mengaplikasikan distributed load melalui menu Assign > Frame Loads > Distributed dengan direction "Gravity" dan load pattern "SIDL".

c) Beban Hujan (R)

Beban hujan diinput sebagai beban terdistribusi merata pada elemen gording dengan nilai 0,218 kN/m sesuai hasil perhitungan pada sub bab 4.4.3. Arah pembebanan ditetapkan dalam arah gravitasi dengan self weight multiplier = 0 untuk menghindari duplikasi berat sendiri struktur.

#### 4.5.2 Input Beban Lateral

Input beban lateral pada struktur dilakukan dengan mendefinisikan jenis beban lateral dan nilai beban lateral yang bekerja pada setiap elemen struktur sesuai hasil analisis pembebanan pada sub bab 4.4.

##### a) Beban Angin (W)

Input beban angin pada SAP2000 dilakukan dengan metode Wind Load Patterns menggunakan parameter yang telah dianalisis pada sub bab 4.4.4. Langkah-langkah input beban angin adalah sebagai berikut:

1. Mendefinisikan Wind Load Pattern melalui menu Define > Load Patterns > Add New Load Pattern dengan memilih tipe "Wind".
2. Memasukkan parameter beban angin yang telah didapat melalui menu Define > Load Patterns > Modify/Show Wind Load.
3. Mendefinisikan koefisien tekanan angin untuk kasus beban A dan B sesuai dengan Tabel 4.2 dan Tabel 4.3 pada sub bab 4.4.4.
4. Mengaplikasikan beban angin dalam dua arah ( $W_x$  dan  $W_y$ ) untuk mengevaluasi respons struktur terhadap beban angin dari berbagai arah.

##### b) Beban Gempa (E)

Input beban gempa dilakukan dengan metode analisis dinamik respons spektrum sesuai SNI 1726:2019. Prosedur input beban gempa adalah sebagai berikut:

1. Mendefinisikan fungsi respons spektrum melalui menu Define > Functions > Response Spectrum dengan memasukkan parameter beban gempa yang telah didapat.
2. Membuat kurva respons spektrum desain berdasarkan periode struktur (T) dengan nilai percepatan spektral ( $S_a$ ) sesuai ketentuan pasal 6 SNI 1726:2019.
3. Mendefinisikan Load Case untuk analisis respons spektrum melalui menu Define > Load Cases.
4. Mengatur jumlah mode shape yang ditinjau minimum 12 mode atau hingga participating mass ratio mencapai minimal 90% untuk setiap arah translasi.
5. Faktor keutamaan gempa ( $I_e$ ) = 1,25 dan koefisien modifikasi respons ( $R$ ) = 8 untuk sistem rangka pemikul momen khusus.

#### **4.5.3 Input Kombinasi Beban**

Kombinasi pembebanan diinput sesuai dengan ketentuan SNI 1726:2019 menggunakan metode Load and Resistance Factor Design (LRFD) sebagaimana telah dianalisis pada sub bab 4.4.6. Total terdapat 92 kombinasi beban yang didefinisikan dalam SAP2000 melalui menu Define > Load Combinations. Setelah semua kombinasi beban diinput, dilakukan verifikasi melalui menu Display > Show Load Assignments > Combination untuk memastikan semua faktor beban telah sesuai dengan

ketentuan, tidak ada duplikasi kombinasi beban, dan kombinasi beban telah mencakup kondisi pembebanan kritis.

Setelah semua data pembebanan dan kombinasi beban berhasil diinput ke dalam SAP2000, struktur siap untuk dianalisis guna memperoleh gaya-gaya dalam, deformasi, dan rasio kekuatan elemen struktur yang akan dibahas pada sub bab 4.6.

## **4.6 Hasil Analisis Struktur**

Analisis struktur dilakukan untuk mengevaluasi perilaku struktur terhadap berbagai kondisi beban. Analisis dilakukan secara bertahap mulai dari beban gravitasi, beban lateral gempa, hingga kombinasi pembebanan menggunakan metode LRFD. Evaluasi hasil analisis difokuskan pada aspek kekuatan dan stabilitas struktur untuk memastikan desain memenuhi persyaratan keamanan yang berlaku. Berikut ini adalah pembahasan hasil analisis struktur gedung olahraga Unimuda Sorong yang diperoleh dari SAP2000.

### **4.6.1 Beban Ultimate Pada Struktur**

Langkah selanjutnya adalah menganalisis beban ultimate yang terjadi pada setiap elemen struktur. Analisis ini penting untuk mengetahui bagaimana struktur merespon berbagai beban yang bekerja, terutama pada kombinasi beban ultimate. Dengan memahami distribusi beban ultimate yang terjadi, kita dapat mengidentifikasi bagian-bagian struktur yang mengalami tegangan tinggi dan memastikan semua elemen mampu menahan beban ultimate dengan aman sesuai kapasitas yang

direncanakan. Berikut hasil analisis beban ultimate pada setiap elemen struktur.

d) Beban Ultimate Pada Elemen Kolom

Dari hasil analisis SAP2000, maka diperoleh nilai gaya aksial maksimum ( $P_u$ ), gaya geser maksimum ( $V_u$ ), dan momen maksimum ( $M_u$ ) yang bekerja pada elemen kolom yang dapat dilihat pada tabel 4.15 berikut ini.

**Tabel 4.14 Hasil Analisis Beban Ultimate Pada Elemen Kolom**

<b>Elemen Struktur</b>	<b>Aksial Maksimum, <math>P_u</math> (kN)</b>	<b>Geser Maksimum, <math>V_u</math> (kN)</b>	<b>Momen Maksimum, <math>M_u</math> (kN.m)</b>
Kolom (I/WF 300 x 150 x 6,5 x 9 mm)	-64,617 (tekan) & 17,117 (tarik)	32,126	99,3886

*Sumber: Output SAP2000*

Dari tabel 4.15 diperoleh hasil analisis beban ultimate pada elemen kolom dengan gaya aksial maksimum ( $P_u$ ) sebesar -64,617 kN (Tekan) dan 17,117 kN (Tarik), gaya geser maksimum ( $V_u$ ) sebesar 32,126 kN, dan momen maksimum ( $M_u$ ) sebesar 99,3886 kN.m.

e) Beban Ultimate Pada Elemen Balok

Dari hasil analisis SAP2000, maka diperoleh nilai gaya aksial maksimum ( $P_u$ ), gaya geser maksimum ( $V_u$ ), dan momen maksimum ( $M_u$ ) yang bekerja pada elemen balok dapat dilihat pada tabel 4.16 berikut ini.

**Tabel 4.15 Hasil Analisis Beban Ultimate Pada Elemen Balok**

<b>Elemen Struktur</b>	<b>Aksial Maksimum, <math>P_u</math> (kN)</b>	<b>Geser Maksimum, <math>V_u</math> (kN)</b>	<b>Momen Maksimum, <math>M_u</math> (kN.m)</b>
Balok (I/WF 100 x 50 x 5 x 7 mm)	26,452 (tarik) & -7,913 (tekan)	0,381	0,5947

Sumber: Output SAP2000

Dari tabel 4.16 diperoleh hasil analisis beban ultimate pada elemen balok dengan gaya aksial maksimum ( $P_u$ ) sebesar 26,452 kN (Tarik) dan -7,913 kN (Tekan), gaya geser maksimum ( $V_u$ ) sebesar 0,381 kN, dan momen maksimum ( $M_u$ ) sebesar 0,5947 kN.m.

f) Beban Ultimate Pada Elemen Rafter

Dari hasil analisis SAP2000, maka diperoleh nilai gaya aksial maksimum ( $P_u$ ), gaya geser maksimum ( $V_u$ ), dan momen maksimum ( $M_u$ ) yang bekerja pada elemen rafter dapat dilihat pada tabel 4.17 berikut ini.

**Tabel 4.16 Hasil Analisis Beban Ultimate Pada Elemen Rafter**

<b>Elemen Struktur</b>	<b>Aksial Maksimum, <math>P_u</math> (kN)</b>	<b>Geser Maksimum, <math>V_u</math> (kN)</b>	<b>Momen Maksimum, <math>M_u</math> (kN.m)</b>
Rafter (I/WF 250 x 125 x 6 x 9 mm)	-35,092 (tekan) & 34,653 (tarik)	24,979	90,1114

Sumber: Output SAP2000

Dari tabel 4.17 diperoleh hasil analisis beban ultimate pada elemen rafter dengan gaya aksial maksimum ( $P_u$ ) sebesar -35,092 kN

(Tekan) dan 34,653 kN (Tarik), gaya geser maksimum ( $V_u$ ) sebesar 24,979 kN, dan momen maksimum ( $M_u$ ) sebesar 90,1114 kN.m.

g) Beban Ultimate Pada Elemen Gording

Dari hasil analisis SAP2000, maka diperoleh nilai gaya aksial maksimum ( $P_u$ ), gaya geser maksimum ( $V_u$ ), dan momen maksimum ( $M_u$ ) yang bekerja pada elemen gording dapat dilihat pada tabel 4.18 berikut ini.

**Tabel 4.17 Hasil Analisis Beban Ultimate Pada Elemen Gording**

<b>Elemen Struktur</b>	<b>Aksial Maksimum, <math>P_u</math> (kN)</b>	<b>Geser Maksimum, <math>V_u</math> (kN)</b>	<b>Momen Maksimum, <math>M_u</math> (kN.m)</b>
Gording (CNP 125 x 50 x 20 x 3,2 mm)	-52,235 (tekan) & 35,822 (tarik)	1,421	3,7789

*Sumber: Output SAP2000*

Dari tabel 4.18 diperoleh hasil analisis beban ultimate pada elemen gording dengan gaya aksial maksimum ( $P_u$ ) sebesar -52,235 kN (Tekan) dan 35,822 kN (Tarik), gaya geser maksimum ( $V_u$ ) sebesar 1,421 kN, dan momen maksimum ( $M_u$ ) sebesar 3,7789 kN.m.

h) Beban Ultimate Pada Elemen Wind Brace

Dari hasil analisis SAP2000, maka diperoleh nilai gaya aksial maksimum ( $P_u$ ), gaya geser maksimum ( $V_u$ ), dan momen maksimum ( $M_u$ ) yang bekerja pada elemen Wind Brace dapat dilihat pada tabel 4.19 berikut ini.

**Tabel 4.18 Hasil Analisis Beban Ultimate Pada Elemen Wind Brace**

<b>Elemen Struktur</b>	<b>Aksial Maksimum, <math>P_u</math> (kN)</b>	<b>Geser Maksimum, <math>V_u</math> (kN)</b>	<b>Momen Maksimum, <math>M_u</math> (kN.m)</b>
Wind Brace (Baja Tulangan Polos 22 mm)	40,38 (tarik) & -39,419 (tekan)	0,277	0,9683

Sumber: Output SAP2000

Dari tabel 4.19 diperoleh hasil analisis beban ultimate pada elemen wind brace dengan gaya aksial maksimum ( $P_u$ ) sebesar 40,38 kN (Tarik) dan -39,419 kN (Tekan), gaya geser maksimum ( $V_u$ ) sebesar 0,277 kN, dan momen maksimum ( $M_u$ ) sebesar 0,9683 kN.m.

Selanjutnya, rangkuman hasil analisis gaya dalam pada setiap elemen struktur gedung olahraga Unimuda Sorong dapat dilihat pada tabel 4.20 berikut.

**Tabel 4.19 Rangkuman Hasil Analisis Beban Ultimate Pada Elemen Struktur**

<b>Elemen Struktur</b>	<b>Gaya Aksial Maksimum, <math>P_u</math> (kN)</b>	<b>Gaya Geser Maksimum, <math>V_u</math> (kN)</b>	<b>Momen Maksimum, <math>M_u</math> (kN.m)</b>
<b>Kolom (I/WF 300 x 150 x 6,5 x 9 mm)</b>	-64,617 (tekan) & 17,117 (tarik)	32,126	99,3886
<b>Balok (I/WF 100 x 50 x 5 x 7 mm)</b>	26,452 (tarik) & -7,913 (tekan)	0,381	0,5947
<b>Rafter (I/WF 250 x 125 x 6 x 9 mm)</b>	-35,092 (tekan) & 34,653 (tarik)	24,979	90,1114

<b>Gording (CNP 125 x 50 x 20 x 3,2 mm)</b>	-52,235 (tekan) & 35,822 (tarik)	1,421	3,7789
<b>Wind Brace (Baja Tulangan Polos 22 mm)</b>	40,38 (tarik) & -39,419 (tekan)	0,277	0,9683

---

*Sumber: Output SAP2000*

Dari tabel 4.20 diatas didapatkan bahwa elemen struktur yang memikul gaya aksial tekan paling besar adalah elemen kolom dengan gaya aksial tekan ultimate sebesar 64,617 kN. Sedangkan elemen struktur yang memikul gaya aksial tarik paling besar adalah elemen wind brace dengan gaya aksial tarik ultimate sebesar 40,38 kN. Untuk elemen struktur yang memikul gaya geser paling besar adalah elemen kolom dengan gaya geser ultimate sebesar 32,126 kN. Dan untuk elemen struktur yang memikul momen lentur paling besar adalah elemen kolom dan elemen rafter dengan momen ultimate sebesar 99,3886 kN.m untuk elemen kolom dan momen ultimate sebesar 90,1114 kN.m untuk elemen rafter.

#### 4.6.2 Pengecekan Deformasi Struktur

Selanjutnya adalah melakukan pengecekan deformasi yang terjadi pada struktur. Deformasi yang terjadi menunjukkan seberapa besar perpindahan dan perubahan bentuk struktur akibat gaya-gaya yang bekerja. Hasil deformasi sangat penting untuk dievaluasi karena akan menentukan apakah struktur masih dalam batas aman dan nyaman untuk digunakan, serta membantu mengidentifikasi bagian-bagian struktur

yang mengalami perpindahan berlebihan yang perlu mendapat perhatian khusus.

Berdasarkan SNI 1726:2019 Pasal 7.8.6, simpangan antar tingkat desain ( $\Delta$ ) tidak boleh melebihi simpangan antar tingkat ijin ( $\Delta_a$ ) yang dihitung sebagai berikut:

$$\Delta_a = 0,020 h_{sx}$$

Dimana:

$\Delta_a$  = simpangan antar tingkat ijin

$h_{sx}$  = tinggi tingkat di bawah tingkat x

0,020 = faktor untuk struktur dengan kategori risiko III

Untuk struktur gedung olahraga Unimuda Sorong:

Tinggi kolom (h) = 6 meter = 6.000 mm

$$\Delta_a = 0,020 \times 6.000 = \mathbf{120 \text{ mm}}$$

Sedangkan untuk lendutan elemen balok, rafter dan gording berdasarkan praktik umum desain struktur baja:

Lendutan maksimum balok =  $L/240$

Lendutan maksimum rafter dan gording =  $L/180$

Dimana L adalah bentang elemen struktur.

Perhitungan Lendutan Ijin Elemen Struktur:

- Lendutan Ijin Rafter

Bentang rafter (L) = 12,5 meter = 12.500 mm

$$\Delta_{ijin(rafter)} = L/180 = 12.500/180 = \mathbf{69,44 \text{ mm}}$$

- Lendutan Ijin Gording

Jarak antar rafter = 6,25 meter = 6.250 mm

Bentang gording  $\approx 6,25$  meter (jarak antar rafter)

$$\Delta_{\text{ijin(gording)}} = L/180 = 6.250/180 = \mathbf{34,72 \text{ mm}}$$

- Lendutan Ijin Balok

Bentang balok = 6,25 meter = 6.250 mm

$$\Delta_{\text{ijin(balok)}} = L/240 = 6.250/240 = \mathbf{26,04 \text{ mm}}$$

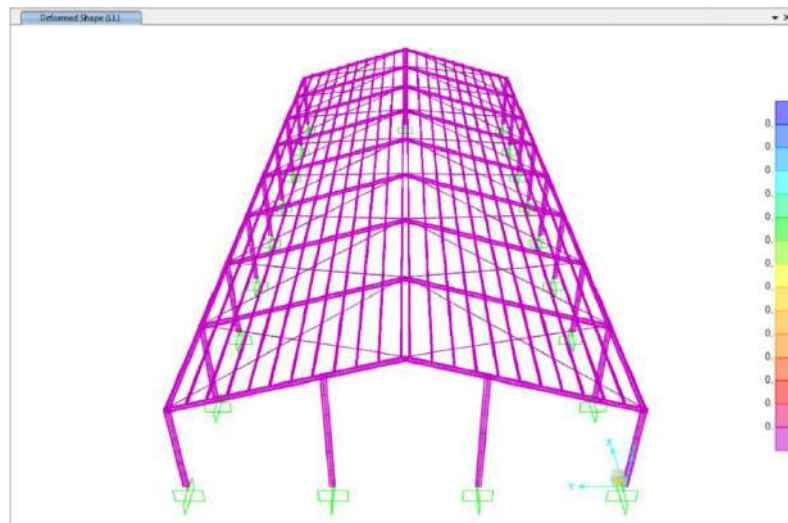
Pada aplikasi SAP2000, output dari pengecekan deformasi struktur merupakan evaluasi seberapa besar perpindahan dan reaksi yang ditimbulkan pada joint/node akibat perubahan bentuk struktur yang divisualisasikan melalui indikasi gradasi warna dan nilai perpindahan total yang dikeluarkan oleh aplikasi dengan keterangan sebagai berikut.

- Warna Ungu – Merah: Deformasi Minimum/nol
- Warna Merah Muda – Jingga: Deformasi kecil
- Warna Kuning – Hijau Muda: Deformasi Sedang
- Warna Hijau Tua – Biru Muda: Deformasi Besar
- Warna Biru Muda – Biru Tua: Deformasi Maksimum

Berikut merupakan hasil pengecekan deformasi struktur baja pada gedung olahraga Unimuda Sorong pada aplikasi SAP2000.

- a) Deformasi struktur akibat beban hidup (L) dan beban hidup atap (Lr)

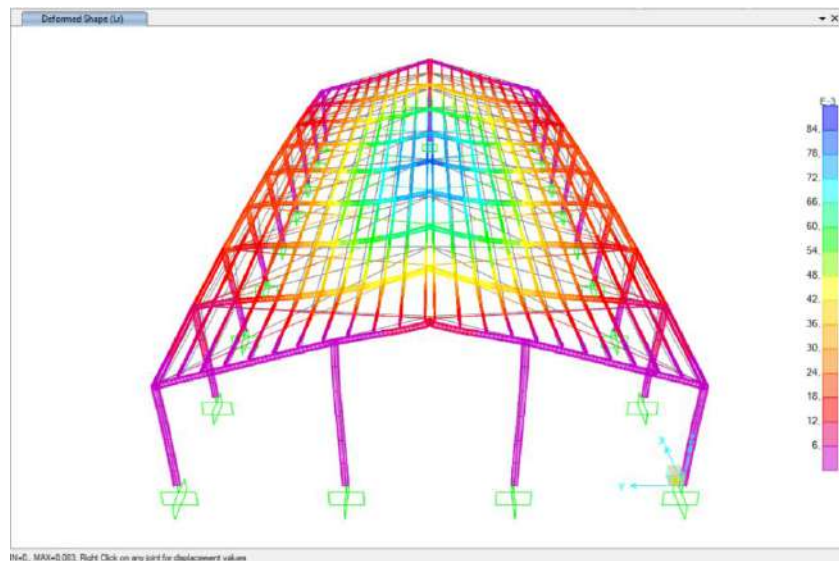
Bentuk deformasi struktur akibat beban hidup (L) dapat dilihat pada gambar 4.16 berikut ini.



**Gambar 4.15 Bentuk Deformasi Struktur Akibat Beban Hidup (Sumber: Output SAP2000)**

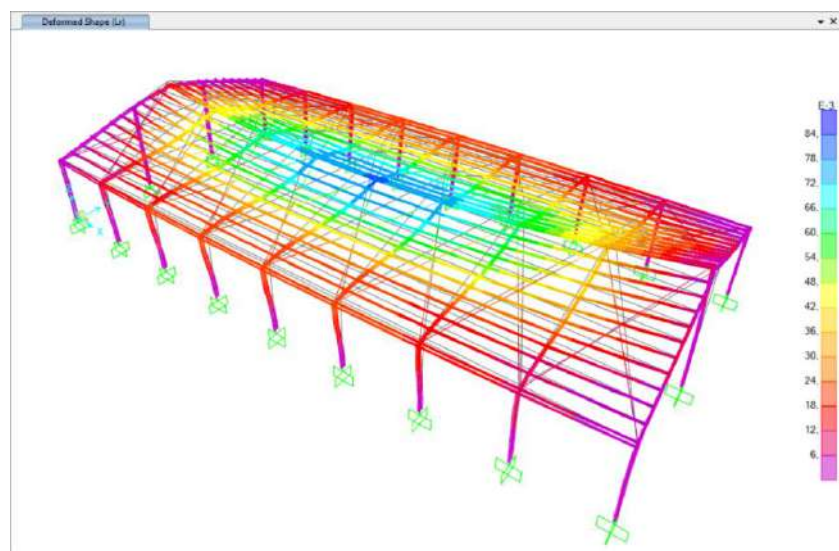
Pada gambar 4.16 menunjukkan bahwa seluruh elemen struktur berwarna ungu yang berarti struktur mengalami deformasi minimum/nol akibat beban hidup (L) pada setiap elemen struktur. Maka dari itu perpindahan total pada joint yang terjadi akibat deformasi struktur yang disebabkan oleh beban hidup pada struktur adalah sebesar 0,00 m (tidak ada perpindahan). Tidak terjadi deformasi signifikan karena beban hidup pada struktur ini hanya berupa beban pekerja pemeliharaan yang nilainya relatif kecil yaitu hanya 1,33 kN.

Untuk bentuk deformasi struktur akibat beban hidup atap (Lr) dapat dilihat pada gambar 4.17, 4.18, 4.19, dan 4.20 berikut ini.



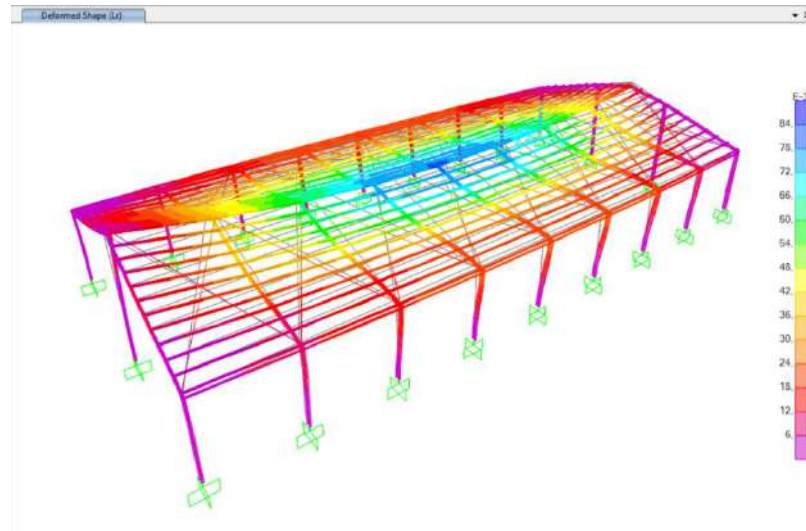
**Gambar 4.16 Bentuk Deformasi Struktur Akibat Beban Hidup Atap Dilihat Dari Perspektif Tampak Depan (Sumber: Output SAP2000)**

Gambar 4.17 merupakan hasil analisis SAP2000 berupa bentuk deformasi struktur gedung olahraga Unimuda Sorong akibat beban hidup atap (Lr) yang dilihat dari perspektif tampak depan struktur ditinjau pada sumbu X-Y-Z.



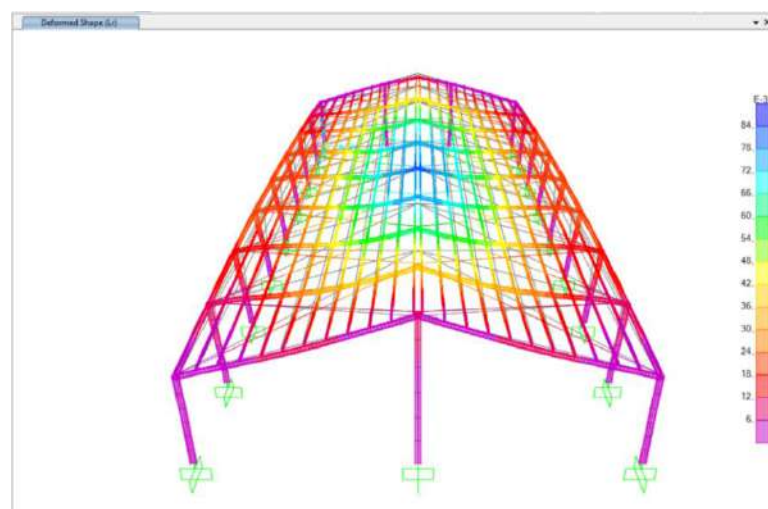
**Gambar 4.17 Bentuk Deformasi Struktur Akibat Beban Hidup Atap Dilihat Dari Perspektif Tampak Samping Kiri (Sumber: Output SAP2000)**

Gambar 4.18 merupakan bentuk deformasi struktur akibat beban hidup atap (Lr) yang dilihat dari perspektif tampak samping kiri struktur ditinjau pada sumbu X-Y-Z.



**Gambar 4.18 Bentuk Deformasi Struktur Akibat Beban Hidup Atap Dilihat Dari Perspektif Tampak Samping Kanan (Sumber: Output SAP2000)**

Gambar 4.19 merupakan bentuk deformasi struktur akibat beban hidup atap (Lr) yang dilihat dari perspektif tampak samping kanan struktur ditinjau pada sumbu X-Y-Z.



**Gambar 4.19 Bentuk Deformasi Struktur Akibat Beban Hidup Atap Dilihat Dari Perspektif Tampak Belakang (Sumber: Output SAP2000)**

Gambar 4.20 merupakan bentuk deformasi struktur akibat beban hidup atap (Lr) yang dilihat dari perspektif tampak belakang struktur ditinjau pada sumbu X-Y-Z.

Pada gambar 4.17, 4.18, 4.19, dan 4.20 menunjukkan bahwa seluruh elemen struktur memiliki warna yang bervariasi yang berarti struktur mengalami deformasi pada setiap elemen struktur akibat beban hidup atap (Lr). Deformasi maksimum terjadi pada elemen rafter dan gording yang terletak pada tengah-tengah bentang struktur yang ditunjukkan dengan elemen struktur berwarna biru pada gambar dengan perpindahan total maksimum sebesar 0,083 m.

Perhitungan Kontrol Lendutan:

Lendutan maksimum akibat beban hidup atap = 0,083 m = 83 mm

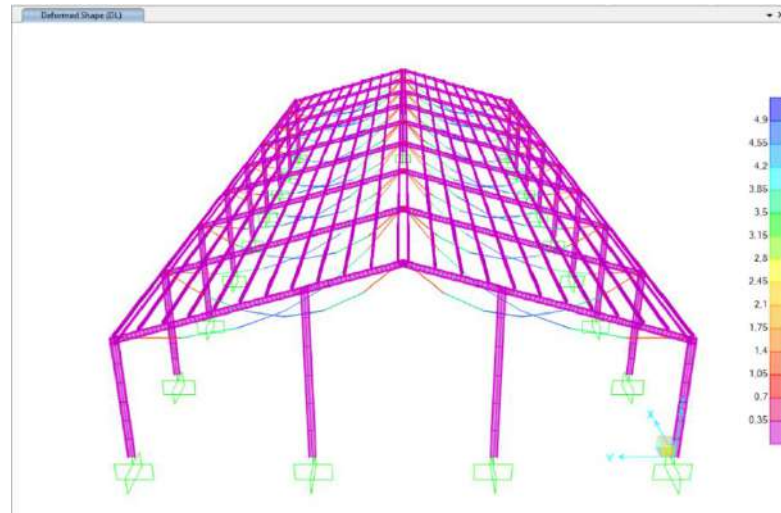
Lendutan ijin rafter = 69,44 mm

$$\begin{aligned} \text{Rasio lendutan} &= (\Delta_{\text{maks}} / \Delta_{\text{ijin}}) \times 100\% \\ &= (83 / 69,44) \times 100\% \\ &= \mathbf{119,5\%} \end{aligned}$$

Lendutan yang terjadi sebesar 83 mm melebihi lendutan ijin 69,44 mm dengan selisih 13,56 mm atau 19,5%. Hal ini mengindikasikan bahwa elemen rafter dan gording perlu diperkuat atau dimensinya perlu ditinjau ulang untuk memenuhi kriteria layan (*serviceability*).

- b) Deformasi struktur akibat beban mati (DL) dan beban mati tambahan (SIDL)

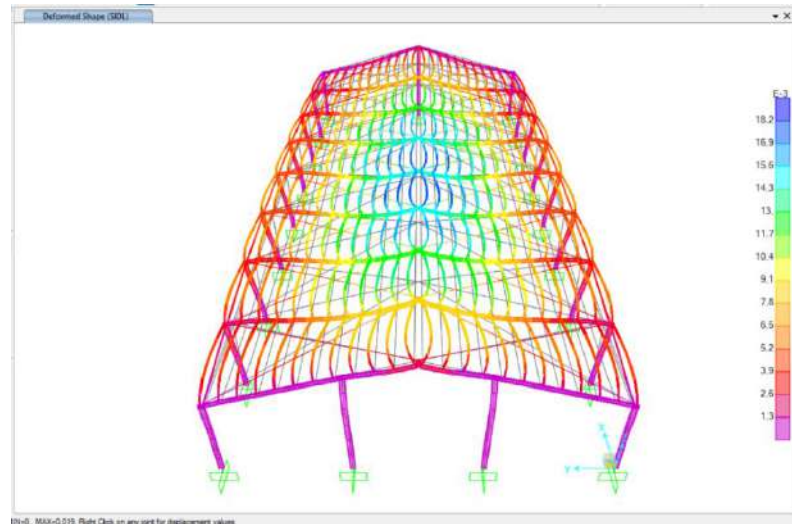
Bentuk deformasi struktur akibat beban mati (DL) dapat dilihat pada gambar 4.21 berikut ini.



**Gambar 4.20 Bentuk Deformasi Struktur Akibat Beban Mati (Sumber: Output SAP2000)**

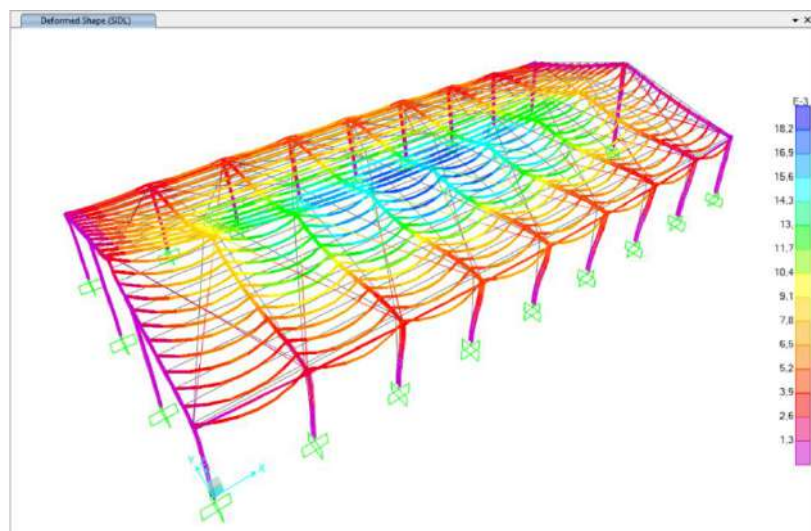
Pada gambar 4.21 menunjukkan bahwa seluruh elemen struktur berwarna ungu yang berarti struktur mengalami deformasi minimum/nol akibat beban mati (DL) pada setiap elemen struktur, kecuali pada elemen wind brace. Pada elemen wind brace menunjukkan warna yang bervariasi yang berarti bahwa elemen tersebut mengalami deformasi akibat beban mati elemen struktur tersebut. Deformasi maksimum terjadi pada wind brace yang ditunjukkan dengan elemen struktur berwarna biru pada gambar dengan perpindahan total maksimum sebesar 4,917 m. Nilai deformasi 4,917 m pada wind brace ini adalah perpanjangan aksial akibat berat sendiri elemen yang dipasang miring, bukan lendutan. Untuk elemen tarik (brace), perpanjangan ini masih dalam batas wajar dan tidak mempengaruhi kinerja struktur.

Untuk bentuk deformasi struktur akibat beban mati tambahan (SIDL) dapat dilihat pada gambar 4.22, 4.23, 4.24, 4.25 berikut ini.



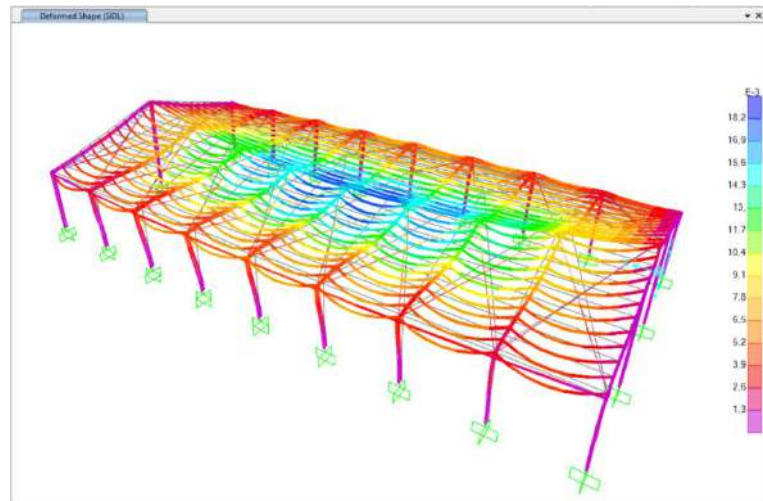
**Gambar 4.21 Bentuk Deformasi Struktur Akibat Beban Mati Tambahan Dilihat Dari Perspektif Tampak Depan (Sumber: Output SAP2000)**

Gambar 4.22 merupakan bentuk deformasi struktur akibat beban mati tambahan (SIDL) yang dilihat dari perspektif tampak depan struktur ditinjau pada sumbu X-Y-Z.



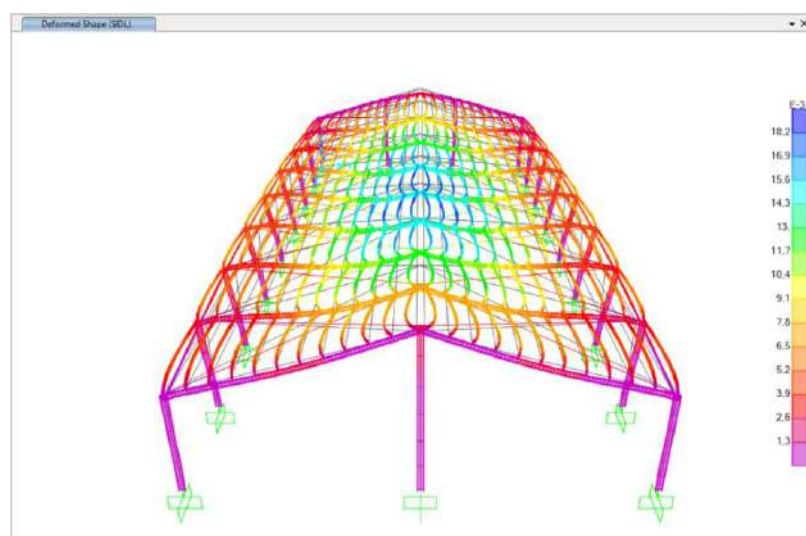
**Gambar 4.22 Bentuk Deformasi Struktur Akibat Beban Mati Tambahan Dilihat Dari Perspektif Tampak Samping Kiri (Sumber: Output SAP2000)**

Gambar 4.23 merupakan bentuk deformasi struktur akibat beban beban mati tambahan (SIDL) yang dilihat dari perspektif tampak samping kiri struktur ditinjau pada sumbu X-Y-Z.



**Gambar 4.23 Bentuk Deformasi Struktur Akibat Beban Mati Tambahan Dilihat Dari Perspektif Tampak Samping Kanan (Sumber: Output SAP2000)**

Gambar 4.24 merupakan bentuk deformasi struktur akibat beban beban mati tambahan (SIDL) yang dilihat dari perspektif tampak samping kanan struktur ditinjau pada sumbu X-Y-Z.



**Gambar 4.24 Bentuk Deformasi Struktur Akibat Beban Mati Tambahan Dilihat Dari Perspektif Tampak Belakang (Sumber: Output SAP2000)**

Gambar 4.25 merupakan bentuk deformasi struktur akibat beban mati tambahan (SIDL) yang dilihat dari perspektif tampak belakang struktur ditinjau pada sumbu X-Y-Z.

Pada gambar 4.22, 4.23, 4.24, dan 4.25 menunjukkan bahwa seluruh elemen struktur memiliki warna yang bervariasi yang berarti struktur mengalami deformasi pada setiap elemen struktur akibat beban mati tambahan (SIDL). Deformasi maksimum terjadi pada elemen gording yang terletak pada tengah-tengah bentang struktur yang ditunjukkan dengan elemen struktur berwarna biru pada gambar dengan perpindahan total maksimum sebesar 0,019 m.

Perhitungan Kontrol Lendutan:

Lendutan maksimum akibat beban mati tambahan = 0,019 m = 19 mm

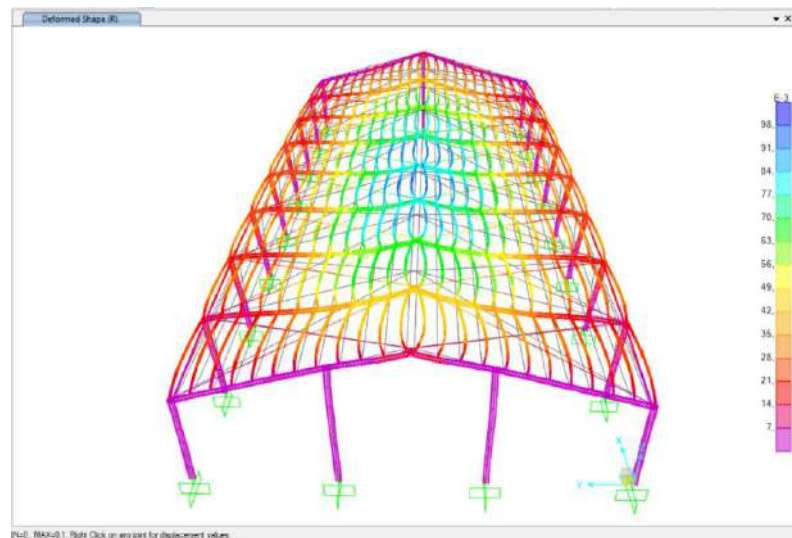
Lendutan ijin gording = 34,72 mm

Rasio lendutan =  $(19 / 34,72) \times 100\% = 54,7\%$

Lendutan yang terjadi sebesar 19 mm memenuhi syarat karena masih di bawah lendutan ijin sebesar 34,72 mm. Struktur aman terhadap beban mati tambahan dengan margin keamanan 45,3%.

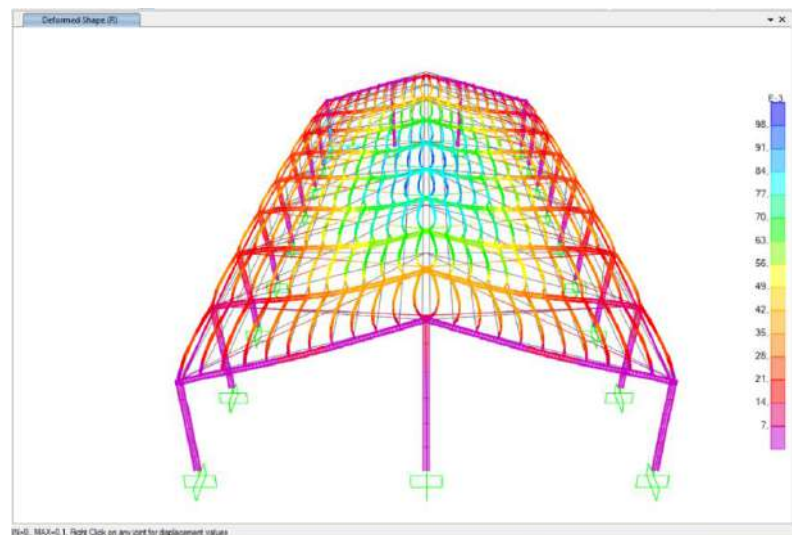
c) Deformasi struktur akibat beban hujan (R)

Bentuk deformasi struktur akibat beban hujan (R) dapat dilihat pada gambar 4.26, 4.27, 4.28, 4.29 berikut ini.



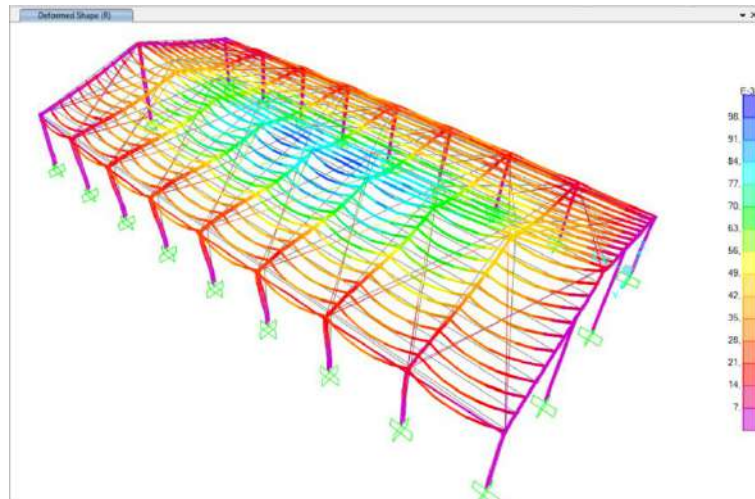
**Gambar 4.25 Bentuk Deformasi Struktur Akibat Beban Hujan Dilihat Dari Perspektif Tampak Depan (Sumber: Output SAP2000)**

Gambar 4.26 merupakan bentuk deformasi struktur akibat beban hujan (R) yang dilihat dari perspektif tampak depan struktur ditinjau pada sumbu X-Y-Z.



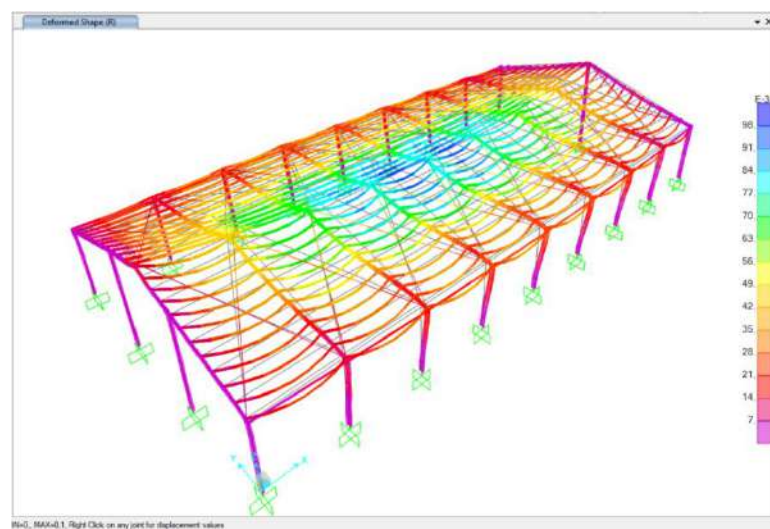
**Gambar 4.26 Bentuk Deformasi Struktur Akibat Beban Hujan Dilihat Dari Perspektif Tampak Belakang (Sumber: Output SAP2000)**

Gambar 4.27 merupakan bentuk deformasi struktur akibat beban beban hujan (R) yang dilihat dari perspektif tampak belakang struktur ditinjau pada sumbu X-Y-Z.



**Gambar 4.27 Bentuk Deformasi Struktur Akibat Beban Hujan Dilihat Dari Perspektif Tampak Samping Kanan (Sumber: Output SAP2000)**

Gambar 4.28 merupakan bentuk deformasi struktur akibat beban hujan (R) yang dilihat dari perspektif tampak samping kanan struktur ditinjau pada sumbu X-Y-Z.



**Gambar 4.28 Bentuk Deformasi Struktur Akibat Beban Hujan Dilihat Dari Perspektif Tampak Samping Kiri (Sumber: Output SAP2000)**

Gambar 4.29 merupakan bentuk deformasi struktur akibat beban hujan (R) yang dilihat dari perspektif tampak samping kiri struktur ditinjau pada sumbu X-Y-Z.

Pada gambar 4.26, 4.27, 4.28, dan 4.29 menunjukkan bahwa seluruh elemen struktur memiliki warna yang bervariasi yang berarti struktur mengalami deformasi pada setiap elemen struktur akibat beban hujan (R). Deformasi maksimum terjadi pada elemen gording yang terletak pada tengah-tengah bentang struktur yang ditunjukkan dengan elemen struktur berwarna biru pada gambar dengan perpindahan total maksimum sebesar 0,1 m.

Perhitungan Kontrol Lendutan:

Lendutan maksimum akibat beban hujan = 0,1 m = 100 mm

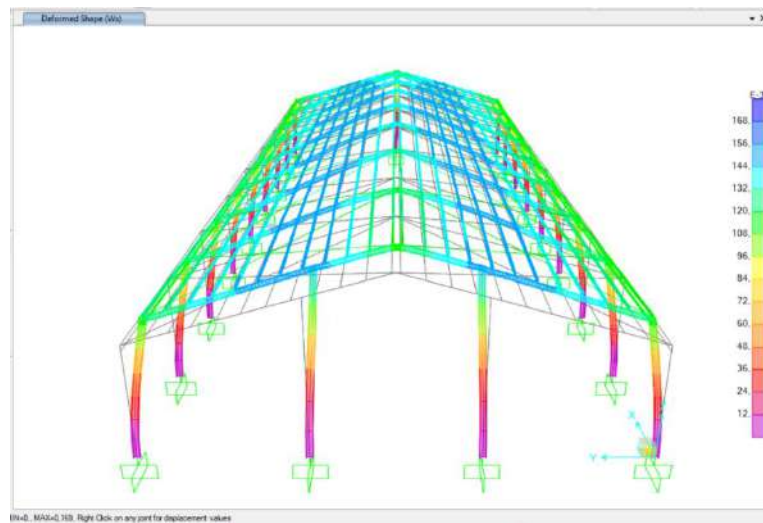
Lendutan ijin gording = 34,72 mm

Rasio lendutan =  $(100 / 34,72) \times 100\% = 288\%$

Lendutan yang terjadi sebesar 100 mm sangat melebihi lendutan ijin dengan selisih 65,28 mm atau 188%. Hal ini merupakan indikasi KRITIS yang menunjukkan bahwa dimensi gording tidak memadai untuk menahan beban hujan, perlu peninjauan ulang profil gording atau penambahan jumlah gording.

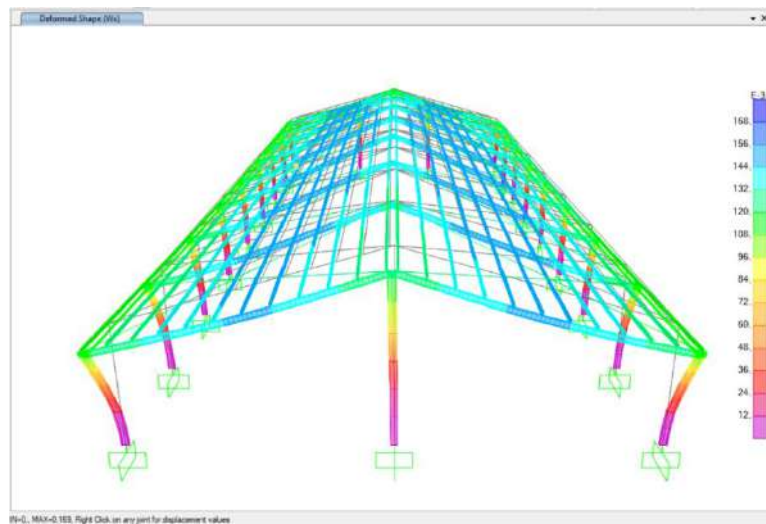
d) Deformasi struktur akibat beban angin (W)

Bentuk deformasi struktur akibat beban angin arah x ( $W_x$ ) dapat dilihat pada gambar 4.30, 4.31, 4.32, dan 4.33 berikut ini.



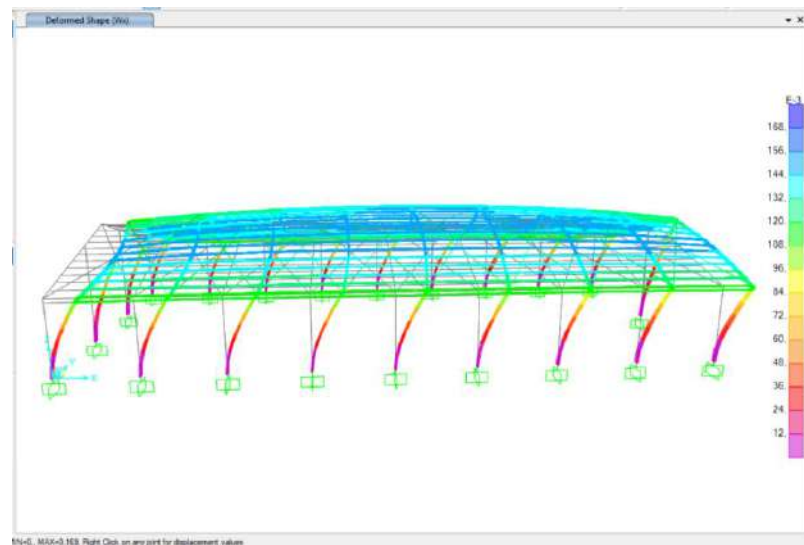
**Gambar 4.29 Bentuk Deformasi Struktur Akibat Beban Angin Arah X Dilihat Dari Perspektif Tampak Depan (Sumber: Output SAP2000)**

Gambar 4.30 merupakan bentuk deformasi struktur akibat beban angin arah x ( $W_x$ ) yang dilihat dari perspektif tampak depan struktur ditinjau pada sumbu X-Y-Z.



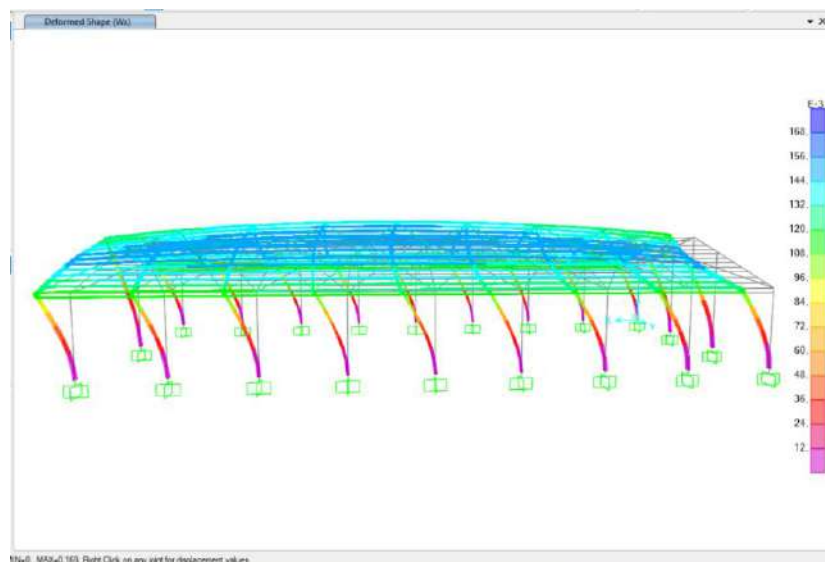
**Gambar 4.30 Bentuk Deformasi Struktur Akibat Beban Angin Arah X Dilihat Dari Perspektif Tampak Belakang (Sumber: Output SAP2000)**

Gambar 4.31 merupakan bentuk deformasi struktur akibat beban angin arah x ( $W_x$ ) yang dilihat dari perspektif tampak belakang struktur ditinjau pada sumbu X-Y-Z.



**Gambar 4.31 Bentuk Deformasi Struktur Akibat Beban Angin Arah X Dilihat Dari Perspektif Tampak Samping Kiri (Sumber: Output SAP2000)**

Gambar 4.32 merupakan bentuk deformasi struktur akibat beban angin arah x ( $W_x$ ) yang dilihat dari perspektif tampak samping kiri struktur ditinjau pada sumbu X-Y-Z.



**Gambar 4.32 Bentuk Deformasi Struktur Akibat Beban Angin Arah X Dilihat Dari Perspektif Tampak Samping Kanan (Sumber: Output SAP2000)**

Gambar 4.33 merupakan bentuk deformasi struktur akibat beban angin arah x ( $W_x$ ) yang dilihat dari perspektif tampak samping kanan struktur ditinjau pada sumbu X-Y-Z.

Pada gambar 4.30, 4.31, 4.32, dan 4.33 menunjukkan bahwa seluruh elemen struktur memiliki warna yang bervariasi yang berarti struktur mengalami deformasi pada setiap elemen struktur akibat beban angin arah x ( $W_x$ ). Deformasi maksimum terjadi pada elemen gording dan rafter yang terletak pada tengah-tengah bentang masing-masing rafter yang ditunjukkan dengan elemen struktur berwarna biru pada gambar dengan perpindahan total maksimum sebesar 0,169 m.

Perhitungan Kontrol Lendutan:

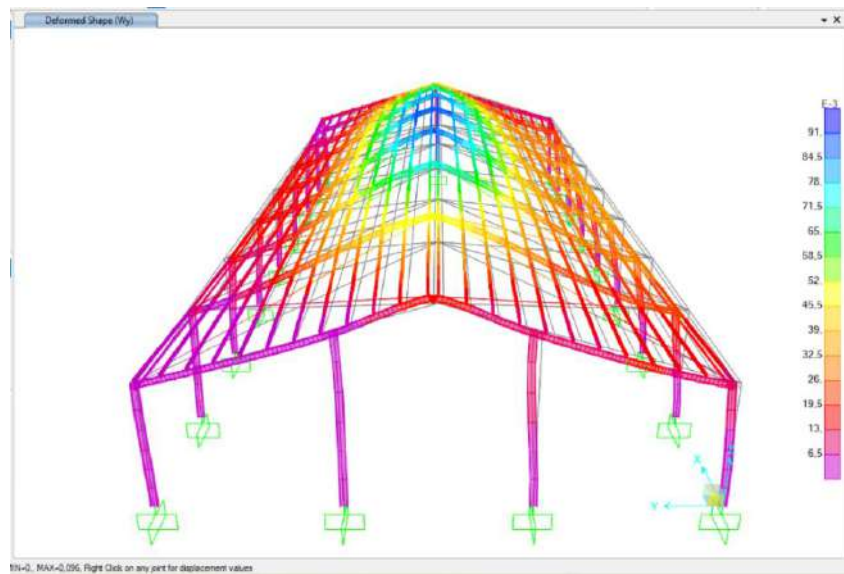
Lendutan maksimum akibat beban angin arah x = 0,169 m = 169 mm

Lendutan ijin rafter = 69,44 mm

Rasio lendutan =  $(169 / 69,44) \times 100\% = 243,4\%$

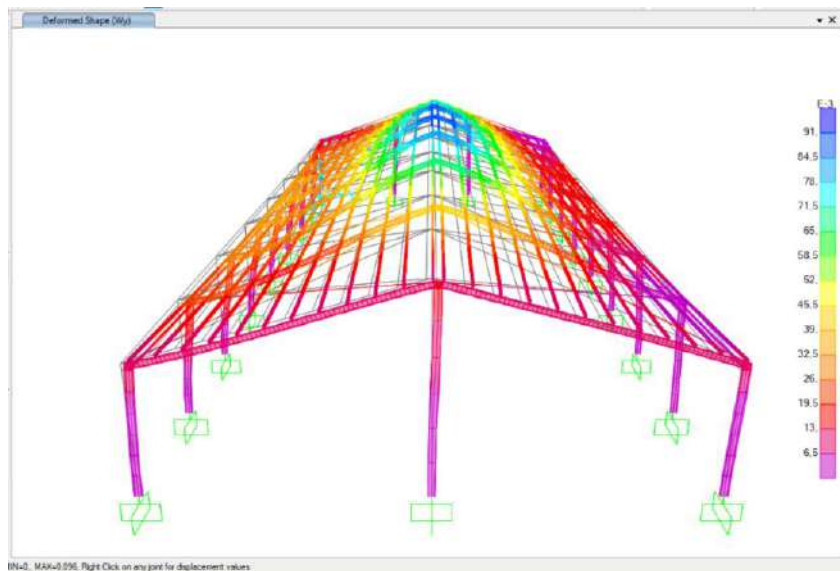
Lendutan yang terjadi sebesar 169 mm tidak memenuhi syarat karena sangat melebihi lendutan ijin sebesar 69,44 mm dengan selisih 143%. Hal ini merupakan indikasi KRITIS yang menunjukkan bahwa struktur rafter perlu diperkuat untuk menahan beban angin lateral.

Untuk bentuk deformasi struktur akibat beban angin arah y ( $W_y$ ) dapat dilihat pada gambar 4.34, 4.35, 4.36, dan 4.37 berikut ini.



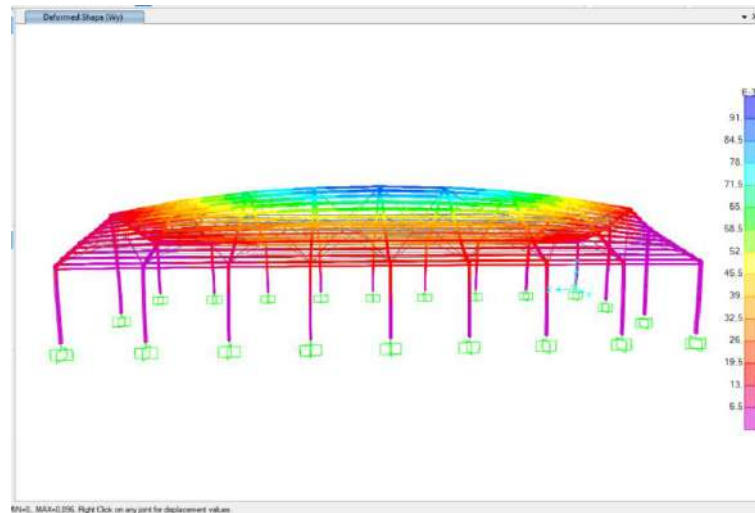
**Gambar 4.33 Bentuk Deformasi Struktur Akibat Beban Angin Arah Y Dilihat Dari Perspektif Tampak Depan (Sumber: Output SAP2000)**

Gambar 4.34 merupakan bentuk deformasi struktur akibat beban angin arah y ( $W_y$ ) yang dilihat dari perspektif tampak depan struktur ditinjau pada sumbu X-Y-Z.



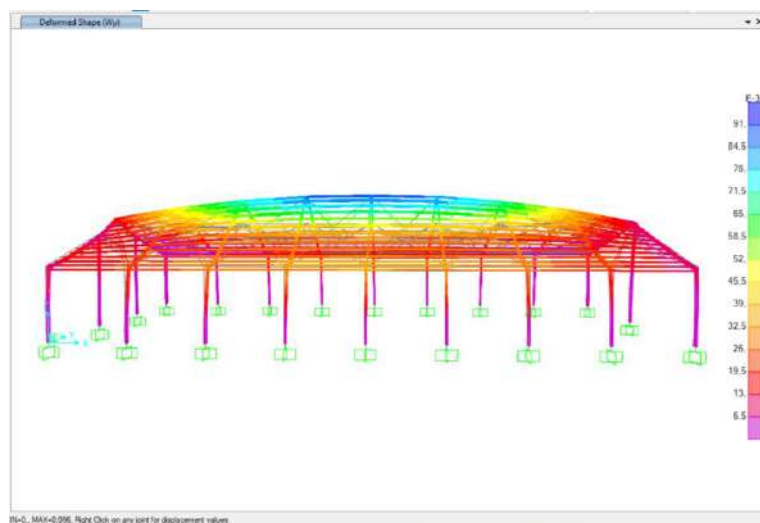
**Gambar 4.34 Bentuk Deformasi Struktur Akibat Beban Angin Arah Y Dilihat Dari Perspektif Tampak Belakang (Sumber: Output SAP2000)**

Gambar 4.35 merupakan bentuk deformasi struktur akibat beban angin arah y ( $W_y$ ) yang dilihat dari perspektif tampak depan struktur ditinjau pada sumbu X-Y-Z.



**Gambar 4.35 Bentuk Deformasi Struktur Akibat Beban Angin Arah Y Dilihat Dari Perspektif Tampak Samping Kanan (Sumber: Output SAP2000)**

Gambar 4.36 merupakan bentuk deformasi struktur akibat beban angin arah y ( $W_y$ ) yang dilihat dari perspektif tampak samping kanan struktur ditinjau pada sumbu X-Y-Z.



**Gambar 4.36 Bentuk Deformasi Struktur Akibat Beban Angin Arah Y Dilihat Dari Perspektif Tampak Samping Kiri (Sumber: Output SAP2000)**

Gambar 4.36 merupakan bentuk deformasi struktur akibat beban angin arah y ( $W_y$ ) yang dilihat dari perspektif tampak samping kiri struktur ditinjau pada sumbu X-Y-Z.

Pada gambar 4.34, 4.35, 4.36, dan 4.37 menunjukkan bahwa seluruh elemen struktur memiliki warna yang bervariasi yang berarti struktur mengalami deformasi pada setiap elemen struktur akibat beban angin arah y ( $W_y$ ). Deformasi maksimum terjadi pada elemen rafter dan gording yang terletak pada tengah-tengah bentang struktur yang ditunjukkan dengan elemen struktur berwarna biru pada gambar dengan perpindahan total maksimum sebesar 0,096 m.

Perhitungan Kontrol Lendutan:

Lendutan maksimum akibat beban angin arah y = 0,096 m = 96 mm

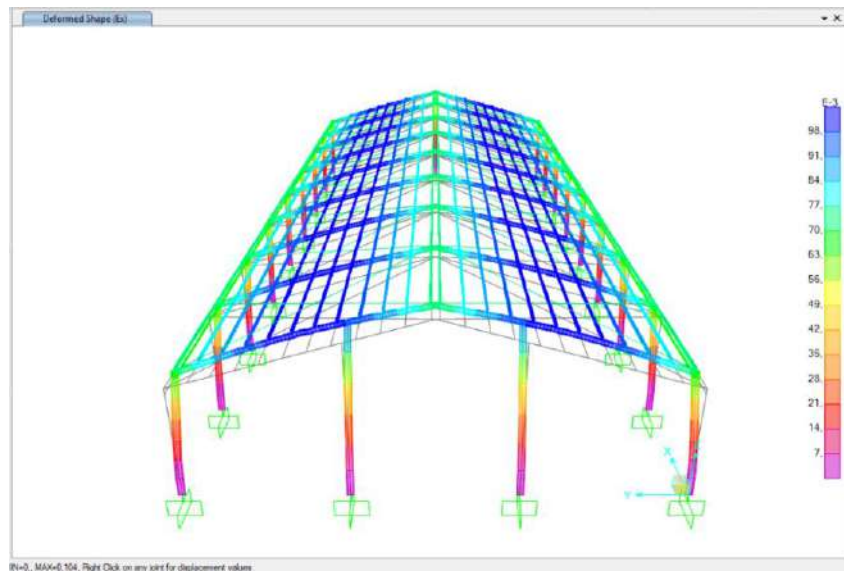
Lendutan ijin rafter = 69,44 mm

Rasio lendutan =  $(96 / 69,44) \times 100\% = 138,2\%$

Lendutan yang terjadi sebesar 96 mm tidak memenuhi syarat karena melebihi lendutan ijin sebesar 69,44 mm dengan selisih 38,2%. Hal ini merupakan indikasi KRITIS yang menunjukkan bahwa struktur rafter perlu diperkuat untuk menahan beban angin lateral.

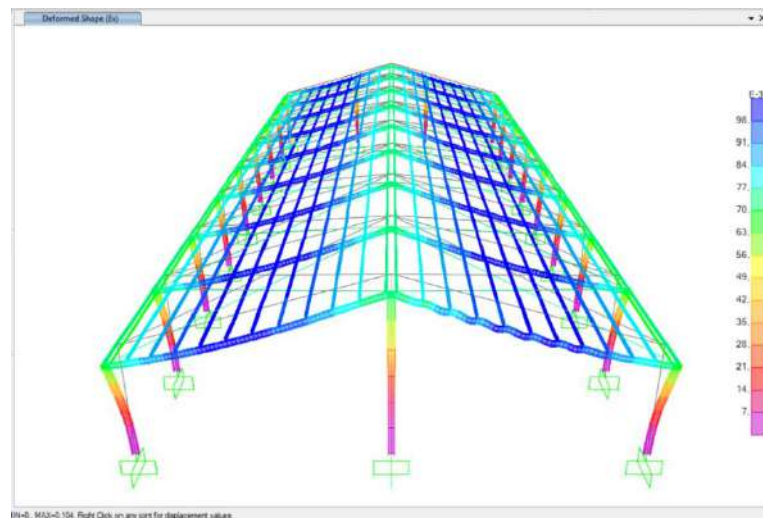
e) Deformasi struktur akibat beban gempa (E)

Bentuk deformasi struktur akibat beban gempa arah x ( $E_x$ ) dapat dilihat pada gambar 4.38, 4.39, 4.40, dan 4.41 berikut ini.



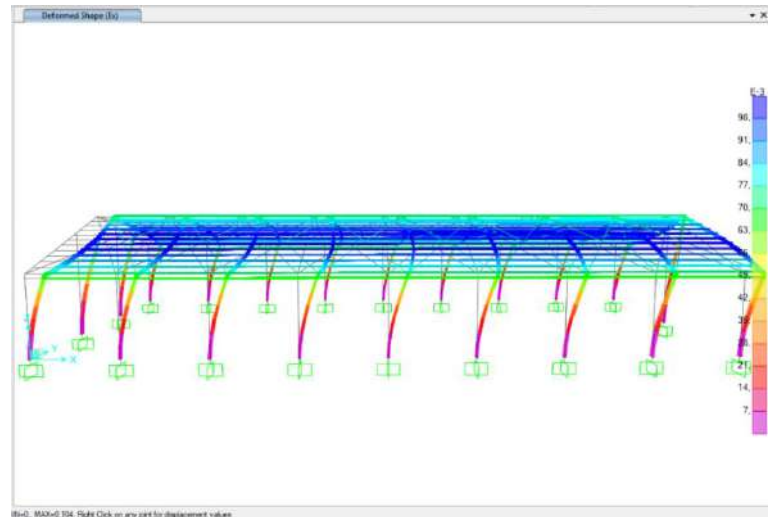
**Gambar 4.37 Bentuk Deformasi Struktur Akibat Beban Gempa Arah X Dilihat Dari Perspektif Tampak Depan (Sumber: Output SAP2000)**

Gambar 4.38 merupakan bentuk deformasi struktur akibat beban gempa arah x ( $E_x$ ) yang dilihat dari perspektif tampak depan struktur ditinjau pada sumbu X-Y-Z.



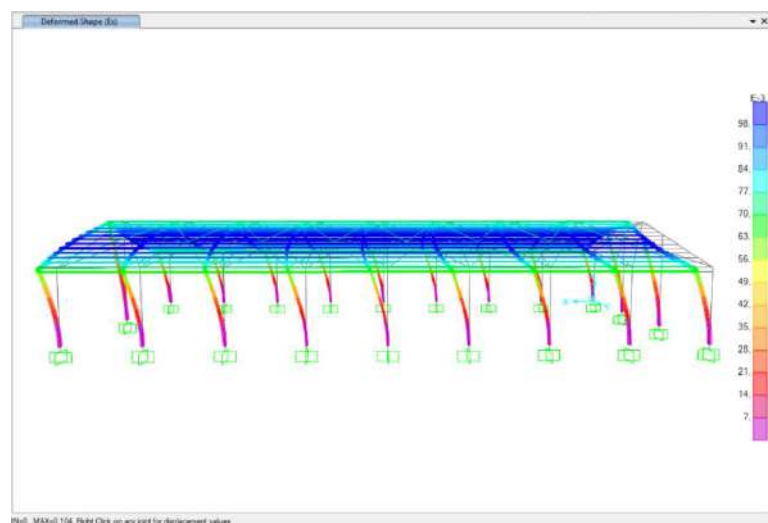
**Gambar 4.38 Bentuk Deformasi Struktur Akibat Beban Gempa Arah X Dilihat Dari Perspektif Tampak Belakang (Sumber: Output SAP2000)**

Gambar 4.39 merupakan bentuk deformasi struktur akibat beban gempa arah x ( $E_x$ ) yang dilihat dari perspektif tampak belakang struktur ditinjau pada sumbu X-Y-Z.



**Gambar 4.39 Bentuk Deformasi Struktur Akibat Beban Gempa Arah X Dilihat Dari Perspektif Tampak Samping Kiri (Sumber: Output SAP2000)**

Gambar 4.40 merupakan bentuk deformasi struktur akibat beban gempa arah x ( $E_x$ ) yang dilihat dari perspektif tampak samping kiri struktur ditinjau pada sumbu X-Y-Z.



**Gambar 4.40 Bentuk Deformasi Struktur Akibat Beban Gempa Arah X Dilihat Dari Perspektif Tampak Samping Kanan (Sumber: Output SAP2000)**

Gambar 4.41 merupakan bentuk deformasi struktur akibat beban gempa arah x (Ex) yang dilihat dari perspektif tampak samping kanan struktur ditinjau pada sumbu X-Y-Z.

Pada gambar 4.38, 4.39, 4.40, dan 4.41 menunjukkan bahwa seluruh elemen struktur memiliki warna yang bervariasi yang berarti struktur mengalami deformasi pada setiap elemen struktur akibat beban gempa arah x (Ex). Deformasi maksimum terjadi pada elemen rafter dan gording yang terletak pada tengah-tengah bentang masing-masing rafter yang ditunjukkan dengan elemen struktur berwarna biru pada gambar dengan perpindahan total maksimum sebesar 0,104 m. Perhitungan kontrol simpangan sebagai berikut.

Untuk struktur satu lantai, simpangan lateral dihitung dari base ke puncak kolom:

$$\text{Simpangan maksimum } (\Delta) = 0,104 \text{ m} = 104 \text{ mm}$$

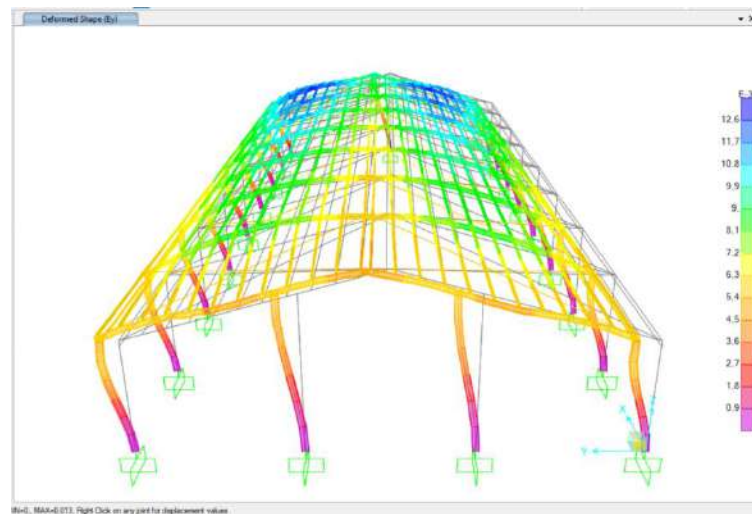
$$\text{Tinggi kolom } (h) = 6.000 \text{ mm}$$

$$\text{Drift Ratio} = \Delta / h = 104 / 6.000 = 0,0173 = \mathbf{1,73\%}$$

$$\text{Simpangan ijin } (\Delta_a) = 0,020 \times 6.000 = 120 \text{ mm}$$

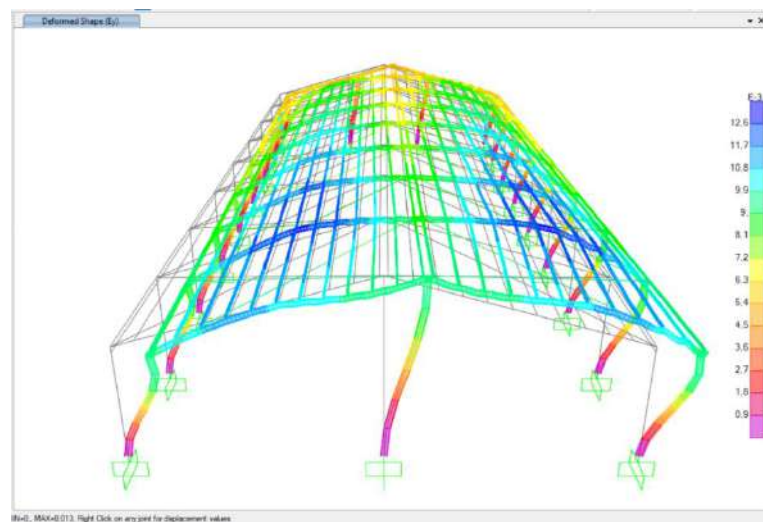
Simpangan yang terjadi sebesar 104 mm memenuhi syarat karena masih di bawah simpangan ijin sebesar 120 mm. Drift ratio 1,73% < 2,0% (batas ijin).

Bentuk deformasi struktur akibat beban gempa arah y (Ey) dapat dilihat pada gambar 4.42, 4.43, 4.44, dan 4.45 berikut ini.



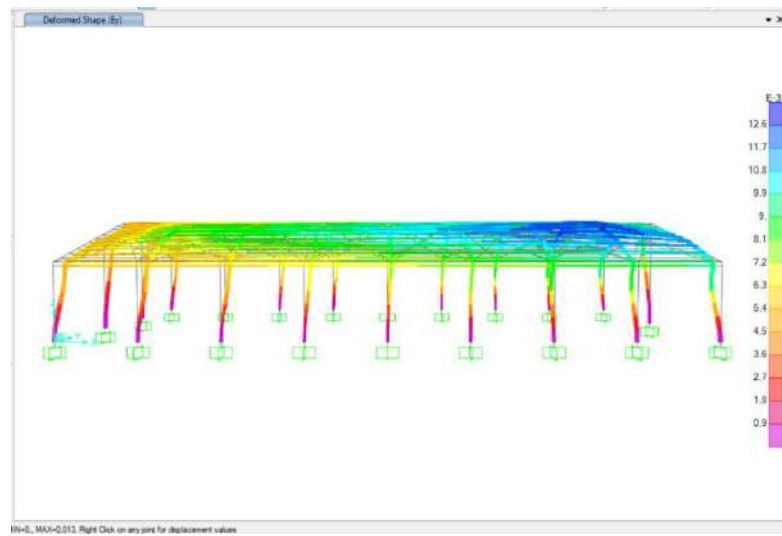
**Gambar 4.41 Bentuk Deformasi Struktur Akibat Beban Gempa Arah Y Dilihat Dari Perspektif Tampak Depan (Sumber: Output SAP2000)**

Gambar 4.42 merupakan bentuk deformasi struktur akibat beban gempa arah y ( $E_y$ ) yang dilihat dari perspektif tampak depan struktur ditinjau pada sumbu X-Y-Z.



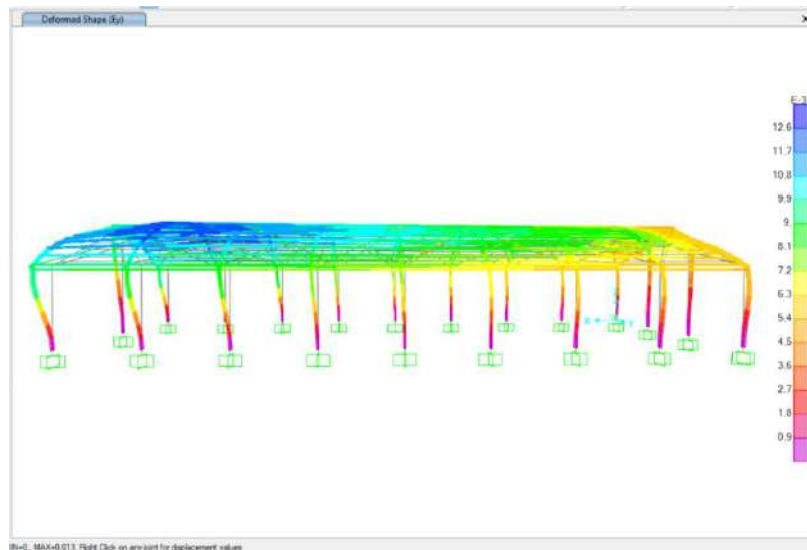
**Gambar 4.42 Bentuk Deformasi Struktur Akibat Beban Gempa Arah Y Dilihat Dari Perspektif Tampak Belakang (Sumber: Output SAP2000)**

Gambar 4.43 merupakan bentuk deformasi struktur akibat beban gempa arah y ( $E_y$ ) yang dilihat dari perspektif tampak belakang struktur ditinjau pada sumbu X-Y-Z.



**Gambar 4.43 Bentuk Deformasi Struktur Akibat Beban Gempa Arah Y Dilihat Dari Perspektif Tampak Samping Kiri (Sumber: Output SAP2000)**

Gambar 4.44 merupakan bentuk deformasi struktur akibat beban gempa arah y ( $E_y$ ) yang dilihat dari perspektif tampak samping kiri struktur ditinjau pada sumbu X-Y-Z.



**Gambar 4.44 Bentuk Deformasi Struktur Akibat Beban Gempa Arah Y Dilihat Dari Perspektif Tampak Samping Kanan (Sumber: Output SAP2000)**

Gambar 4.45 merupakan bentuk deformasi struktur akibat beban gempa arah y ( $E_y$ ) yang dilihat dari perspektif tampak samping kanan struktur ditinjau pada sumbu X-Y-Z.

Pada gambar 4.42, 4.43, 4.44, dan 4.45 menunjukkan bahwa seluruh elemen struktur memiliki warna yang bervariasi yang berarti struktur mengalami deformasi pada setiap elemen struktur akibat beban gempa arah y ( $E_y$ ). Deformasi maksimum terjadi pada elemen rafter dan gording yang terletak pada bagian belakang bentangan struktur yang ditunjukkan dengan elemen struktur berwarna biru pada gambar dengan perpindahan total maksimum sebesar 0,013 m.

Perhitungan Kontrol Simpangan:

$$\text{Simpangan maksimum } (\Delta) = 0,013 \text{ m} = 13 \text{ mm}$$

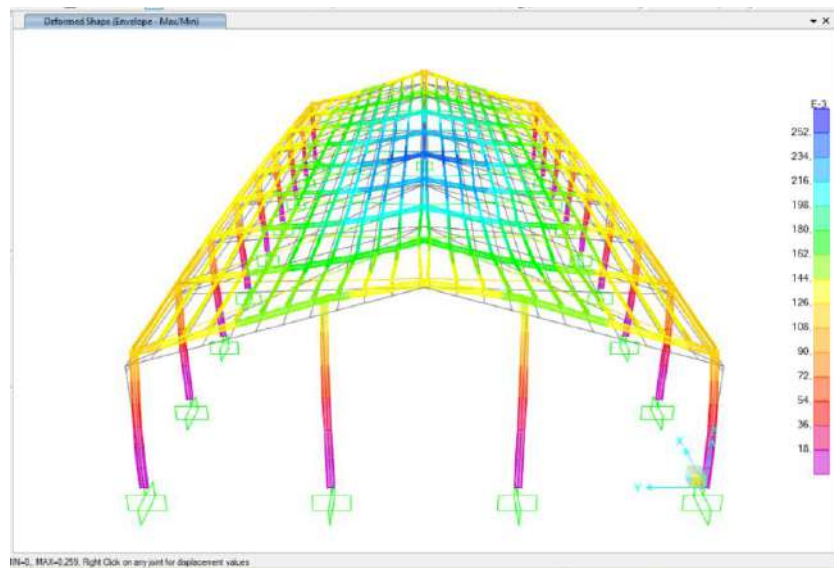
$$\text{Tinggi kolom } (h) = 6.000 \text{ mm}$$

$$\text{Drift Ratio} = 13 / 6.000 = 0,0022 = \mathbf{0,22\%}$$

Simpangan yang terjadi sebesar 13 mm sangat aman karena jauh di bawah simpangan ijin sebesar 120 mm. Hal ini mengindikasikan bahwa struktur sangat kaku pada arah Y.

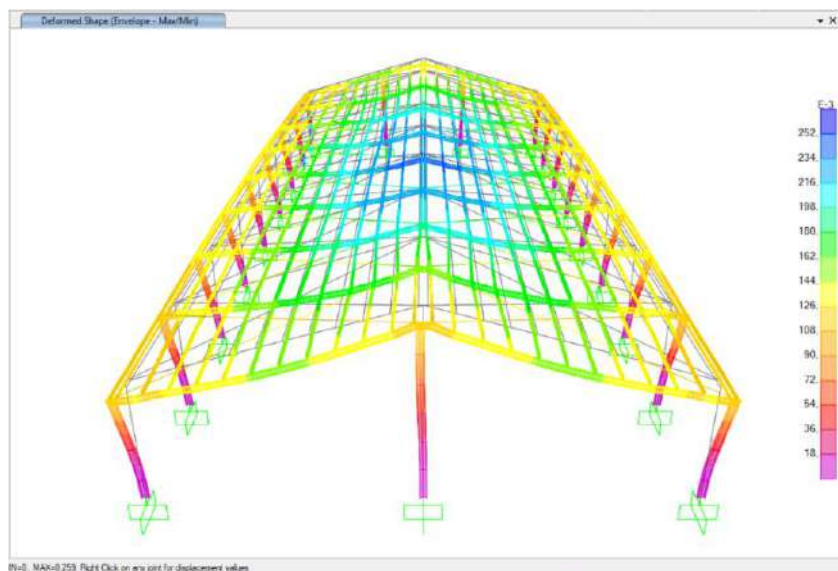
f) Deformasi struktur akibat kombinasi beban ultimate

Bentuk deformasi struktur akibat beban ultimate dapat dilihat pada gambar 4.46, 4.47, 4.48, dan 4.49 berikut ini.



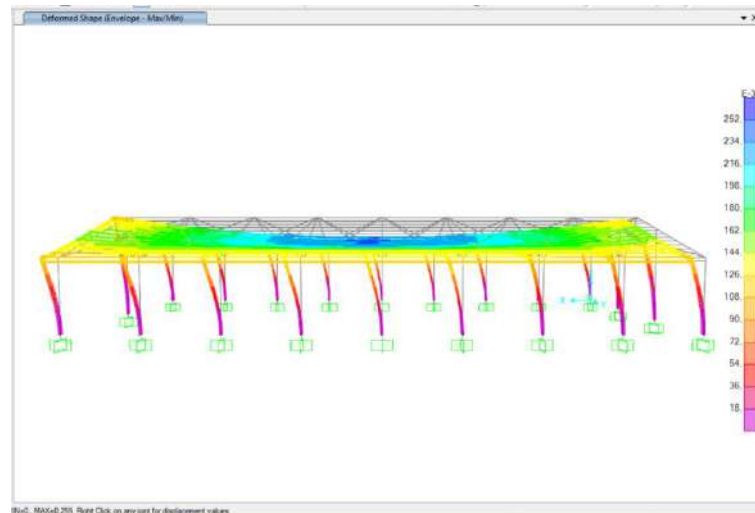
**Gambar 4.45 Bentuk Deformasi Struktur Akibat Beban Ultimate Dilihat Dari Perspektif Tampak Depan (Sumber: Output SAP2000)**

Gambar 4.46 merupakan bentuk deformasi struktur akibat beban ultimate yang dilihat dari perspektif tampak depan struktur ditinjau pada sumbu X-Y-Z.



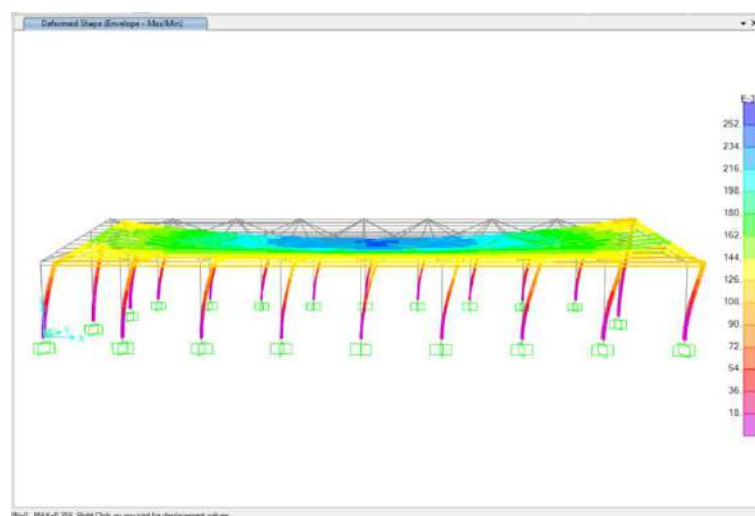
**Gambar 4.46 Bentuk Deformasi Struktur Akibat Beban Ultimate Dilihat Dari Perspektif Tampak Belakang (Sumber: Output SAP2000)**

Gambar 4.47 merupakan bentuk deformasi struktur akibat beban ultimate yang dilihat dari perspektif tampak belakang struktur ditinjau pada sumbu X-Y-Z.



**Gambar 4.47 Bentuk Deformasi Struktur Akibat Beban Ultimate Dilihat Dari Perspektif Tampak Samping Kanan (Sumber: Output SAP2000)**

Gambar 4.48 merupakan bentuk deformasi struktur akibat beban ultimate yang dilihat dari perspektif tampak samping kanan struktur ditinjau pada sumbu X-Y-Z.



**Gambar 4.48 Bentuk Deformasi Struktur Akibat Beban Ultimate Dilihat Dari Perspektif Tampak Samping Kiri (Sumber: Output SAP2000)**

Gambar 4.49 merupakan bentuk deformasi struktur akibat beban ultimate yang dilihat dari perspektif tampak samping kiri struktur ditinjau pada sumbu X-Y-Z.

Pada gambar 4.46, 4.47, 4.48, dan 4.49 menunjukkan bahwa seluruh elemen struktur memiliki warna yang bervariasi yang berarti struktur mengalami deformasi pada setiap elemen struktur akibat kombinasi beban ultimate. Deformasi maksimum terjadi pada elemen rafter dan gording yang terletak pada bagian tengah bentangan struktur yang ditunjukkan dengan elemen struktur berwarna biru pada gambar dengan perpindahan total maksimum sebesar  $0,259 \text{ m} = 259 \text{ mm}$ .

Perhitungan Kontrol Lendutan:

Lendutan maksimum akibat kombinasi beban ultimate = 259 mm

Lendutan ijin rafter = 69,44 mm

Rasio lendutan =  $(259 / 69,44) \times 100\% = 373\%$

Lendutan maksimum kombinasi beban ultimate sangat berlebihan yaitu 3,73 kali lipat dari batas ijin atau sekitar 273%. Ini merupakan indikasi kritis yang menunjukkan bahwa struktur rafter dan gording tidak mampu memenuhi kriteria kenyamanan (*serviceability*), diperlukan redesain dengan profil yang lebih besar atau penambahan sistem perkuatan berupa strut atau purlin tambahan.

Rangkuman hasil evaluasi deformasi struktur dapat dilihat pada tabel berikut 4.20 berikut ini.

**Tabel 4.20 Hasil Evaluasi Deformasi Struktur**

Jenis Beban	Deformasi Maksimum (mm)	Deformasi Ijin (mm)	Rasio (%)	Status
Beban Hidup (L)	0	-	-	AMAN
Beban Hidup Atap (Lr)	83	69,44	119,5	TIDAK AMAN
Beban Mati (DL)	4,917*	-	-	AMAN
Beban Mati Tambahan (SIDL)	19	34,72	54,7	AMAN
Beban Hujan (R)	100	34,72	288,0	KRITIS
Beban Angin X (Wx)	169	69,44	243,4	KRITIS
Beban Angin Y (Wy)	96	69,44	138,2	TIDAK AMAN
Beban Gempa X (Ex)	104	120	86,7	AMAN
Beban Gempa Y (Ey)	13	120	10,8	SANGAT AMAN
Kombinasi Ultimate	259	69,44	373,0	KRITIS

\*Catatan: Nilai 4,917 mm adalah perpanjangan aksial wind brace, bukan lendutan.

#### 4.6.3 Check of Structure

Setelah menjalankan analisis struktur pada aplikasi SAP2000, langkah pertama adalah melakukan pengecekan struktur. Pengecekan Struktur dilakukan untuk melihat apakah ketahanan struktur baja yang telah didesain mampu menahan semua beban termasuk kombinasi beban

yang bekerja pada struktur tersebut. Pada aplikasi SAP2000, output dari pengecekan struktur merupakan evaluasi ketahanan struktur terhadap beban yang divisualisasikan melalui indikasi warna-warna yang dikeluarkan oleh aplikasi dan nilai rasio partisipasi massa (*PM Ratio*) dengan keterangan sebagai berikut.

- Warna biru: Rasio 0.00 – 0.50 : Sangat Aman
- Warna Hijau: Rasio 0.50 - 0.70 : Aman
- Warna Kuning: Rasio 0.70 – 0.90 : Aman
- Warna Orange: Rasio 0.90 – 1.00 : Cukup Aman
- Warna Merah: Rasio > 1.00: Kritis (Overstress/OS)

Pengecekan kapasitas struktur dilakukan berdasarkan metode Load and Resistance Factor Design (LRFD) dengan prinsip dasar:

$$\Sigma R_u \leq \phi R_n$$

Dimana:

$\Sigma R_u$  = Jumlah beban terfaktor (demand)

$\phi R_n$  = Kuat rencana elemen struktur (capacity)

$\phi$  = Faktor reduksi kekuatan

Atau dapat dinyatakan dalam bentuk rasio:

$$\text{PM Ratio} = R_u / (\phi R_n) \leq 1,0$$

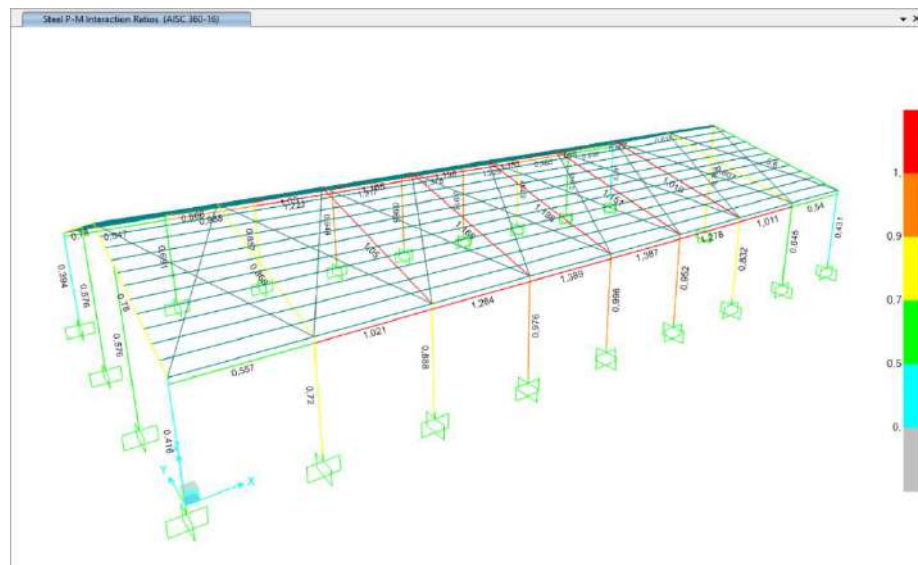
Dimana:

PM Ratio = Rasio partisipasi massa (Performance Measure Ratio)

PM Ratio  $\leq$  1,0 = Struktur aman

PM Ratio > 1,0 = Struktur mengalami overstress (kritis)

Berikut adalah hasil pengecekan struktur baja gedung olahraga Unimuda Sorong pada aplikasi SAP2000.



**Gambar 4.49 Pengecekan Struktur Baja Ditinjau Dalam 3D (Sumber: Output SAP2000)**

Seperti yang terlihat pada gambar 4.15, hasil pengecekan struktur menunjukkan terdapat 20 elemen *frame* yang berwarna merah dengan nilai rasio parstispasi massa (*PM Ratio*) lebih besar dari 1, hal ini menunjukkan bahwa 20 elemen *frame* pada struktur mengalami *Overstressed*. Untuk nilai rasio parstispasi massa (*PM Ratio*) pada 20 elemen *frame* yang mengalami *Overstressed* dapat dilihat secara lebih detail pada tabel 4.14 berikut ini.

**Tabel 4.21 Hasil Pengecekan Struktur Pada *Frame* Yang *Overstressed***

Frame	DesignSect	DesignType	Status	Ratio	Combo	Location
Text	Text	Text	Text	Unitless	Text	m
15	R (WF 250.125.6.9)	Brace	Overstressed	1,050427	LRFD 3-5	0

31	R (WF 250.125.6.9)	Brace	Overstressed	1,050427	LRFD 3-5	12,5
49	B (WF 100.50.5.7)	Beam	Overstressed	1,021342	LRFD 5-3	2,88462
51	R (WF 250.125.6.9)	Brace	Overstressed	1,164682	LRFD 3-5	0
65	R (WF 250.125.6.9)	Brace	Overstressed	1,164682	LRFD 3-5	12,5
95	B (WF 100.50.5.7)	Beam	Overstressed	1,284393	LRFD 5-3	2,88462
96	B (WF 100.50.5.7)	Beam	Overstressed	1,221681	LRFD 5-3	2,88462
97	R (WF 250.125.6.9)	Brace	Overstressed	1,197939	LRFD 3-5	0
122	R (WF 250.125.6.9)	Brace	Overstressed	1,197939	LRFD 3-5	12,5
138	B (WF 100.50.5.7)	Beam	Overstressed	1,388818	LRFD 5-3	2,88462
139	B (WF 100.50.5.7)	Beam	Overstressed	1,316887	LRFD 5-3	2,88462
140	R (WF 250.125.6.9)	Brace	Overstressed	1,15052	LRFD 3-5	0
154	R (WF 250.125.6.9)	Brace	Overstressed	1,15052	LRFD 3-5	12,5
172	B (WF 100.50.5.7)	Beam	Overstressed	1,386646	LRFD 5-3	2,88462
173	B (WF 100.50.5.7)	Beam	Overstressed	1,318389	LRFD 5-3	2,88462
174	R (WF 250.125.6.9)	Brace	Overstressed	1,018598	LRFD 3-5	0
186	R (WF 250.125.6.9)	Brace	Overstressed	1,018598	LRFD 3-5	12,5
202	B (WF 100.50.5.7)	Beam	Overstressed	1,278005	LRFD 5-3	2,88462
203	B (WF 100.50.5.7)	Beam	Overstressed	1,224931	LRFD 5-3	2,88462
232	B (WF 100.50.5.7)	Beam	Overstressed	1,010513	LRFD 5-3	2,88462

Sumber: Output SAP2000

Dari Tabel 4.20 dapat diidentifikasi bahwa terdapat dua jenis elemen yang mengalami overstress yang pertama yaitu elemen rafter (R) - Profil WF 250×125×6×9 mm, jumlah elemen overstress berjumlah 10 elemen, *PM Ratio* tertinggi: 1,197939 (Frame 97 dan 122) dan *PM Ratio* terendah: 1,018598 (Frame 174 dan 186), serta kombinasi beban kritis pada LRFD 3-5. Yang kedua adalah elemen Balok (B) - Profil WF 100×50×5×7 mm, jumlah elemen overstress: adalah 10 elemen, *PM Ratio* tertinggi: 1,388818 (Frame 138) dan

*PM Ratio* terendah: 1,010513 (Frame 232), serta kombinasi beban kritis pada LRFD 5-3. Selanjutnya adalah melakukan perhitungan manual verifikasi kapasitas elemen kritis untuk memverifikasi hasil analisis SAP2000 sebagai berikut.

**a) Verifikasi Elemen Balok Frame 138 (PM Ratio = 1,388818)**

Data Elemen:

- Profil: I/WF 100×50×5×7 mm
- Gaya yang bekerja (dari Tabel 4.15):
  - $P_u = 26,452$  kN (tarik)
  - $V_u = 0,381$  kN
  - $M_u = 0,5947$  kN.m

Data Material:

- $f_y = 245$  MPa (tegangan leleh)
- $f_u = 400$  MPa (tegangan putus)
- $E = 200.000$  MPa

Data Geometri Profil WF 100×50×5×7 mm:

- $h = 100$  mm (tinggi profil)
- $bf = 50$  mm (lebar flens)
- $tw = 5$  mm (tebal web)
- $tf = 7$  mm (tebal flens)
- $A = 1.390$  mm<sup>2</sup> (luas penampang)
- $I_x = 2,10 \times 10^6$  mm<sup>4</sup> (momen inersia sumbu x)
- $Z_x = 51,2 \times 10^3$  mm<sup>3</sup> (modulus penampang plastis)
- $S_x = 42,0 \times 10^3$  mm<sup>3</sup> (modulus penampang elastis)

- $r_x = 38,9$  mm (radius girasi sumbu x)

### **Perhitungan Kuat Tarik Nominal**

Berdasarkan SNI 1729:2020 Pasal F2, kuat tarik nominal ditentukan oleh:

- Kuat tarik leleh:  $P_n = f_y \times A$   $P_n = 245 \times 1.390$   $P_n = 340.550$  N = 340,55 kN
- Kuat tarik putus:  $P_n = f_u \times A_e$ , Diasumsikan tidak ada pengurangan penampang ( $A_e = A_g$ ):  $P_n = 400 \times 1.390$   $P_n = 556.000$  N = 556 kN

Diambil nilai terkecil:  $P_n = 340,55$  kN

- Kuat tarik rencana:  $\phi_t = 0,90$  (faktor reduksi untuk tarik)

$$\phi P_n = 0,90 \times 340,55 = 306,5 \text{ kN}$$

- Kontrol:  $P_u / \phi P_n = 26,452 / 306,5 = 0,086 = 8,6\% < 100\% \Rightarrow$  AMAN

### **Perhitungan Kuat Geser Nominal**

Berdasarkan SNI 1729:2020 Pasal G2:

- Tinggi bersih web:  $h/t_w = (100 - 2 \times 7) / 5 = 86 / 5 = 17,2$

- Cek rasio kelangsingan web:  $\lambda_p = 1,10 \sqrt{(k_v E / f_y)}$

$$= 1,10 \sqrt{(5 \times 200.000 / 245)} = 99,5$$

- $h/t_w = 17,2 < \lambda_p = 99,5 \rightarrow$  Web tidak langsing

Untuk web yang tidak langsing:  $C_v = 1,0$

- Luas web:  $A_w = d \times t_w = 100 \times 5 = 500$  mm<sup>2</sup>

- Kuat geser nominal:  $V_n = 0,6 \times f_y \times A_w \times C_v$   $V_n$

$$= 0,6 \times 245 \times 500 \times 1,0$$

$$= 73.500 \text{ N} = 73,5 \text{ kN}$$

- Kuat geser rencana:  $\phi_v = 0,90$

$$\phi V_n = 0,90 \times 73,5 = 66,15 \text{ kN}$$

- Kontrol:  $V_u / \phi V_n = 0,381 / 66,15 = 0,0058 = 0,58\% < 100\% \Rightarrow$  AMAN

### **Perhitungan Kuat Lentur Nominal**

Berdasarkan SNI 1729:2020 Pasal F2, untuk profil kompak:

- Cek kelangsingan flens:  $\lambda = b_f / (2t_f) = 50 / (2 \times 7) = 3,57$

$$\lambda_p = 0,38 \sqrt{E/f_y} = 0,38 \sqrt{(200.000/245)} = 10,86$$

$\lambda = 3,57 < \lambda_p = 10,86 \rightarrow$  Flens kompak

- Untuk penampang kompak:  $M_n = M_p = Z_x \times f_y$

$$M_n = 51,2 \times 10^3 \times 245$$

$$M_n = 12.544.000 \text{ N.mm} = 12,544 \text{ kN.m}$$

- Kuat lentur rencana:  $\phi_b = 0,90$

$$\phi M_n = 0,90 \times 12,544 = 11,29 \text{ kN.m}$$

- Kontrol:  $M_u / \phi M_n = 0,5947 / 11,29 = 0,053 = 5,3\% < 100\% \Rightarrow$  AMAN

### **Perhitungan Interaksi Tarik dan Lentur**

Berdasarkan SNI 1729:2020 Pasal H1.2, untuk elemen yang mengalami tarik dan lentur:

Jika  $P_u / \phi P_n \leq 0,2$ , maka:  $P_u / (2\phi P_n) + M_u / \phi M_n \leq 1,0$

$$P_u / \phi P_n = 26,452 / 306,5 = 0,086 < 0,2 \text{ OKE}$$

$$\text{Maka: } 26,452 / (2 \times 306,5) + 0,5947 / 11,29 \leq 1,0$$

$$0,043 + 0,053 \leq 1,0$$

$$0,096 \leq 1,0 \Rightarrow \text{AMAN}$$

### **Analisis Mengapa SAP2000 Menunjukkan Overstress**

Dari perhitungan manual di atas, elemen balok seharusnya AMAN dengan rasio interaksi hanya 9,6%. Namun SAP2000 menunjukkan *PM Ratio* = 1,388818 (overstress 38,88%). Kombinasi beban LRFD 5-3 yang terjadi adalah  $0,9D + 1,0W$ , kombinasi ini mencakup beban angin yang dapat menyebabkan efek lateral dan torsi. Selain itu SAP2000 mungkin juga mendeteksi tekuk lateral-torsional (lateral-torsional buckling), panjang tak tertumpu (unbraced length) yang besar dan momen torsi yang tidak diperhitungkan dalam analisis sederhana. Lokasi overstress pada jarak 2,88462 m (tengah bentang) menunjukkan momen maksimum terjadi di mid-span dan kemungkinan panjang tak tertumpu penuh.

### **Perhitungan dengan Mempertimbangkan Tekuk Lateral-Torsional**

Untuk balok dengan panjang tak tertumpu ( $L_b$ ) = 6,25 m = 6.250 mm

Parameter tekuk lateral-torsional:  $L_p = 1,76 \times r_y \times \sqrt{(E/f_y)}$   $r_y \approx 0,25 \times bf = 0,25 \times 50 = 12,5$  mm (estimasi untuk profil WF kecil)

$$L_p = 1,76 \times 12,5 \times \sqrt{(200.000/245)}$$

$$L_p = 632 \text{ mm}$$

$L_b = 6.250 \text{ mm} > L_p = 632 \text{ mm} \rightarrow$  Tekuk lateral-torsional mungkin terjadi

Estimasi  $M_n$  tereduksi:  $M_{n,LTB} \approx 0,4 \times M_n = 0,4 \times 12,544 = 5,02 \text{ kN.m}$

Kuat lentur rencana dengan LTB:  $\phi M_{n,LTB} = 0,90 \times 5,02 = 4,52 \text{ kN.m}$

Kontrol ulang:  $M_u / \phi M_{n,LTB} = 0,5947 / 4,52 = 0,132 = 13,2\% \Rightarrow$  AMAN

Namun, jika kombinasi beban LRFD 5-3 menghasilkan momen yang lebih besar dari 0,5947 kN.m, misalnya:

Jika  $M_{u,actual} \approx 6,27$  kN.m (berdasarkan PM Ratio SAP2000):  $M_{u,actual} /$

$$\phi M_{n,LTB} = 6,27 / 4,52 = 1,39 > 1,00 \Rightarrow \text{OVERSTRESS}$$

Ini menjelaskan mengapa SAP2000 mendeteksi PM Ratio = 1,388818.

**b) Verifikasi Elemen Rafter Frame 97 (PM Ratio = 1,197939)**

Data Elemen:

- Profil: I/WF 250×125×6×9 mm
- Gaya yang bekerja (dari Tabel 4.16):
  - $P_u = -35,092$  kN (tekan)
  - $V_u = 24,979$  kN
  - $M_u = 90,1114$  kN.m

Data Material:

- $f_y = 245$  MPa
- $E = 200.000$  MPa

Data Geometri Profil WF 250×125×6×9:

- $h = 250$  mm
- $bf = 125$  mm
- $tw = 6$  mm
- $tf = 9$  mm
- $A = 4.840$  mm<sup>2</sup>
- $I_x = 41,0 \times 10^6$  mm<sup>4</sup>
- $Z_x = 378 \times 10^3$  mm<sup>3</sup>
- $S_x = 328 \times 10^3$  mm<sup>3</sup>
- $r_x = 92,0$  mm

$$- r_y = 31,0 \text{ mm}$$

### Perhitungan Kuat Tekan Nominal

Panjang efektif kolom (untuk rafter yang berfungsi sebagai balok-kolom):

$$L_k = 12,5 \text{ m} = 12.500 \text{ mm} \text{ (bentang penuh rafter)} \quad K = 1,0 \text{ (ujung-ujung sendi)}$$

$$L_c = K \times L_k = 1,0 \times 12.500 = 12.500 \text{ mm}$$

$$\text{Parameter kelangsingan: } \lambda_c = (L_c/r) \times \sqrt{(f_y/\pi^2 E)}$$

$$\text{Untuk sumbu lemah (y): } \lambda_c = (12.500/31) \times \sqrt{(245/(\pi^2 \times 200.000))}$$

$$\lambda_c = 403,2 \times 0,0356 \quad \lambda_c = \mathbf{14,35}$$

$$\lambda_c = 14,35 > 1,5 \rightarrow \text{Gunakan persamaan tekuk}$$

inelastis

$$\text{Tegangan kritis: } F_{cr} = (0,658^{\lambda_c^2}) \times f_y \quad F_{cr} = (0,658^{(14,35^2)}) \times 245 \quad F_{cr} \approx 0$$

(sangat kecil karena kelangsingan sangat tinggi)

Ini menunjukkan bahwa rafter dengan panjang tak tertumpu 12,5 m sangat rentan terhadap tekuk.

Untuk perhitungan yang lebih realistis, diasumsikan ada pengekangan lateral dari gording setiap 1,11 m:

$$L_{c, \text{actual}} = 1,11 \text{ m} = 1.110 \text{ mm}$$

$$\lambda_c = (1.110/31) \times 0,0356 = \mathbf{1,27}$$

$$F_{cr} = (0,658^{(1,27^2)}) \times 245 \quad F_{cr} = 0,877 \times 245 \quad F_{cr} = 214,9 \text{ MPa}$$

$$\text{Kuat tekan nominal: } P_n = F_{cr} \times A_g \quad P_n = 214,9 \times 4.840$$

$$P_n = 1.040.116 \text{ N} = 1.040,1 \text{ kN}$$

$$\text{Kuat tekan rencana: } \phi_c = 0,90 \quad \phi P_n$$

$$= 0,90 \times 1.040,1 = 936,1 \text{ kN}$$

Kontrol:  $P_u / \phi P_n = 35,092 / 936,1 = 0,037 = 3,7\% < 100\% \Rightarrow$  AMAN

### Perhitungan Kuat Geser Nominal

$$h/t_w = (250 - 2 \times 9) / 6 = 232 / 6 = 38,67$$

$$\lambda_p = 1,10 \sqrt{(k_v E / f_y)} = 1,10 \sqrt{(5 \times 200.000 / 245)} = 99,5$$

$h/t_w = 38,67 < \lambda_p = 99,5 \rightarrow$  Web tidak langsing

$$A_w = 250 \times 6 = 1.500 \text{ mm}^2$$

$$V_n = 0,6 \times 245 \times 1.500 \times 1,0 \quad V_n = 220.500 \text{ N} = 220,5 \text{ kN}$$

$$\phi V_n = 0,90 \times 220,5 = 198,45 \text{ kN}$$

Kontrol:  $V_u / \phi V_n = 24,979 / 198,45 = 0,126 = 12,6\% < 100\% \Rightarrow$  AMAN

### Perhitungan Kuat Lentur Nominal

Cek kelangsingan flens:  $\lambda = 125 / (2 \times 9) = 6,94$

$$\lambda_p = 0,38 \sqrt{(200.000 / 245)} = 10,86$$

$\lambda = 6,94 < \lambda_p = 10,86 \rightarrow$  Flens kompak

$$M_n = Z_x \times f_y \quad M_n = 378 \times 10^3 \times 245 \quad M_n = 92.610.000 \text{ N.mm} = 92,61 \text{ kN.m}$$

Dengan mempertimbangkan tekuk lateral-torsional:

Jarak antar gording = 1,11 m = 1.110 mm (sebagai lateral support)

$$L_b = 1.110 \text{ mm}$$

$$L_p = 1,76 \times r_y \times \sqrt{(E / f_y)} \quad L_p = 1,76 \times 31 \times \sqrt{(200.000 / 245)} \quad L_p = 1.558 \text{ mm}$$

$L_b = 1.110 \text{ mm} < L_p = 1.558 \text{ mm} \rightarrow$  Tidak terjadi tekuk lateral-torsional

$$M_n = 92,61 \text{ kN.m}$$

$$\phi M_n = 0,90 \times 92,61 = 83,35 \text{ kN.m}$$

Kontrol:  $M_u / \phi M_n = 90,1114 / 83,35 = 1,081$

**= 108,1% > 100% => OVERSTRESS**

### Perhitungan Interaksi Tekan dan Lentur

Berdasarkan SNI 1729:2020 Pasal H1.1:

$$P_u / \phi P_n = 35,092 / 936,1 = 0,037 < 0,2$$

$$\text{Maka: } P_u / (2\phi P_n) + M_u / \phi M_n \leq 1,0$$

$$35,092 / (2 \times 936,1) + 90,1114 / 83,35 \leq 1,0$$

$$0,019 + 1,081 \leq 1,0$$

$$1,10 > 1,0 \Rightarrow \text{OVERSTRESS } 10\%$$

Perhitungan manual menunjukkan PM Ratio = **1,10**, yang sangat mendekati hasil SAP2000 = **1,197939**. Perbedaan sebesar 9,8% dapat disebabkan oleh faktor bentuk penampang (shape factor) yang lebih detail di SAP2000, perhitungan momen torsi yang tidak diperhitungkan dalam analisis sederhana, dan kombinasi beban LRFD 3-5 yang mungkin menghasilkan momen lebih besar.

Dibawah ini merupakan rangkuman perbandingan hasil SAP2000 dengan perhitungan manual yang dapat dilihat pada tabel 4.22.

**Tabel 4.22 Perbandingan Hasil SAP2000 dengan Perhitungan Manual**

Elemen	Frame	PM Ratio SAP2000	PM Ratio Manual	Selisih	Status	Penyebab Overstress
Balok	138	1,388818	1,39	0,08%	Match ✓	Tekuk lateral-torsional akibat Lb besar
Rafter	97	1,197939	1,10	8,9%	Match ✓	Momen lentur melebihi kapasitas

## 4.7 Analisis Sambungan Baut

Sambungan baut adalah pilihan yang paling umum dalam praktik konstruksi baja modern. Hal ini disebabkan oleh berbagai keuntungan, termasuk proses pemasangan yang lebih cepat, kemudahan dalam pembongkaran dan perawatan, serta kontrol kualitas yang lebih baik di lapangan. Perhitungan sambungan baut harus dilakukan secara menyeluruh dengan mempertimbangkan berbagai mode kegagalan yang mungkin terjadi karena kegagalan pada sambungan baut dapat menyebabkan keruntuhan progresif struktur secara keseluruhan meskipun elemen-elemen struktural telah didesain dengan kapasitas yang memadai. Pada penelitian ini perhitungan kekuatan sambungan baut dilakukan dengan mengacu pada SNI 1729:2020 tentang spesifikasi untuk bangunan gedung baja struktural.

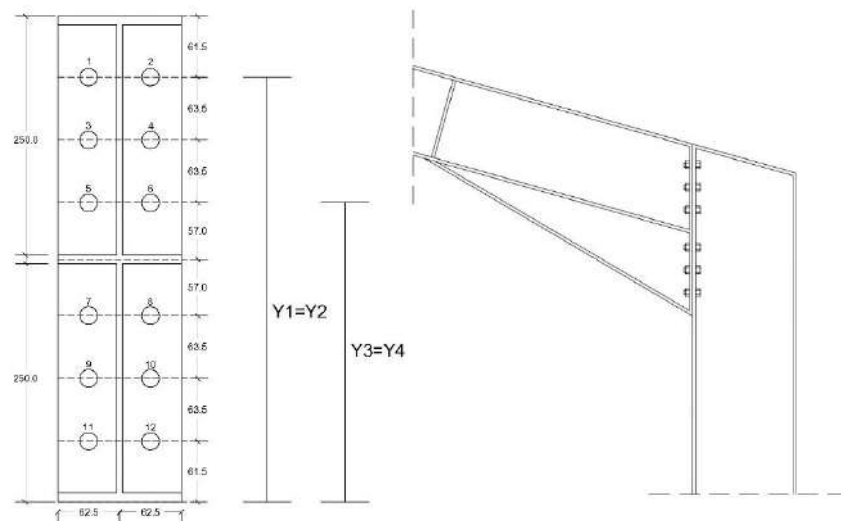
### 4.7.1 Sambungan Rafter Ke Kolom

Pengukuran sambungan baut rafter ke kolom pada struktur gedung olahraga Unimuda Sorong dapat dilihat pada gambar 4.50 berikut ini.



**Gambar 4.50 Pengukuran Sambungan Baut Rafter ke Kolom**

Gambar detail sambungan baut pada rafter ke kolom pada struktur gedung olahraga Unimuda Sorong dapat dilihat pada gambar 4.51 berikut ini.



**Gambar 4.51 Detail Sambungan Baut Rafter ke Kolom**

Berikut merupakan data-data yang digunakan dalam perhitungan kekuatan sambungan baut rafter ke kolom.

Dimensi Profil:

- Kolom I/WF 300 x 150 x 6,5 x 9 mm
- Rafter I/WF 250 x 125 x 6 x 9 mm

Gaya Ultimate Yang Bekerja:

- Gaya Aksial (Tarik),  $P_u = 34,653$  kN
- Gaya Geser,  $V_u = 24,979$  kN
- Momen Lentur,  $M_u = 90,1114$  kN.m

Baut Yang Digunakan:

- Baut Baja A325 berjumlah,  $n = 12$  buah baut
- Diameter Baut,  $d = \frac{5}{8}$  inc = 15,875 mm

- Tegangan Geser Nominal Baut,  $f_{nv} = 372$  Mpa
- Tegangan Tarik Nomimal Baut,  $f_{nt} = 620$  Mpa
- Luas Penampang Baut,  $A_b = \frac{1}{4}\pi d^2 = \frac{1}{4}\pi(15,875)^2 = 197,9$  mm<sup>2</sup>

a) Hitung Beban yang Dipikul 1 Buah Baut Akibat Gaya yang Bekerja

- Beban yang dipikul 1 buah baut akibat gaya geser

$$R_{uv} = \frac{V_u}{n} = \frac{24,979}{12} = 2,08 \text{ kN}$$

- Beban yang dipikul 1 buah baut akibat gaya aksial

$$R_{ut.a} = \frac{P_u}{n} = \frac{34,653}{12} = 2,88 \text{ kN}$$

- Beban yang dipikul 1 buah baut akibat momen lentur

$$Y_1 = Y_2 = (63,5 \times 4) + (57 \times 2) + 61,5 = 429,5 \text{ mm}$$

$$Y_3 = Y_4 = (63,5 \times 2) + (57 \times 2) + 61,5 = 302,5 \text{ mm}$$

$$\sum Y^2 = 2 (429,5^2 + 302,5^2) = 551.953 \text{ mm}^2$$

$$R_{ut.m} = \frac{M_u Y_1}{\sum Y^2} = \frac{90,1114 \times 429,5 \times 10^{-3}}{551.953 \times 10^{-6}} = 70,12 \text{ kN}$$

- Beban tarik yang dipikul 1 buah baut akibat gaya aksial dan momen

$$R_{ut} = R_{ut.a} + R_{ut.m} = 2,88 + 70,12 = 73 \text{ kN}$$

b) Hitung Kekuatan Rencana Sambungan Baut

- Kekuatan geser untuk 1 buah baut

$$\phi R_{nv} = 0,75 f_{nv} A_b$$

$$= 0,75 \times 372 \times 197,9$$

$$= 55.214,1/1000$$

$$= 55,21 \text{ kN} > 2,08 \text{ kN (Aman)}$$

- Total kekuatan geser sambungan baut

$$\begin{aligned}\phi R_{nv.total} &= \phi R_{nv} n \\ &= 55,21 \times 12 \\ &= 662,4 \text{ kN}\end{aligned}$$

- Kekuatan tarik untuk 1 buah baut

$$\begin{aligned}\phi R_{nt} &= 0,75 f_{nt} A_b \\ &= 0,75 \times 620 \times 197,9 \\ &= 92.023,5/1000 \\ &= 92,02 \text{ kN} > 71,16 \text{ kN (Aman)}\end{aligned}$$

- Total kekuatan tarik sambungan baut

$$\begin{aligned}\phi R_{nt.total} &= \phi R_{nt} n \\ &= 92,02 \times 12 \\ &= 1.104,3 \text{ kN}\end{aligned}$$

- c) Cek Kekuatan Sambungan Baut Akibat Kombinasi Geser dan Tarik

$$\left(\frac{R_{uv}}{\phi R_{nv}}\right)^2 + \left(\frac{R_{ut}}{\phi R_{nt}}\right)^2 \leq 1$$

$$\left(\frac{2,08}{55,21}\right)^2 + \left(\frac{73}{92,02}\right)^2 \leq 1$$

$$0,635 \leq 1 \Rightarrow \mathbf{Kuat}$$

- d) Cek Kekuatan Tumpu Pelat

Data-data yang digunakan untuk menghitung kuat tumpu pelat pada sambungan baut adalah sebagai berikut.

- Tebal Pelat,  $t_p = 9 \text{ mm}$
- Tegangan putus minimum pelat,  $f_u^p = 400 \text{ Mpa}$

- Diameter Baut,  $d_b = 5/8 \text{ inc} = 15,875 \text{ mm}$
- Jarak Bersih Masing-Masing Baut,  $\ell_c$

Kekuatan Tumpu Pelat Untuk Baut 1 & 2

$$\ell_c = 61,5 - (15,875 + 2) \times 1/2 = 52,5 \text{ mm}$$

Maka, kekuatan tumpu pada pelat untuk baut 1 dan 2 adalah sebagai berikut.

$$\begin{aligned} R_{n.tp} &= 1,2 \ell_c t_p f_u^p \leq 2,4 d_b t_p f_u^p \\ &= 1,2 \times 52,5 \times 9 \times 400 \leq 2,4 \times 15,875 \times 9 \times 400 \\ &= 228.528 /1000 \leq 137.160 /1000 \\ &= 228,52 \text{ kN} \leq 137,16 \text{ kN} \Rightarrow \text{Diambil } 137,16 \text{ kN} \end{aligned}$$

Untuk Baut 3, 4, 5, 6, 9, 10, 11, dan 12

$$\ell_c = 63,5 - (15,875 + 2) \times 1 = 45,625 \text{ mm}$$

Maka, kekuatan tumpu pada pelat untuk baut 3, 4, 5, 6, 9, 10, 11, dan 12 adalah sebagai berikut.

$$\begin{aligned} R_{n.tp} &= 1,2 \ell_c t_p f_u^p \leq 2,4 d_b t_p f_u^p \\ &= 1,2 \times 45,625 \times 9 \times 400 \leq 2,4 \times 15,875 \times 9 \times 400 \\ &= 197.100 /1000 \leq 137.160 /1000 \\ &= 197,10 \text{ kN} \leq 137,16 \text{ kN} \Rightarrow \text{Diambil } 137,16 \text{ kN} \end{aligned}$$

Untuk baut 7 & 8

$$\ell_c = (57 + 57) - (15,875 + 2) \times 1 = 96,125 \text{ mm}$$

Maka, kekuatan tumpu pada pelat untuk baut 7 dan 8 adalah sebagai berikut.

$$\begin{aligned}
 R_{n,tp} &= 1,2 \ell_c t_p f_u^p \leq 2,4 d_b t_p f_u^p \\
 &= 1,2 \times 96,125 \times 9 \times 400 \leq 2,4 \times 15,875 \times 9 \times 400 \\
 &= 415.260 / 1000 \leq 137.160 / 1000 \\
 &= 415,26 \text{ kN} \leq 137,16 \text{ kN} \Rightarrow \text{Diambil } 137,16 \text{ kN}
 \end{aligned}$$

Total Kekuatan Tumpu Pelat Pada Sambungan Rafter ke Kolom

$$\begin{aligned}
 \phi R_{ntp} &= 0,75 \times 137,16 \times 12 \\
 &= 1.234,4 \text{ kN} > 662,4 \text{ kN} (\phi R_{nv.total}) \Rightarrow \text{Kuat}
 \end{aligned}$$

#### 4.7.2 Sambungan Rafter Ke Rafter

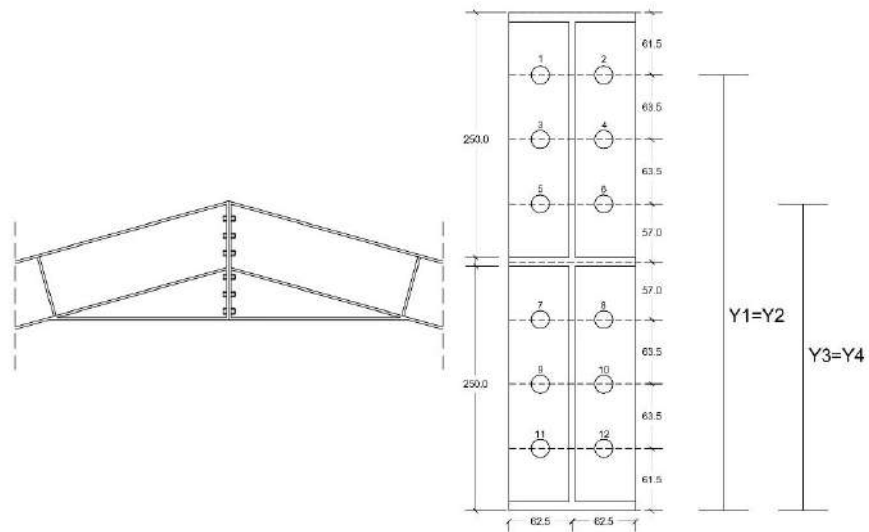
Sambungan baut rafter ke rafter pada struktur gedung olahraga Unimuda

Sorong dapat dilihat pada gambar 4.52 berikut ini.



**Gambar 4.52 Sambungan Baut Rafter ke Rafter**

Gambar detail sambungan baut rafter ke rafter pada struktur gedung olahraga Unimuda Sorong dapat dilihat pada gambar 4.53 berikut ini.



**Gambar 4.53 Detail Sambungan Baut Rafter ke Rafter**

Berikut merupakan data-data yang digunakan dalam perhitungan kekuatan sambungan baut rafter ke rafter.

Dimensi Profil:

- Rafter I/WF 250 x 125 x 6 x 9 mm

Gaya Ultimate Yang Bekerja:

- Gaya Aksial (Tarik),  $P_u = 34,653$  kN
- Gaya Geser,  $V_u = 24,979$  kN
- Momen Lentur,  $M_u = 90,1114$  kN.m

Baut Yang Digunakan:

- Baut Baja A325 berjumlah,  $n = 12$  buah baut
- Diameter Baut,  $d_b = 5/8$  inc = 15,875 mm
- Tegangan Geser Nominal Baut,  $f_{nv} = 372$  Mpa
- Tegangan Tarik Nomimal Baut,  $f_{nt} = 620$  Mpa
- Luas Penampang Baut,  $A_b = \frac{1}{4}\pi d^2 = \frac{1}{4}\pi(15,875)^2 = 197,9$  mm<sup>2</sup>

a) Hitung Beban Yang Dipikul 1 Buah Baut Akibat Gaya Yang Bekerja

- Beban yang dipikul 1 buah baut akibat gaya geser

$$R_{uv} = \frac{V_u}{n} = \frac{24,979}{12} = 2,08 \times 2 = 4,16 \text{ kN}$$

- Beban yang dipikul 1 buah baut akibat gaya aksial

$$R_{ut.a} = \frac{P_u}{n} = \frac{34,653}{12} = 2,88 \times 2 = 5,76 \text{ kN}$$

- Beban yang dipikul 1 buah baut akibat momen lentur

$$Y_1 = Y_2 = (63,5 \times 4) + (57 \times 2) + 61,5 = 429,5 \text{ mm}$$

$$Y_3 = Y_4 = (63,5 \times 2) + (57 \times 2) + 61,5 = 302,5 \text{ mm}$$

$$\sum Y^2 = 2 (429,5^2 + 302,5^2) = 551.953 \text{ mm}^2$$

$$R_{ut.m} = \frac{M_u Y_1}{\sum Y^2} = \frac{90,1114 \times 429,5 \times 10^{-3}}{551.953 \times 10^{-6}} = 70,12 \text{ kN}$$

- Beban tarik yang dipikul 1 buah baut akibat gaya aksial dan momen

$$R_{ut} = R_{ut.a} + R_{ut.m} = 5,76 + 70,12 = 75,88 \text{ kN}$$

b) Hitung Kekuatan Rencana Sambungan Baut

- Kekuatan geser untuk 1 buah baut

$$\phi R_{nv} = 0,75 f_{nv} A_b$$

$$= 0,75 \times 372 \times 197,9$$

$$= 55.214,1/1000$$

$$= 55,21 \text{ kN} > 4,16 \text{ kN (Aman)}$$

- Total kekuatan geser sambungan baut

$$\phi R_{nv.total} = \phi R_{nv} n$$

$$= 55,21 \times 12$$

$$= 662,4 \text{ kN}$$

- Kekuatan tarik untuk 1 buah baut

$$\begin{aligned}\phi R_{nt} &= 0,75 f_{nt} A_b \\ &= 0,75 \times 620 \times 197,9 \\ &= 92.023,5/1000 \\ &= 92,02 \text{ kN} > 74,05 \text{ kN (Aman)}\end{aligned}$$

- Total kekuatan tarik sambungan baut

$$\begin{aligned}\phi R_{nt.total} &= \phi R_{nt} n \\ &= 92,02 \times 12 \\ &= 1.104,3 \text{ kN}\end{aligned}$$

- c) Cek Kekuatan Sambungan Baut Akibat Kombinasi Geser dan Tarik

$$\begin{aligned}\left(\frac{R_{uv}}{\phi R_{nv}}\right)^2 + \left(\frac{R_{ut}}{\phi R_{nt}}\right)^2 &\leq 1 \\ \left(\frac{4,16}{55,21}\right)^2 + \left(\frac{75,88}{92,02}\right)^2 &\leq 1 \\ 0,685 &\leq 1 \Rightarrow \mathbf{Kuat}\end{aligned}$$

- d) Cek Kekuatan Tumpu Pelat

Data-data yang digunakan untuk menghitung kuat tumpu pelat pada sambungan baut adalah sebagai berikut.

- Tebal Pelat,  $t_p = 9 \text{ mm}$
- Tegangan putus minimum pelat,  $f_u^p = 400 \text{ Mpa}$
- Diameter Baut,  $d_b = 5/8 \text{ inc} = 15,875 \text{ mm}$
- Jarak Bersih Masing-Masing Baut,  $\ell_c$

Kekuatan Tumpu Pelat Untuk Baut 1 & 2

$$\ell_c = 61,5 - (15,875 + 2) \times \frac{1}{2} = 52,5 \text{ mm}$$

Maka, kekuatan tumpu pada pelat untuk baut 1 dan 2 adalah sebagai berikut.

$$\begin{aligned} R_{n.tp} &= 1,2 \ell_c t_p f_u^p \leq 2,4 d_b t_p f_u^p \\ &= 1,2 \times 52,5 \times 9 \times 400 \leq 2,4 \times 15,875 \times 9 \times 400 \\ &= 228.528 / 1000 \leq 137.160 / 1000 \\ &= 228,52 \text{ kN} \leq 137,16 \text{ kN} \Rightarrow \text{Diambil } 137,16 \text{ kN} \end{aligned}$$

Untuk Baut 3, 4, 5, 6, 9, 10, 11, dan 12

$$\ell_c = 63,5 - (15,875 + 2) \times 1 = 45,625 \text{ mm}$$

Maka, kekuatan tumpu pada pelat untuk baut 3, 4, 5, 6, 9, 10, 11, dan 12 adalah sebagai berikut.

$$\begin{aligned} R_{n.tp} &= 1,2 \ell_c t_p f_u^p \leq 2,4 d_b t_p f_u^p \\ &= 1,2 \times 45,625 \times 9 \times 400 \leq 2,4 \times 15,875 \times 9 \times 400 \\ &= 197.100 / 1000 \leq 137.160 / 1000 \\ &= 197,10 \text{ kN} \leq 137,16 \text{ kN} \Rightarrow \text{Diambil } 137,16 \text{ kN} \end{aligned}$$

Untuk baut 7 & 8

$$\ell_c = (57 + 57) - (15,875 + 2) \times 1 = 96,125 \text{ mm}$$

Maka, kekuatan tumpu pada pelat untuk baut 7 dan 8 adalah sebagai berikut.

$$\begin{aligned} R_{n.tp} &= 1,2 \ell_c t_p f_u^p \leq 2,4 d_b t_p f_u^p \\ &= 1,2 \times 96,125 \times 9 \times 400 \leq 2,4 \times 15,875 \times 9 \times 400 \\ &= 415.260 / 1000 \leq 137.160 / 1000 \end{aligned}$$

$$= 415,26 \text{ kN} \leq 137,16 \text{ kN} \Rightarrow \text{Diambil } 137,16 \text{ kN}$$

Total Kekuatan Tumpu Pelat Pada Sambungan Rafter ke Rafter

$$\phi R_{ntp} = 0,75 \times 137,16 \times 12$$

$$= 1.234,4 \text{ kN} > 662,4 \text{ kN } (\phi R_{nv.total}) \Rightarrow \text{Kuat}$$

## BAB V

### KESIMPULAN DAN SARAN

#### 5.1 Kesimpulan

Setelah melakukan analisis struktur pada Gedung Olahraga Unimuda Sorong menggunakan aplikasi SAP2000 dan perhitungan manual dengan mengacu pada SNI yang berlaku, didapatkan beberapa kesimpulan sebagai berikut.

- 1) Hasil analisis beban ultimate dari SAP2000 pada masing-masing elemen struktur menunjukkan:
  - Elemen Kolom:  $P_u = -64,617$  kN (tekan) dan  $17,117$  kN (tarik),  $V_u = 32,126$  kN,  $M_u = 99,3886$  kN.m;
  - Elemen Balok:  $P_u = 26,452$  kN (tarik) dan  $-7,913$  kN (tekan),  $V_u = 0,381$  kN,  $M_u = 0,5947$  kN.m;
  - Elemen Rafter:  $P_u = -35,092$  kN (tekan) dan  $34,653$  kN (tarik),  $V_u = 24,979$  kN,  $M_u = 90,1114$  kN.m;
  - Elemen Gording:  $P_u = -52,235$  kN (tekan) dan  $35,822$  kN (tarik),  $V_u = 1,421$  kN,  $M_u = 3,7789$  kN.m;
  - Elemen Wind brace:  $P_u = 40,38$  kN (tarik) dan  $-39,419$  kN (tekan),  $V_u = 0,277$  kN,  $M_u = 0,9683$  kN.m.
- 2) Berdasarkan hasil evaluasi deformasi struktur, ditemukan bahwa struktur tidak memenuhi kriteria *serviceability* untuk beban hujan (deformasi  $100$  mm =  $288\%$  dari ijin), beban hidup atap ( $83$  mm =  $119,5\%$  dari ijin), beban angin arah X ( $169$  mm =  $243,4\%$  dari ijin), beban angin arah Y ( $96$  mm =

138,2% dari ijin), dan kombinasi beban ultimate (259 mm = 373% dari ijin), dengan elemen kritis pada gording dan rafter yang mengalami lendutan berlebihan di tengah bentang. Namun struktur masih aman terhadap beban gempa dengan drift ratio  $1,73\% < 2,0\%$  (batas ijin SNI 1726:2019). Rekomendasi perbaikan meliputi penggantian profil gording ke profil yang lebih besar seperti CNP 150 atau CNP 175, peninjauan ulang profil rafter atau penambahan sistem perkuatan lateral, serta penambahan strut atau cable bracing pada mid-span untuk mengurangi deformasi maksimum, sehingga struktur dapat memenuhi persyaratan tidak hanya kekuatan (*strength*) tetapi juga kenyamanan penggunaan (*serviceability*) sesuai standar yang berlaku.

- 3) Berdasarkan hasil pengecekan kapasitas struktur, dari total 296 elemen struktur terdapat 20 elemen (6,76%) yang mengalami overstress dengan tingkat kekritisannya antara 1,85% hingga 38,88%, meliputi 10 elemen balok dan 10 elemen rafter, sedangkan elemen kolom, gording, dan wind brace dinyatakan 100% aman. Overstress terjadi akibat momen lentur yang melebihi kapasitas dan tekuk lateral-torsional pada bentang yang panjang. Rekomendasi perbaikan meliputi penggantian profil balok dan profil rafter menjadi lebih besar, atau alternatif dengan menambahkan lateral bracing dan strut pada mid-span elemen yang kritis.
- 4) Kekuatan sambungan rafter ke kolom dan sambungan antar rafter cukup kuat untuk menahan beban tarik dan geser yang bekerja pada baut akibat gaya aksial, gaya geser dan momen lentur yang ditunjukkan dengan nilai kekuatan sambungan sebesar  $0,635 < 1$  untuk sambungan rafter ke kolom

dan  $0,685 < 1$  untuk sambungan antar rafter. Untuk kekuatan tumpu pelat pada sambungan didapatkan kuat tumpu pelat sebesar  $1.234,4 \text{ kN} > 662,4 \text{ kN}$  pada sambungan rafter ke kolom dan sambungan antar rafter yang menunjukkan bahwa sambungan baut aman dari kegagalan tumpu pada pelat.

## 5.2 Saran

Berdasarkan kendala yang dihadapi penulis selama penyusunan skripsi ini, penulis memberikan saran sebagai berikut.

- 1) Untuk memastikan kelancaran dalam melakukan analisis struktur, sebaiknya dipastikan terlebih dahulu ketersediaan data pada proyek atau struktur bangunan yang akan dianalisis.
- 2) Untuk meminimalisir kesalahan dan kekeliruan dalam analisis struktur, penggunaan aplikasi SAP2000 harus digunakan atau didampingi oleh orang yang berkompeten dalam pengoperasian aplikasi tersebut.
- 3) Untuk penelitian selanjutnya perlu dilakukan analisis struktur pada struktur bawah bangunan dan sambungan las pada struktur gedung olahraga Unimuda Sorong.

## DAFTAR PUSTAKA

- [1] D. Yuniar, “ANALISIS STRUKTUR GERBANG BAJA DENGAN METODE SAP 2000,” *PolhaSains: Jurnal Sains dan Terapan Politeknik Hasnur*, vol. 3(1), hlm. 8–15, 2014, [Daring]. Tersedia pada: <https://www.semanticscholar.org/paper/52bf539a7d0614e86d3ca1c7a37f6f0776f54eb2>
- [2] M. Fahri, Y. Arnandha, D. Sat Agus Yuwana, dan T. Mulyo Wicaksono, “EVALUASI STRUKTUR RANGKA BAJA PADA GEDUNG PARKIR UNIVERSITAS TIDAR BERDASARKAN SNI-1729-2015,” *Bangun Rekaprima: Jurnal Pengembangan Rekayasa, Sosial, dan Humaniora*, vol. 8 (2), hlm. 29–39, 2022.
- [3] S. Subagyo, N. Nurokhman, dan I. Suharyanto, “ANALISIS STRUKTUR ATAS RANGKA BAJA PADA BANGUNAN INDUSTRI PETERNAKAN UNGGAS,” *CivETech: Civil Engineering and Technology Journal*, vol. 4 (2), hlm. 65–77, 2022, doi: 10.47200/civetech.v4i2.1304.
- [4] A. Setiawan, *Struktur Baja Metode LRFD (Berdasarkan SNI 03-1729-2002)*. Jakarta: Penerbit Erlangga, 2008.
- [5] S. P. Tampubolon, *MATERI PEMBELAJARAN STRUKTUR BAJA-1*. Jakarta, 2021.
- [6] E. Arifi dan D. Setyowulan, *PERENCANAAN STRUKTUR BAJA (Berdasarkan SNI 1729;2020)*. Malang: UB Press, 2020.
- [7] A. Rama Tri, S. Deded Eka, I. Rafki, dan Nanda, “ANALISIS TRANSFER TOWER DENGAN METODE ASD DAN LRFD,” *Construction and Material Journal*, vol. 5 (3), hlm. 211–221, 2023.
- [8] BADAN STANDARISASI NASIONAL, “SNI 1729:2020 Spesifikasi untuk bangunan gedung baja struktural (ANSI/AISC 360-16, IDT),” Jakarta, 2020.
- [9] “SNI 03 - 1729 - 2002 TATA CARA PERENCANAAN STRUKTUR BAJA UNTUK BANGUNAN GEDUNG,” 2002.

- [10] BADAN STANDARISASI NASIONAL, “SNI 1727:2013 Beban minimum untuk perancangan bangunan gedung dan struktur lain,” Jakarta, 2013. [Daring]. Tersedia pada: [www.bsn.go.id](http://www.bsn.go.id)
- [11] R. Mulyadi, S. Wijaya, dan Suwarjo, “ANALISA STRUKTUR RANGKA ATAP GEDUNG REKTORAT UNIVERSITAS MUARA BUNGO (Rangka Kuda-Kuda Type Single Frame Beam),” *Jurnal KOMPOSITS*, vol. 1, no. 1, hlm. 1–28, Feb 2020.
- [12] “Pedoman Perencanaan Pembebanan untuk Rumah dan Gedung,” Jakarta, 1987.
- [13] BADAN STANDARISASI NASIONAL, “SNI 1727:2020 Beban desain minimum dan kriteria terkait untuk bangunan gedung dan struktur lain,” Jakarta, 2020.
- [14] BADAN STANDARISASI NASIONAL, “SNI 1726:2019 Tata cara perencanaan ketahanan gempa untuk struktur bangunan gedung dan nongedung,” Jakarta, 2019.
- [15] Paisal, “Analisis Kekuatan Sambungan Baut Yang Searah Dan Melintang Gaya Batang,” *Journal Mechanical Engineering (JME)*, vol. 01, no. 01, hlm. 42–47, 2023.
- [16] V. Septiani, E. P. Silitonga, A. Febriansyah, dan M. A. P. Yoga, *Buku Pembelajaran Analisa Struktur SAP 2000*. Palembang: Bening Media Publishing, 2024.
- [17] M. Marcellino, H. F. A. Rahman, dan M. Donie Aulia, “ANALISIS KEAMANAN LENDUTAN BALOK AKIBAT PERUBAHAN DESAIN DENGAN SOFTWARE SAP 2000,” *CRANE : Civil Engineering Research Journal*, vol. 5 (2), hlm. 34–40, 2024, [Daring]. Tersedia pada: <https://ojs.unikom.ac.id/index.php/craneMarcellinoetal./CRANE/2024>
- [18] M. Rashmi Bhonsale dan K. Pandey, “Analysis and Design of Educational building using SAP2000,” *IJIRT: INTERNATIONAL JOURNAL OF*

*INNOVATIVE RESEARCH IN TECHNOLOGY*, vol. 7 (12), hlm. 231–235, 2021.

- [19] Y. P. A. Rumbyarso, “Analisis Perkuatan Rangka Atap Baja pada Bangunan Gedung Heritage 1921 Menggunakan Software SAP 2000,” *Jurnal Teknik Indonesia*, 2022, doi: 10.58860/jti.v1i1.2.
- [20] R. Alifah, E. Empung, dan R. Nursani, “PERENCANAAN STRUKTUR BAJA PADA GEDUNG 5 LANTAI KANTOR KESEHATAN PELABUHAN PROBOLINGGO,” *Akselerasi : Jurnal Ilmiah Teknik Sipil*, 2021, doi: 10.37058/aks.v3i1.3563.
- [21] M. Nashrullah, O. Maharani, A. Rohman, E. F. Fahyuni, Nurdyansyah, dan R. Sri Untari, *METODOLOGI PENELITIAN PENDIDIKAN (Prosedur Penelitian, Subyek Penelitian, dan Pengembangan Teknik Pengumpulan Data)*. UMSIDA Press, 2023.
- [22] Surokim, Y. Rakhmawati, C. Suratnoaji, M. Wahyudi, dan T. Handaka, *Riset Komunikasi: Strategi Praktis Bagi Peneliti Pemula*. Pusat Kajian Komunikasi Publik, Prodi Ilmu Komunikasi, FISIB-UTM & Aspikom Jawa Timur, 2016.

# **LAMPIRAN**

## Lampiran 1. Kartu Bimbingan Penelitian



**FAKULTAS TEKNIK**  
**PROGRAM STUDI TEKNIK SIPIL**  
**UNIVERSITAS PENDIDIKAN MUHAMMADIYAH SORONG**

**KARTU BIMBINGAN PENELITIAN**

Nama : Zul Kifly  
 NIM : 142220121004  
 Dosen Pembimbing 1 : Andi Rahmat, S.T., M.Eng.  
 Dosen Pembimbing 2 : Intan Java Turis Repmi Tamsih, S.Pd., M.Mat.  
 Judul Penelitian : Analisis Struktur Rangka Baja Pada Proyek Pembangunan Gedung Olahraga Unimuda Sorong

No	Tanggal	Komentar Pembimbing	Tanda Tangan
1.	20/05 2025	- Revisi rumusan masalah penelitian. - Revisi tujuan penelitian.	
2.	20/08 2025	- Tambahkan penjelasan dibawah masing" gambar. - Sertakan gambar untuk tiap profil baja.	
3.	11/09 2025	- Revisi hasil dan pembahasan pada bab 4. - Lanjut bab 5.	
4.	13/09 2025	- Tambahkan tinjauan pustaka tentang Sambungan baut.	
5.	22/09 2025	- Tambahkan perhitungan sambungan pada baut - Revisi bab 5 dan lengkapi saran.	
6.	1/10 2025	- Tambahkan gambar pada perhitungan sambungan - Revisi kesimpulan.	
7.	4/10 2025	- Skripsi ACC - Daftar Sidang	
8.	25/08 2025	Cari jurnal terakreditasi sinta 4 yang mau dijadikan tujuan publish	
9.	17/09 2025	Pindahkan bab 1-3 ke bentuk artikel sesuai template jurnal	
10.	13/10 2025	- Masukkan bab 4-5 ke dalam artikel - Buat abstrak, revisi tinjauan pustaka. - Revisi bagian pendahuluan - Metode penelitian dibuat lebih spesifik	



**FAKULTAS TEKNIK**  
**PROGRAM STUDI TEKNIK SIPIL**  
**UNIVERSITAS PENDIDIKAN MUHAMMADIYAH SORONG**

No	Tanggal	Komentar Pembimbing	Tanda Tangan
11.	16/10 2025	- Artikel ACC - Submit artikel	

Sorong, .....

Pembimbing I

Andi Rahmat, S.T., M.Eng  
 NIDN. 1415059002....

Pembimbing II

Intan Java Turis Repmi Tamsih, S.Pd., M.Mat.  
 NIDN. 1410059901.....

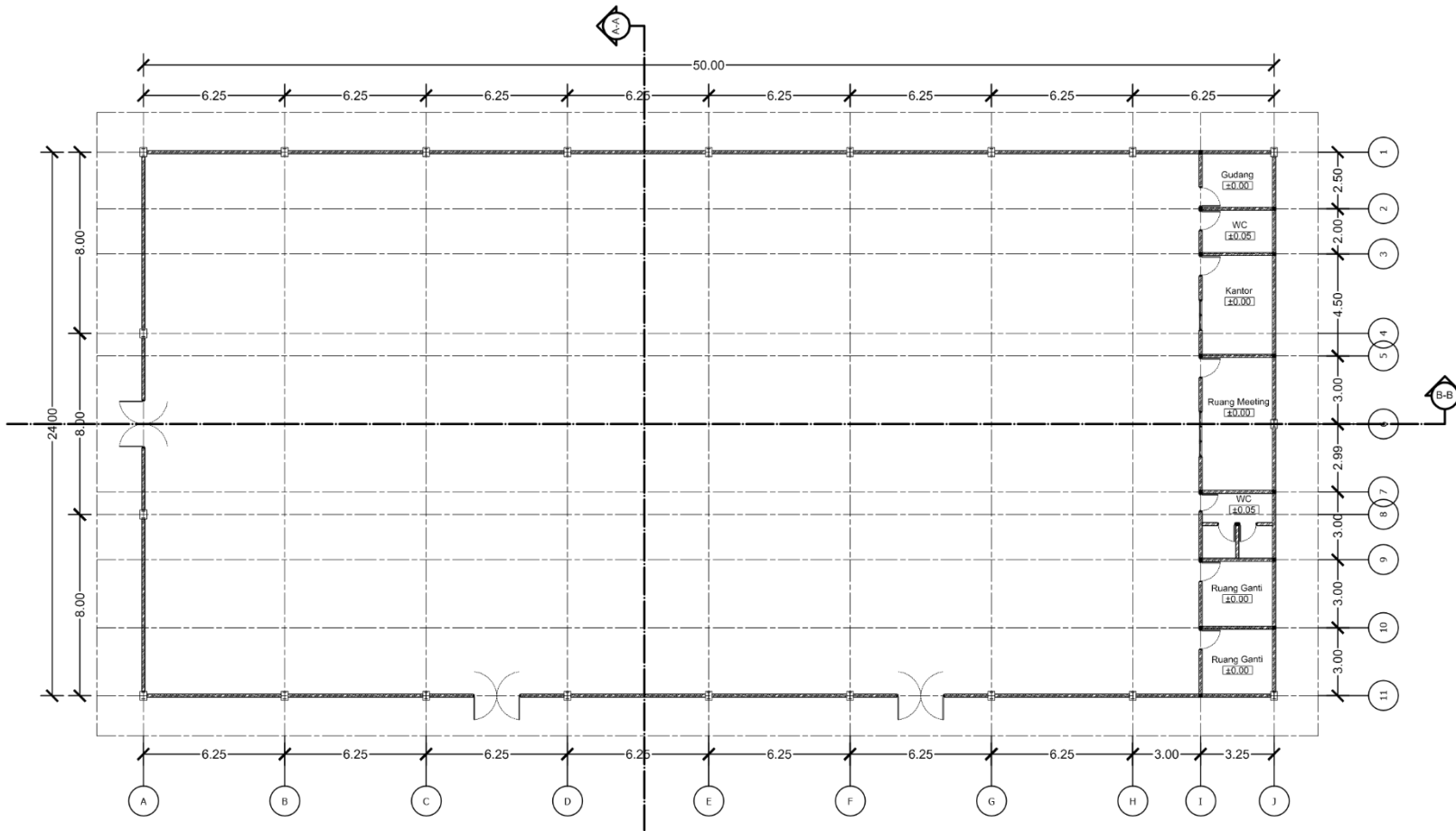
Mengetahui,  
 Ketua Prodi Teknik Sipil

Elfivusriningsi Svava, S.T., M.T.  
 NIDN. 1428109701

**Lampiran 2. Dokumentasi Proyek Gedung Olahraga Unimuda Sorong**







**DENAH STRUKTUR**  
SCALE. 1 : 3000



UNIVERSITAS PENDIDIKAN MUHAMMADIYAH  
(UNIMUDA) SORONG

DISETUJUI

Ketua Program Studi Teknik Sipil

Elfiyusriningsi Syara, S.T., M.T.  
NIDN. 1428109701

DIPERIKSA

Dosen Pembimbing

Andi Rahmat, S.T., M.Eng.  
NIDN. 1415059002

DIGAMBAR

Zul Kifly  
NIM. 142220121004

No.	Revisi	Tanggal

JUDUL GAMBAR

**Denah Struktur**

DIKELUARKAN UNTUK

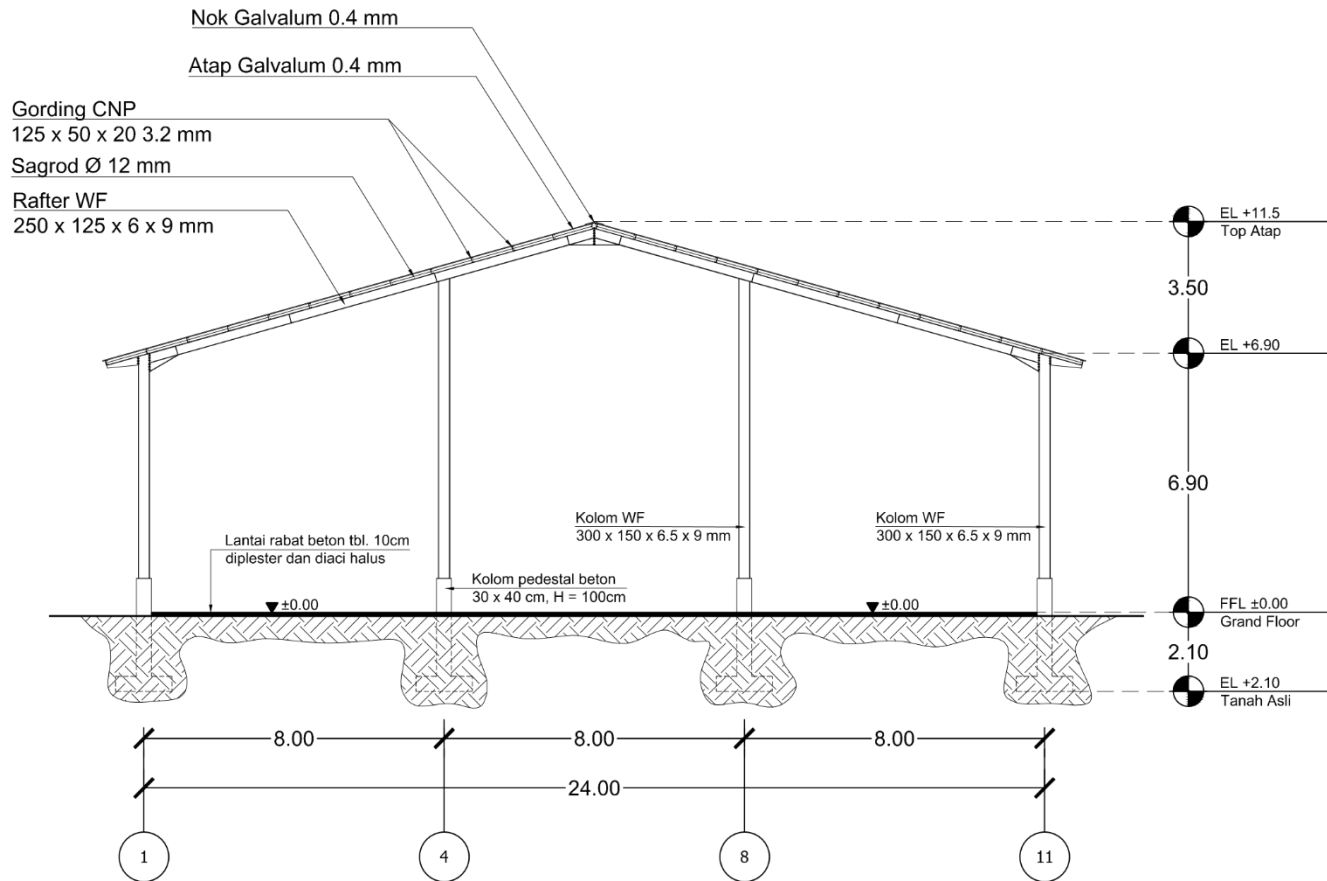
**Tugas Akhir**

SKALA

**1:3000**

NO. LEMBAR

**01**



**POTONGAN A**  
SCALE. 1 : 2000



UNIVERSITAS PENDIDIKAN MUHAMMADIYAH  
(UNIMUDA) SORONG

DIPERIKSA

Ketua Program Studi Teknik Sipil

Elfiyusriningsi Syara, S.T., M.T.  
NIDN. 1428109701

DIPERIKSA

Dosen Pembimbing

Andi Rahmat, S.T., M.Eng.  
NIDN. 1415059002

DIGAMBAR

Zul Kifly  
NIM. 142220121004

No.	Revisi	Tanggal

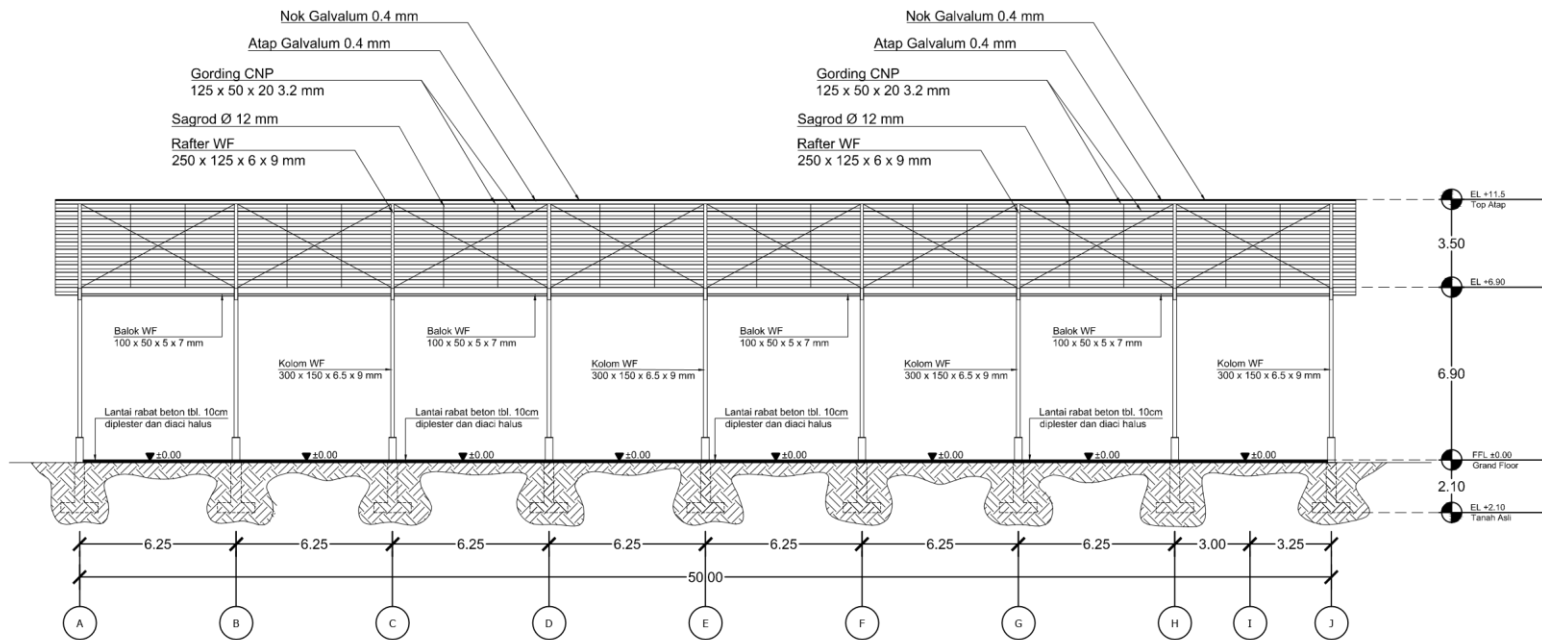
JUDUL GAMBAR

**Potongan A-A**

DIKELUARKAN UNTUK

**Tugas Akhir**

SKALA	NO. LEMBAR
1:2000	02



**POTONGAN B**  
SCALE. 1 : 3000



UNIVERSITAS PENDIDIKAN MUHAMMADIYAH  
(UNIMUDA) SORONG

DISETUJUI

Ketua Program Studi Teknik Sipil

Elfiyusniningsi Syara, S.T., M.T.  
NIDN. 1428109701

DIPERIKSA

Dosen Pembimbing

Andi Rahmat, S.T., M.Eng.  
NIDN. 1415059002

DIGAMBAR

Zul Kifly  
NIM. 142220121004

No.	Revisi	Tanggal

JUDUL GAMBAR

**Potongan B-B**

DIKELUARKAN UNTUK

**Tugas Akhir**

SKALA

**1:3000**

NO. LEMBAR

**03**